

翻译并解释以下内容，翻译不能有遗漏。

4 Gaussian models

4.1 Introduction

In this chapter, we discuss the multivariate Gaussian or multivariate normal (MVN), which is the most widely used joint probability density function for continuous variables. It will form the basis for many of the models we will encounter in later chapters. Unfortunately, the level of mathematics in this chapter is higher than in many other chapters. In particular, we rely heavily on linear algebra and matrix calculus. This is the price one must pay in order to deal with high-dimensional data. Beginners may choose to skip sections marked with a *. In addition, since there are so many equations in this chapter, we have put a box around those that are particularly important.

4.1.1 Notation

Let us briefly say a few words about notation. We denote vectors by boldface lower case letters, such as \mathbf{x} . We denote matrices by boldface upper case letters, such as \mathbf{X} . We denote entries in a matrix by non-bold upper case letters, such as X_{ij} .

All vectors are assumed to be column vectors unless noted otherwise. We use $[x_1, \dots, x_D]$ to denote a column vector created by stacking D scalars. Similarly, if we write $\mathbf{x} = [x_1, \dots, x_D]$, where the left hand side is a tall column vector, we mean to stack the x_i along the rows; this is usually written as $\mathbf{x} = (x^T 1, \dots, x^T D)^T$, but that is rather ugly. If we write $\mathbf{X} = [x_1, \dots, x_D]$, where the left hand side is a matrix, we mean to stack the x_i along the columns, creating a matrix.

好的，我会先逐句翻译，确保没有遗漏，然后再帮你解释其中的概念和背景。

原文与翻译

4 Gaussian models

4 高斯模型

4.1 Introduction

4.1 引言

In this chapter, we discuss the multivariate Gaussian or multivariate normal (MVN), which is the most widely used joint probability density function for continuous variables.

在本章中，我们将讨论多元高斯分布（multivariate Gaussian）或多元正态分布（multivariate normal，简称 MVN），它是连续变量最广泛使用的联合概率密度函数。

It will form the basis for many of the models we will encounter in later chapters.
它将构成我们在后续章节中会遇到的许多模型的基础。

Unfortunately, the level of mathematics in this chapter is higher than in many other chapters.

不幸的是，本章的数学难度高于许多其他章节。

In particular, we rely heavily on linear algebra and matrix calculus.
尤其是，我们在这里将大量依赖线性代数和矩阵微积分。

This is the price one must pay in order to deal with high-dimensional data.
为了处理高维数据，这是必须付出的代价。

Beginners may choose to skip sections marked with a *.
初学者可以选择跳过带有 * 标记的部分。

In addition, since there are so many equations in this chapter, we have put a box around those that are particularly important.
此外，由于本章中公式很多，我们会将特别重要的公式用方框标出。

4.1.1 Notation

4.1.1 符号说明

Let us briefly say a few words about notation.
我们先简要说明一下符号约定。

We denote vectors by boldface lower case letters, such as \mathbf{x} .
我们用黑体小写字母表示向量，例如 \mathbf{x} 。

We denote matrices by boldface upper case letters, such as \mathbf{X} .
我们用黑体大写字母表示矩阵，例如 \mathbf{X} 。

We denote entries in a matrix by non-bold upper case letters, such as X_{ij} .

我们用非黑体的大写字母表示矩阵中的元素，例如 X_{ij} 。

All vectors are assumed to be column vectors unless noted otherwise.

除非另有说明，所有向量都默认是列向量。

We use $[x_1, \dots, x_D]$ to denote a column vector created by stacking D scalars.

我们用 $[x_1, \dots, x_D]$ 表示由 D 个标量按顺序堆叠而成的列向量。

Similarly, if we write $x = [x_1, \dots, x_D]$, where the left hand side is a tall column vector, we mean to stack the x_i along the rows;

类似地，如果我们写 $\mathbf{x} = [x_1, \dots, x_D]$ ，且左边表示一个高的列向量，这表示我们将这些 x_i 按行堆叠起来；

this is usually written as $x = (x_1^T, \dots, x_D^T)^T$, but that is rather ugly.

这通常写作 $\mathbf{x} = (x_1^T, \dots, x_D^T)^T$ ，但这种写法比较丑。

If we write $\mathbf{X} = [x_1, \dots, x_D]$, where the left hand side is a matrix, we mean to stack the x_i along the columns, creating a matrix.

如果我们写 $\mathbf{X} = [x_1, \dots, x_D]$ ，且左边是一个矩阵，则表示将这些 x_i 按列堆叠起来，从而形成一个矩阵。

解释与背景

1. 多元高斯分布 (MVN)

- 单变量高斯分布只涉及一个随机变量；多元高斯分布涉及多个变量，且考虑它们的**联合分布**。
- 这是机器学习、统计建模、信号处理等领域的核心工具，因为它具有优雅的数学性质（线性组合仍是高斯分布，参数由均值向量和协方差矩阵完全确定）。

2. 数学难度高的原因

- 高维数据处理离不开矩阵表示，因此需要大量**线性代数**（矩阵运算、特征分解）和**矩阵微积分**（矩阵求导等）。

3. 符号约定

- **向量**：黑体小写，例如 \mathbf{x} ，默认是列向量。
- **矩阵**：黑体大写，例如 \mathbf{X} 。
- **矩阵元素**：普通大写（非黑体）字母加下标，例如 X_{ij} 。
- $[x_1, \dots, x_D]$ ：根据上下文，可以是列向量（按行堆叠）或矩阵（按列堆叠）。

- 特别说明 $(x_1^T, \dots, x_D^T)^T$ 的写法只是为了严格，但作者觉得视觉上不美观。

如果你需要，我可以帮你画一张**符号关系示意图**，把向量、矩阵、列堆叠、行堆叠的区别用图直观表示出来，这样读后面的公式就会更快理解。

你要我画吗？

"表示由 D 个标量按顺序堆叠而成的列向量"、"且左边表示一个高的列向量，这表示我们将这些 x_i 按行堆叠起来"、"且左边是一个矩阵，则表示将这些 x_i 按列堆叠起来，从而形成一个矩阵"有什么不同，我没看懂

我明白你的疑惑——这三句话看起来都在说“堆叠”，但其实它们描述的**对象和排列方向不同**。我们可以一步步拆开来理解。

1. “由 D 个标量按顺序堆叠而成的列向量”

原文： We use $[x_1, \dots, x_D]$ to denote a column vector created by stacking D scalars.

意思：

- 每个 x_1, x_2, \dots, x_D 都是**标量**（一个数）。
- 把它们竖着放，得到一个 D 行 1 列的**列向量**：

$$\mathbf{x} = \begin{bmatrix} x_1 \\ x_2 \\ \vdots \\ x_D \end{bmatrix}$$

例子：

如果 $x_1 = 2, x_2 = 5, x_3 = 7$ ，那么

$$\mathbf{x} = \begin{bmatrix} 2 \\ 5 \\ 7 \end{bmatrix}$$

2. “高的列向量，将这些 x_i 按行堆叠起来”

原文: if we write $x = [x_1, \dots, x_D]$, where the left hand side is a tall column vector, we mean to stack the x_i along the rows.

意思:

- 这里每个 x_i 不是标量，而是一个行向量（比如有多个元素的 $1 \times n$ 向量）。
- 把这些行向量竖着堆成一个高的列向量（其实是把行向量一个一个往下放）。
- 数学上写成 $(x_1^T, x_2^T, \dots, x_D^T)^T$ 。

例子:

假设

$$x_1 = [a_1, a_2], \quad x_2 = [b_1, b_2]$$

则堆叠结果是

$$\mathbf{x} = \begin{bmatrix} a_1 \\ a_2 \\ b_1 \\ b_2 \end{bmatrix}$$

可以看成把两个行向量一个接一个排在下面。

3. “左边是一个矩阵，将这些 x_i 按列堆叠起来”

原文: if we write $X = [x_1, \dots, x_D]$, where the left hand side is a matrix, we mean to stack the x_i along the columns.

意思:

- 这里每个 x_i 是一个列向量 ($n \times 1$ 维)。
- 把这些列向量并排放，形成一个矩阵 ($n \times D$ 维)。
- 换句话说，每个 x_i 是矩阵的一列。

例子:

假设

$$x_1 = \begin{bmatrix} a_1 \\ a_2 \end{bmatrix}, \quad x_2 = \begin{bmatrix} b_1 \\ b_2 \end{bmatrix}$$

则

$$\mathbf{X} = \begin{bmatrix} a_1 & b_1 \\ a_2 & b_2 \end{bmatrix}$$

这是一个 2×2 矩阵。

总结对比表

情况	每个 x_i 的类型	堆叠方向	最终结果
1. D 个标量	标量 (数)	竖直堆	列向量
2. 高列向量的写法	行向量	按行堆叠	长列向量
3. 矩阵的写法	列向量	按列堆叠	矩阵

我可以帮你画一张**示意图**，把这三种“堆叠”方式直观画出来，你看了就能一眼区分。
要我画吗？这样你就能直接“秒懂”这段符号区别。



翻译并解释以下内容，翻译不能有遗漏。

Figure 4.1 Visualization of a 2 dimensional Gaussian density. The major and minor axes of the ellipse are defined by the first two eigenvectors of the covariance matrix, namely u_1 and u_2 . Based on Figure 2.7 of (Bishop 2006a).

4.1.2 Basics

Recall from Section 2.5.2 that the pdf for an MVN in D dimensions is defined by the following:

$$N(x|\mu, \Sigma) = \frac{1}{(2\pi)^D/2|\Sigma|^{1/2}} \exp -\frac{1}{2} (x - \mu)^T \Sigma^{-1} (x - \mu) \quad (4.1)$$

The expression inside the exponent is the Mahalanobis

distance between a data vector x and the mean vector μ , We can gain a better understanding of this quantity by performing an eigendecomposition of Σ . That is, we write $\Sigma = U\Lambda U^T$, where U is an orthonormal matrix of eigenvectors satisfying $U^T U = I$, and Λ is a diagonal matrix of eigenvalues.

Using the eigendecomposition, we have that

$$\Sigma^{-1} = U^{-1}\Lambda^{-1}U^{-1} = U\Lambda^{-1}U^T = D \quad i=1 \lambda_i u_i u_i^T \quad (4.2)$$

where u_i is the i 'th column of U , containing the i 'th eigenvector. Hence we can rewrite the Mahalanobis distance as follows:

$$(x - \mu)^T \Sigma^{-1} (x - \mu) = (x - \mu)^T D \quad i=1 \lambda_i u_i u_i^T (x - \mu) \quad (4.3)$$

$$= D \quad i=1 \lambda_i (x - \mu)^T u_i u_i^T (x - \mu) = D \quad i=1 y_i^2 \lambda_i \quad (4.4)$$

where $y_i = u_i^T (x - \mu)$. Recall that the equation for an ellipse in 2d is

$$y_1^2 \lambda_1 + y_2^2 \lambda_2 = 1 \quad (4.5)$$

Hence we see that the contours of equal probability density of a Gaussian lie along ellipses. This is illustrated in Figure 4.1. The eigenvectors determine the orientation of the ellipse, and the eigenvalues determine how elongated it is. In general, we see that the Mahalanobis distance corresponds to Euclidean distance in a transformed coordinate system, where we shift by μ and rotate by U .

好的，我会逐句翻译并保留所有信息，然后再帮你解释图和公式的含义。

原文与翻译

Figure 4.1 Visualization of a 2 dimensional Gaussian density.

图 4.1 二维高斯密度的可视化。

The major and minor axes of the ellipse are defined by the first two eigenvectors of the covariance matrix, namely u_1 and u_2 .

椭圆的长轴和短轴由协方差矩阵的前两个特征向量定义，即 u_1 和 u_2 。

Based on Figure 2.7 of (Bishop 2006a).

基于 (Bishop 2006a) 的图 2.7 绘制。

4.1.2 Basics

4.1.2 基础

Recall from Section 2.5.2 that the pdf for an MVN in D dimensions is defined by the following:

回忆第 2.5.2 节，D 维多元正态分布 (MVN) 的概率密度函数定义如下：

$$N(\mathbf{x}|\boldsymbol{\mu}, \boldsymbol{\Sigma}) = \frac{1}{(2\pi)^{D/2} |\boldsymbol{\Sigma}|^{1/2}} \exp\left(-\frac{1}{2}(\mathbf{x} - \boldsymbol{\mu})^T \boldsymbol{\Sigma}^{-1} (\mathbf{x} - \boldsymbol{\mu})\right) \quad (4.1)$$

The expression inside the exponent is the Mahalanobis distance between a data vector \mathbf{x} and the mean vector $\boldsymbol{\mu}$.

指数中的表达式是数据向量 \mathbf{x} 与均值向量 $\boldsymbol{\mu}$ 之间的马氏距离 (Mahalanobis distance)。

We can gain a better understanding of this quantity by performing an eigendecomposition of $\boldsymbol{\Sigma}$.

我们可以通过对 $\boldsymbol{\Sigma}$ 进行特征分解 (eigendecomposition) 来更好地理解这一量。

That is, we write $\boldsymbol{\Sigma} = \mathbf{U}\boldsymbol{\Lambda}\mathbf{U}^T$, where \mathbf{U} is an orthonormal matrix of eigenvectors satisfying $\mathbf{U}^T\mathbf{U} = \mathbf{I}$, and $\boldsymbol{\Lambda}$ is a diagonal matrix of eigenvalues.

也就是说，我们写作

$$\boldsymbol{\Sigma} = \mathbf{U}\boldsymbol{\Lambda}\mathbf{U}^T$$

其中 \mathbf{U} 是由特征向量组成的正交归一矩阵，满足 $\mathbf{U}^T\mathbf{U} = \mathbf{I}$ ， $\boldsymbol{\Lambda}$ 是包含特征值的对角矩阵。

Using the eigendecomposition, we have that

利用特征分解，我们得到

$$\boldsymbol{\Sigma}^{-1} = \mathbf{U}^{-T}\boldsymbol{\Lambda}^{-1}\mathbf{U}^{-1} = \mathbf{U}\boldsymbol{\Lambda}^{-1}\mathbf{U}^T = \sum_{i=1}^D \frac{1}{\lambda_i} \mathbf{u}_i \mathbf{u}_i^T \quad (4.2)$$

where \mathbf{u}_i is the i-th column of \mathbf{U} , containing the i-th eigenvector.

其中 \mathbf{u}_i 是 \mathbf{U} 的第 i 列，即第 i 个特征向量。

Hence we can rewrite the Mahalanobis distance as follows:

因此我们可以将马氏距离改写为：

$$(\mathbf{x} - \boldsymbol{\mu})^T \boldsymbol{\Sigma}^{-1} (\mathbf{x} - \boldsymbol{\mu}) = (\mathbf{x} - \boldsymbol{\mu})^T \sum_{i=1}^D \frac{1}{\lambda_i} \mathbf{u}_i \mathbf{u}_i^T (\mathbf{x} - \boldsymbol{\mu}) \quad (4.3)$$

$$= \sum_{i=1}^D \frac{1}{\lambda_i} (\mathbf{x} - \boldsymbol{\mu})^T \mathbf{u}_i \mathbf{u}_i^T (\mathbf{x} - \boldsymbol{\mu}) = \sum_{i=1}^D \frac{y_i^2}{\lambda_i} \quad (4.4)$$

where $y_i = \mathbf{u}_i^T (\mathbf{x} - \boldsymbol{\mu})$.

其中 $y_i = \mathbf{u}_i^T (\mathbf{x} - \boldsymbol{\mu})$.

Recall that the equation for an ellipse in 2D is

回忆二维椭圆的方程为

$$\frac{y_1^2}{\lambda_1} + \frac{y_2^2}{\lambda_2} = 1 \quad (4.5)$$

Hence we see that the contours of equal probability density of a Gaussian lie along ellipses.

因此我们看到，高斯分布的等概率密度轮廓位于椭圆上。

This is illustrated in Figure 4.1.

图 4.1 展示了这一现象。

The eigenvectors determine the orientation of the ellipse, and the eigenvalues determine how elongated it is.

特征向量决定椭圆的朝向，特征值决定椭圆的拉伸程度。

In general, we see that the Mahalanobis distance corresponds to Euclidean distance in a transformed coordinate system, where we shift by $\boldsymbol{\mu}$ and rotate by \mathbf{U} .

总体而言，我们看到马氏距离对应于一个变换坐标系下的欧几里得距离，在该坐标系中，我们先平移 $\boldsymbol{\mu}$ ，再旋转 \mathbf{U} 。

解释

1. 图 4.1 的含义

- 红色椭圆代表二维高斯分布的等概率密度曲线。
- 蓝色箭头表示均值向量 $\boldsymbol{\mu}$ 和数据到均值的方向。
- 黑色箭头 $\mathbf{u}_1, \mathbf{u}_2$ 是协方差矩阵的特征向量，决定椭圆的主轴方向。
- 长度 $\lambda_1^{1/2}, \lambda_2^{1/2}$ 与特征值的平方根成正比，控制椭圆在该方向的半径。

2. 公式 (4.1)

- 多元高斯分布的概率密度函数，参数是均值向量 μ 和协方差矩阵 Σ 。

3. 公式 (4.2)–(4.4)

- 通过特征分解，协方差矩阵的逆 Σ^{-1} 可以用特征值和特征向量的组合形式表示。
- 这样马氏距离就可以分解成沿每个主轴方向的分量之和，每个分量的权重是 $1/\lambda_i$ 。

4. 公式 (4.5)

- 直接给出了二维椭圆的标准形式，和马氏距离的形式完全一致，所以高斯分布的等密度曲线就是椭圆。

如果你愿意，我可以帮你画一个**“马氏距离 → 椭圆”**的几何变换过程，把平移 μ 、旋转 U 、缩放 $\lambda_i^{1/2}$ 的步骤直观展示出来，这样你会更容易理解为什么等密度线是椭圆。

你要我画吗？



翻译并解释以下内容，翻译不能有遗漏，解释请基础且详尽，因为我的数学基础不太好。

Figure 4.1 Visualization of a 2 dimensional Gaussian density. The major and minor axes of the ellipse are defined by the first two eigenvectors of the covariance matrix, namely u_1 and u_2 . Based on Figure 2.7 of (Bishop 2006a).

4.1.2 Basics

Recall from Section 2.5.2 that the pdf for an MVN in D dimensions is defined by the following:

$$N(x|\mu, \Sigma) = \frac{1}{(2\pi)^D/2|\Sigma|^{1/2}} \exp -\frac{1}{2} (x - \mu)^T \Sigma^{-1} (x - \mu) \quad (4.1)$$

The expression inside the exponent is the Mahalanobis distance between a data vector x and the mean vector μ . We can gain a better understanding of this quantity by performing an eigendecomposition of Σ . That is, we write $\Sigma = U\Lambda U^T$, where U is an orthonormal matrix of eigenvectors satisfying $U^T U = I$, and Λ is a diagonal matrix of eigenvalues.

Using the eigendecomposition, we have that

$$\Sigma^{-1} = U^{-1}\Lambda^{-1}U^{-1} = U\Lambda^{-1}U^T = D \sum_{i=1}^D \lambda_i u_i u_i^T \quad (4.2)$$

where u_i is the i 'th column of U , containing the i 'th eigenvector. Hence we can rewrite the Mahalanobis distance as follows:

$$(x - \mu)^T \Sigma^{-1} (x - \mu) = (x - \mu)^T D \sum_{i=1}^D \lambda_i u_i u_i^T (x - \mu) \quad (4.3)$$

$$= D \sum_{i=1}^D \lambda_i (x - \mu)^T u_i u_i^T (x - \mu) = D \sum_{i=1}^D y_i^2 \lambda_i \quad (4.4)$$

where $y_i = u_i^T (x - \mu)$. Recall that the equation for an ellipse in 2d is

$$y_1^2 \lambda_1 + y_2^2 \lambda_2 = 1 \quad (4.5)$$

Hence we see that the contours of equal probability density of a Gaussian lie along ellipses. This is illustrated in Figure 4.1. The eigenvectors determine the orientation of the ellipse, and the eigenvalues determine how elongated it is. In general, we see that the Mahalanobis distance corresponds to Euclidean distance in a transformed coordinate system, where we shift by μ and rotate by U .

已思考 22s

好的！我先逐句完整翻译，然后用尽量基础、直观的方式一点点解释每个概念和公式（配合你给的图）。

逐句翻译（无遗漏）

Figure 4.1 Visualization of a 2 dimensional Gaussian density.

图 4.1：二维高斯密度的可视化。

The major and minor axes of the ellipse are defined by the first two eigenvectors of the covariance matrix, namely u_1 and u_2 .

椭圆的长轴和短轴由协方差矩阵的前两个特征向量定义，即 u_1 和 u_2 。

Based on Figure 2.7 of (Bishop 2006a).

基于 (Bishop 2006a) 的图 2.7。

4.1.2 Basics

4.1.2 基础

Recall from Section 2.5.2 that the pdf for an MVN in D dimensions is defined by the following:

回忆第 2.5.2 节, D 维多元正态分布 (MVN) 的概率密度函数 (pdf) 定义如下:

$$N(\mathbf{x} | \boldsymbol{\mu}, \boldsymbol{\Sigma}) = \frac{1}{(2\pi)^{D/2} |\boldsymbol{\Sigma}|^{1/2}} \exp\left(-\frac{1}{2}(\mathbf{x} - \boldsymbol{\mu})^T \boldsymbol{\Sigma}^{-1} (\mathbf{x} - \boldsymbol{\mu})\right) \quad (4.1)$$

The expression inside the exponent is the Mahalanobis distance between a data vector \mathbf{x} and the mean vector $\boldsymbol{\mu}$. We can gain a better understanding of this quantity by performing an eigendecomposition of $\boldsymbol{\Sigma}$.

指数里的那个表达式是数据向量 \mathbf{x} 与均值向量 $\boldsymbol{\mu}$ 之间的马氏距离。我们可以通过对 $\boldsymbol{\Sigma}$ 做特征分解来更好地理解它。

That is, we write $\boldsymbol{\Sigma} = \mathbf{U}\boldsymbol{\Lambda}\mathbf{U}^T$, where \mathbf{U} is an orthonormal matrix of eigenvectors satisfying $\mathbf{U}^T\mathbf{U} = \mathbf{I}$, and $\boldsymbol{\Lambda}$ is a diagonal matrix of eigenvalues.

也就是说, 写成 $\boldsymbol{\Sigma} = \mathbf{U}\boldsymbol{\Lambda}\mathbf{U}^T$, 其中 \mathbf{U} 是由特征向量组成的正交单位矩阵, 满足 $\mathbf{U}^T\mathbf{U} = \mathbf{I}$; $\boldsymbol{\Lambda}$ 是由特征值组成的对角矩阵。

Using the eigendecomposition, we have that

利用这个特征分解, 我们有

$$\boldsymbol{\Sigma}^{-1} = \mathbf{U}^{-T}\boldsymbol{\Lambda}^{-1}\mathbf{U}^{-1} = \mathbf{U}\boldsymbol{\Lambda}^{-1}\mathbf{U}^T = \sum_{i=1}^D \frac{1}{\lambda_i} \mathbf{u}_i \mathbf{u}_i^T \quad (4.2)$$

where \mathbf{u}_i is the i 'th column of \mathbf{U} , containing the i 'th eigenvector.

其中 \mathbf{u}_i 是 \mathbf{U} 的第 i 列, 即第 i 个特征向量。

Hence we can rewrite the Mahalanobis distance as follows:

因此, 可以把马氏距离改写为

$$(\mathbf{x} - \boldsymbol{\mu})^T \boldsymbol{\Sigma}^{-1} (\mathbf{x} - \boldsymbol{\mu}) = (\mathbf{x} - \boldsymbol{\mu})^T \sum_{i=1}^D \frac{1}{\lambda_i} \mathbf{u}_i \mathbf{u}_i^T (\mathbf{x} - \boldsymbol{\mu}) \quad (4.3)$$

$$= \sum_{i=1}^D \frac{1}{\lambda_i} (\mathbf{x} - \boldsymbol{\mu})^T \mathbf{u}_i \mathbf{u}_i^T (\mathbf{x} - \boldsymbol{\mu}) = \sum_{i=1}^D \frac{y_i^2}{\lambda_i} \quad (4.4)$$

where $y_i = \mathbf{u}_i^T (\mathbf{x} - \boldsymbol{\mu})$.

其中 $y_i = \mathbf{u}_i^T (\mathbf{x} - \boldsymbol{\mu})$.

Recall that the equation for an ellipse in 2d is

回忆二维椭圆的方程是

$$\frac{y_1^2}{\lambda_1} + \frac{y_2^2}{\lambda_2} = 1 \quad (4.5)$$

Hence we see that the contours of equal probability density of a Gaussian lie along ellipses.

因此可见，高斯分布的等概率密度曲线位于椭圆上。

This is illustrated in Figure 4.1.

这在图 4.1 中有所展示。

The eigenvectors determine the orientation of the ellipse, and the eigenvalues determine how elongated it is.

特征向量决定椭圆的朝向，特征值决定椭圆被拉伸得有多长（细长程度）。

In general, we see that the Mahalanobis distance corresponds to Euclidean distance in a transformed coordinate system, where we shift by $\boldsymbol{\mu}$ and rotate by \mathbf{U} .

总体上，马氏距离等价于在一个变换后的坐标系中的欧几里得距离：先把坐标平移 $\boldsymbol{\mu}$ ，再按 \mathbf{U} 旋转。

详细解释（尽量基础、通俗）

1) 公式 (4.1) 里每个符号是什么

- \mathbf{x} : 一个数据点 (D 维向量)，比如二维就是 $[x_1, x_2]^T$ 。
- $\boldsymbol{\mu}$: 均值向量，表示“中心位置”。图上蓝色箭头中心点就是 $\boldsymbol{\mu}$ 。
- Σ : 协方差矩阵，决定“形状”和“朝向”。它编码了各维度的方差以及它们之间的相关性。
- $|\Sigma|$: Σ 的行列式 (一个正数)，出现在分母里保证概率密度能正确归一化。
- Σ^{-1} : 协方差矩阵的逆。
- 上标 T : 转置；把列向量变成行向量或对矩阵做转置。

- $\exp(\cdot)$: 指数函数。
- 整个式子给出“这个点 \mathbf{x} 在这个高斯分布下的概率密度有多大”。

关键点：指数里的 $(\mathbf{x} - \boldsymbol{\mu})^T \Sigma^{-1} (\mathbf{x} - \boldsymbol{\mu})$ 就是**马氏距离的平方**——衡量“ \mathbf{x} 离中心 $\boldsymbol{\mu}$ 有多远”，但远近是按 Σ 设定的形状来量尺的（不是普通的直线距离）。

2) 为什么要做特征分解 (eigendecomposition)

把 Σ 分解成

$$\Sigma = \mathbf{U} \Lambda \mathbf{U}^T$$

含义非常直观：

- $\mathbf{U} = [\mathbf{u}_1, \dots, \mathbf{u}_D]$: 一组**互相垂直且单位长度**的方向（特征向量）。它告诉我们“椭圆朝向哪里”。
- $\Lambda = \text{diag}(\lambda_1, \dots, \lambda_D)$: 每个方向上的“伸缩量”。 λ_i 越大，沿 \mathbf{u}_i 的散布越大。图上标的 $\lambda_1^{1/2}, \lambda_2^{1/2}$ 就是半轴长度（平方根是因为长度与方差的平方根成正比）。

因为 \mathbf{U} 是正交矩阵，有 $\mathbf{U}^{-1} = \mathbf{U}^T$ 。所以

$$\Sigma^{-1} = \mathbf{U} \Lambda^{-1} \mathbf{U}^T = \sum_{i=1}^D \frac{1}{\lambda_i} \mathbf{u}_i \mathbf{u}_i^T.$$

这一步把“逆协方差”写成按方向分解的形式：在每个主方向 \mathbf{u}_i 上，权重是 $1/\lambda_i$ （方差大→惩罚小；方差小→惩罚大）。

3) 把马氏距离改写成“各方向分量之和”

把上式代回马氏距离：

$$(\mathbf{x} - \boldsymbol{\mu})^T \Sigma^{-1} (\mathbf{x} - \boldsymbol{\mu}) = \sum_{i=1}^D \frac{1}{\lambda_i} ((\mathbf{x} - \boldsymbol{\mu})^T \mathbf{u}_i)(\mathbf{u}_i^T (\mathbf{x} - \boldsymbol{\mu})).$$

注意 $(\mathbf{x} - \boldsymbol{\mu})^T \mathbf{u}_i = \mathbf{u}_i^T (\mathbf{x} - \boldsymbol{\mu})$ 是个**标量**，定义为

$$y_i = \mathbf{u}_i^T (\mathbf{x} - \boldsymbol{\mu}).$$

它的几何意义：把点 \mathbf{x} （先减均值，让中心在原点）**投影到方向 \mathbf{u}_i 上**，得到在该方向的坐标。于是

$$(\mathbf{x} - \boldsymbol{\mu})^T \Sigma^{-1} (\mathbf{x} - \boldsymbol{\mu}) = \sum_{i=1}^D \frac{y_i^2}{\lambda_i}.$$

这非常像“把平方距离分解成各坐标轴上的分量之和”，只不过坐标轴不是原来的 x_1, x_2, \dots ，而是**旋转到特征向量方向后的新轴**。

4) 为什么等密度曲线是椭圆

在二维时，令马氏距离等于一个常数 c :

$$\frac{y_1^2}{\lambda_1} + \frac{y_2^2}{\lambda_2} = c.$$

当 $c = 1$ 时就是公式 (4.5) 的标准椭圆方程。

因此，“概率密度相同”的点（即指数相同、马氏距离相同）刚好落在一条椭圆上。图 4.1 的红色曲线就是这样的等密度线。

- **朝向**: 由 $\mathbf{u}_1, \mathbf{u}_2$ 决定（图中黑色箭头 u_1, u_2 ）。
- **细长程度（拉伸程度）**: 由 λ_1, λ_2 决定。比如 $\lambda_1 \gg \lambda_2$ 时，椭圆沿 u_1 非常长、沿 u_2 很窄。半轴长度与 $\sqrt{\lambda_i}$ 成正比。

特别直观的想法：

单位圆（所有方向半径都相同） \rightarrow （按 $\sqrt{\lambda_i}$ 沿各主方向拉伸/压缩） \rightarrow 椭圆 \rightarrow （再把它旋转到 \mathbf{U} 指定的朝向） \rightarrow 旋转的椭圆 \rightarrow （最后把整体平移到 $\boldsymbol{\mu}$ ） \rightarrow 图上的红色椭圆。

5) “马氏距离 = 旋转坐标系里的普通距离”

把坐标做变换：

1. 平移: $\mathbf{z} = \mathbf{x} - \boldsymbol{\mu}$ (把中心移到原点)；
2. 旋转: $\mathbf{y} = \mathbf{U}^T \mathbf{z}$ (把轴对齐到特征向量方向)。

在这个新坐标 \mathbf{y} 里,

$$(\mathbf{x} - \boldsymbol{\mu})^T \boldsymbol{\Sigma}^{-1} (\mathbf{x} - \boldsymbol{\mu}) = \sum_i \frac{y_i^2}{\lambda_i}.$$

如果再把每个坐标除以 $\sqrt{\lambda_i}$ ，就变成

$$\sum_i \left(\frac{y_i}{\sqrt{\lambda_i}} \right)^2,$$

这就是**标准的欧几里得距离平方**。

所以“马氏距离”可以理解为：先把数据**平移、旋转、再按各方向缩放后**，用普通直线距离来度量远近。

6) 小结（抓要点）

- 高斯的“等密度线”=“马氏距离相等”的点集=椭圆。
- **特征向量 u_i** : 定方向（椭圆朝向）。
- **特征值 λ_i** : 定尺度（半轴长度 $\propto \sqrt{\lambda_i}$ ，细长程度由 λ_1/λ_2 决定）。
- 当 $\lambda_1 = \lambda_2$ （各方向方差一样）时，等密度线是圆；没有旋转的意义。

如果你愿意，我可以再给你做一张从单位圆→拉伸→旋转→平移的分步小图或小动画，帮助把这个过程“看见”。

图4.1中说明特征位于该椭圆上的点概率值都是相同的，那完整的概率密度曲线应该是什么样的呢，此外，该椭圆的面积是不是始终小于等于1

我先帮你分成两个问题来解释：

1. 椭圆只是“等高线”，完整的概率密度曲线是什么样的？

在图 4.1 里，红色椭圆是一条等概率密度线（contour），意思是：

- 椭圆上的所有点，概率密度值 $p(\mathbf{x})$ 是相同的。
- 但这只是二维高斯分布的一条“高度相等的等高线”而已。

完整的二维高斯分布曲线是一个二维的“山丘”：

- 中心（均值 μ ）处最高，概率密度最大；
- 离中心越远，概率密度按马氏距离平方的指数衰减；
- 如果你把它画成 3D 图， x_1 和 x_2 是水平轴，竖直方向是概率密度，就会看到一个光滑的、圆滑的“山峰”或“馒头形”（如果方差不一样，就变成椭圆形的山丘）。

等高线版本（像地形图）就是一组同心的椭圆，

- 中间的椭圆对应高密度（山顶）；
- 往外的椭圆对应低密度（山脚）。

所以，图 4.1 其实只画了一条等高线，完整的图像应该有很多套同心椭圆，每条椭圆对应不同的概率密度值。

2. 椭圆的面积是否始终小于等于 1？

这里要注意一个很容易混淆的点：

- 椭圆的面积和“概率”是两回事。
- 椭圆画在 x_1-x_2 平面上，是二维空间中的几何面积（单位是 x_1 单位 $\times x_2$ 单位），和概率的“0~1 范围”没有直接限制关系。

2.1 概率密度不等于概率

二维高斯的概率密度函数 $p(\mathbf{x})$ 可以大于 1，只要它积分的总和等于 1 就行（概率密度可以大于 1，但概率永远 ≤ 1 ）。

所以，椭圆本身的面积可以大于 1 或小于 1，这取决于协方差矩阵 Σ 的特征值大小 (λ_1, λ_2)。

2.2 椭圆面积公式

对于公式 (4.5) 的椭圆：

$$\frac{y_1^2}{\lambda_1} + \frac{y_2^2}{\lambda_2} = 1$$

它的半轴长度是 $\sqrt{\lambda_1}$ 和 $\sqrt{\lambda_2}$ ，所以面积是：

$$A = \pi \sqrt{\lambda_1} \cdot \sqrt{\lambda_2} = \pi \sqrt{\lambda_1 \lambda_2}.$$

- 如果方差很大 (λ_i 大)，椭圆会很大，面积可以远大于 1。
- 如果方差很小，椭圆会很小，面积可能远小于 1。
- 这个面积和“总概率 ≤ 1 ”没有直接数学限制关系，因为这只是几何面积，不是积分结果。

结论：

- 椭圆只是等概率密度的“轮廓”，完整的概率密度曲线是由许多同心椭圆组成的二维山丘形状。
- 椭圆的几何面积不一定 ≤ 1 ，它和概率总和的“1”是不同的概念。
- 真正的概率要看在某个区域内对密度函数的积分，而不是直接看椭圆的面积。

如果你愿意，我可以帮你画出**二维高斯的 3D 山丘图 + 等高线椭圆图**，让你直观地看到“完整的概率密度曲线”是什么样子，以及为什么椭圆只是其中一层切片。这样你会一眼理解。

帮我画二维高斯的3D山丘图+等高线椭圆图，此外该3D山丘图内部的体积=1？

已思考 9s

Bivariate Gaussian: 3D Surface

↓ ↗

 输出图片

Bivariate Gaussian: Contours (Ellipses)

  输出图片

给你画好了，两张图分别是二维高斯的3D 山丘和等高线（椭圆）：

- 3D 山丘图（表面图）：[下载图片](#)
- 等高线椭圆图：*同心椭圆就是不同密度的等高线* → [下载图片](#)

关于你问的第二个问题：

3D 山丘图内部的体积是不是 = 1?

- 是的，如果指的是“整个 x_1-x_2 平面上，从平面 $z = 0$ 到这个概率密度表面之间的体积（也就是对 pdf 在整个平面上的积分）”，那体积就是 1。
- 这就是“概率密度函数”的定义：把 pdf 在整个平面上积分，得到的总概率质量是 1。

但要注意区分：

- 体积 = 1 说的是“整个表面下的体积”。
- 某一条椭圆包围的区域面积随 Σ 而变，可以大于 1 或小于 1；面积跟“概率 ≤ 1 ”不是一个概念。
- 如果只在某个有限区域（比如某条等高线内）把 pdf 积分，那么得到的是该区域的概率，自然 < 1 。

想换别的均值/协方差看看形状怎么变吗？我可以把图按你给的参数重新生成。 </>

翻译并解释以下内容，翻译不能有遗漏，解释请基础且详尽，因为我的数学基础不太好。

We now describe one way to estimate the parameters of an MVN, using MLE. In later sections, we will discuss Bayesian inference for the parameters, which can mitigate overfitting, and can provide a measure of confidence in our estimates.

Theorem 4.1.1 (MLE for a Gaussian). If we have N iid samples $x_i \sim N(\mu, \Sigma)$, then the MLE for the parameters is given by

$$\hat{\mu}_{\text{mle}} = \frac{1}{N} \sum_{i=1}^N x_i \quad (4.6)$$

$$\hat{\Sigma}_{\text{mle}} = \frac{1}{N} \sum_{i=1}^N (x_i - \bar{x})(x_i - \bar{x})^T = \frac{1}{N} \left(\sum_{i=1}^N x_i x_i^T \right) - \bar{x} \bar{x}^T \quad (4.7)$$

That is, the MLE is just the empirical mean and empirical covariance. In the univariate case, we get the following familiar results:

$$\hat{\mu} = \frac{1}{N} \sum_{i=1}^N x_i = \bar{x} \quad (4.8)$$

$$\hat{\sigma}^2 = \frac{1}{N} \sum_{i=1}^N (x_i - \bar{x})^2 = \frac{1}{N} \sum_{i=1}^N x_i^2 - \bar{x}^2 \quad (4.9)$$

已思考 14s

好的！我先把原文逐句完整翻译，然后用尽量基础、直观的方式解释每个点（不跳步）。

翻译（无遗漏）

We now describe one way to estimate the parameters of an MVN, using MLE.

现在我们介绍一种估计多元正态分布 (MVN) 参数的方法：使用极大似然估计 (MLE)。

In later sections, we will discuss Bayesian inference for the parameters, which can mitigate overfitting, and can provide a measure of confidence in our estimates.

在后面的章节中，我们将讨论对这些参数进行贝叶斯推断，它可以减轻过拟合，并且能够为我们的估计提供置信度的衡量。

Theorem 4.1.1 (MLE for a Gaussian).

定理 4.1.1 (高斯分布的 MLE)。

If we have N iid samples $x_i \sim N(\mu, \Sigma)$, then the MLE for the parameters is given by

如果我们有 N 个独立同分布 (iid) 的样本 $x_i \sim N(\mu, \Sigma)$ ，则参数的极大似然估计为

$$\hat{\mu}_{\text{mle}} = \frac{1}{N} \sum_{i=1}^N x_i = \bar{x} \quad (4.6)$$

$$\hat{\Sigma}_{\text{mle}} = \frac{1}{N} \sum_{i=1}^N (x_i - \bar{x})(x_i - \bar{x})^T = \frac{1}{N} (\sum_{i=1}^N x_i x_i^T) - \bar{x} \bar{x}^T \quad (4.7)$$

That is, the MLE is just the empirical mean and empirical covariance.

也就是说，MLE 就是经验均值与经验协方差。

In the univariate case, we get the following familiar results:

在单变量情形下，我们得到以下熟悉的结果：

$$\hat{\mu} = \frac{1}{N} \sum_i x_i = \bar{x} \quad (4.8)$$

$$\hat{\sigma}^2 = \frac{1}{N} \sum_i (x_i - \bar{x})^2 = \frac{1}{N} \sum_i x_i^2 - (\bar{x})^2. \quad (4.9)$$

解释 (基础且详尽)

1) 我们在干什么？

- **目标**：给定一堆数据点 x_1, \dots, x_N ，假设它们来自某个高斯分布 $N(\mu, \Sigma)$ ，我们要估计“真正”的参数 μ (均值向量) 和 Σ (协方差矩阵)。
- **极大似然估计 (MLE)**：挑选一组参数，让“在这组参数下，这些数据出现的可能性”最大。直觉：让观测数据“最不奇怪”。

2) 符号/概念先搞清

- iid: 独立同分布。每个样本都来自同一个分布、互相独立。
- \bar{x} (读作 "x-bar") : 样本均值 (平均值) 。式 (4.6)。
- $x_i x_i^T$: 外积, 得到一个矩阵 (向量维度是 D , 外积是 $D \times D$) 。
- Σ 与 $\hat{\Sigma}_{\text{mle}}$: 分别是真实协方差与它的 MLE 估计; 都是 $D \times D$ 。

3) 结果在说什么?

- **均值的 MLE:** 就是样本平均 \bar{x} 。
直觉: 把均值放在数据云的“中心位置”, 能让总体似然最大。
- **协方差的 MLE:** 就是“每个点相对均值的外积”的平均 (式 4.7 左边)。
它等价于“平均的 $x_i x_i^T$ 减去 $\bar{x} \bar{x}^T$ ” (式 4.7 右边, 常用的计算公式, 数值上更稳定)。

小提示: 很多统计课会讲“无偏样本协方差”用的是 $\frac{1}{N-1}$ 而不是 $\frac{1}{N}$ 。这里 MLE 使用的是 $\frac{1}{N}$ 。

- $\frac{1}{N}$: 是 MLE (可能略有偏, 但在样本多时影响小) ;
- $\frac{1}{N-1}$: 是无偏估计 (在期望意义下更准确)。

这不是本文段的重点, 但容易疑惑, 顺带点一下。

4) 单变量 ($D=1$) 会怎样?

- $\hat{\mu} = \bar{x}$: 就是平均数 (式 4.8)。
- $\hat{\sigma}^2 = \frac{1}{N} \sum (x_i - \bar{x})^2$: 就是“方差”的 MLE (式 4.9 左边)。
- 展开式 $\frac{1}{N} \sum x_i^2 - (\bar{x})^2$ (式 4.9 右边) 常用于快速计算: 先算平方的平均, 再减去平均数的平方。

5) 怎么按步骤算? (实操清单)

给你一组 N 个 D 维样本:

1. 算平均: $\bar{x} = \frac{1}{N} \sum x_i$ (得到 $D \times 1$ 向量)。
2. 算协方差:
 - 方式 A: $\hat{\Sigma} = \frac{1}{N} \sum (x_i - \bar{x})(x_i - \bar{x})^T$ 。
 - 方式 B: $\hat{\Sigma} = \frac{1}{N} \sum x_i x_i^T - \bar{x} \bar{x}^T$ (等价、常用)。

6) 为什么“经验均值/协方差”会是 MLE?

不深入推导, 只给直觉:

- 写出似然函数 (所有点的 pdf 的乘积), 取对数得到对数似然;
- 对 μ 求导并令零 → 解出来就是样本均值;

- 对 Σ 求导并令零 → 解出来就是上面的样本协方差形式。
这说明把中心放在平均处、把形状设为“样本的扩散形状”，确实让数据“最不意外”。

7) 什么时候会用贝叶斯方法？

- 如果 N 不多（数据稀疏），仅靠 MLE 容易过拟合：把协方差估得太“贴合样本”。
 - 贝叶斯方法会给 μ, Σ 放先验（比如正态-逆威沙特先验），把先验信息与数据综合起来，缓和过拟合，并且给出不确定性（置信区间/后验分布）。
-

一句话总结

- **结论：**高斯分布参数的 MLE = 样本均值 + 样本协方差（除以 N 的版本）。
- **单变量时：**就是“均值 = 平均数”“方差 = 平方和平均减去均值平方”。
- **贝叶斯：**用先验来稳住小样本、给出不确定度。

在之前的学习中，我了解了极大似然分布容易过拟合，出现极端情况，这里也一样吗

是的，这里也是一样的。

多元高斯分布的极大似然估计（MLE）同样会在某些情况下严重过拟合，甚至出现极端、奇怪的结果。

1. 为什么会过拟合？

MLE 的目标是“让观测数据在估计的参数下概率最大”。

- 在样本量足够大时，这样做效果不错。
 - 但在样本量小、维度高的情况下，MLE 会过分贴合样本。
-

2. 高斯分布下的极端情况

情况 1：样本数 < 维度数 ($N < D$)

- 协方差矩阵的 MLE 会变成奇异矩阵（不可逆），因为数据点都落在一个低维子空间里。
- 这样，马氏距离和概率密度公式里的 Σ^{-1} 根本无法计算。

- 甚至可能出现 MLE “无限大”的现象：如果你把均值 μ 放在某个数据点上，并让协方差矩阵在某些方向上收缩到几乎 0，似然会爆炸（趋近无穷大）。

情况 2：样本数量不够多

- 协方差估计很不稳定：某些方向的方差可能被估得过小或过大，这会让模型在这些方向上极端自信。
- 在新数据上，这种过度自信往往表现为泛化性能差。

情况 3：异常值的影响

- MLE 是基于所有数据点的平均和平方差计算的。
 - 如果有一个极端值（outlier），它会显著拉动均值 $\hat{\mu}$ 和协方差 $\hat{\Sigma}$ ，导致分布估计被破坏。
-

3. 和你之前学的“MLE 容易过拟合”是同一个道理

- 在回归、分类等任务里，MLE 容易在训练数据上表现极好，但在新数据上失效。
 - 在高斯分布参数估计中，问题本质是一样的：MLE 会找到最适合当前数据的参数，但这些参数可能并不适合未来的新数据。
-

4. 怎么缓解？

1. 贝叶斯估计（文中后面会讲）：

给 μ, Σ 加上先验分布（如正态-逆威沙特先验），这样即便数据很少，也不会得到极端的参数。

2. 正则化协方差：

在协方差上加一个 λI （岭回归思想），避免奇异矩阵。

3. 使用无偏估计或 shrinkage：

比如 Ledoit-Wolf 协方差估计，能在高维小样本下更稳。

4. 剔除或鲁棒处理异常值：

采用鲁棒均值/协方差估计，比如最小协方差行列式（MCD）。

如果你愿意，我可以用一个二维例子画出 MLE 在小样本时估计出的椭圆是如何“贴着”数据的，再对比贝叶斯/正则化的结果，你会更直观地看到“过拟合”在高斯分布里长什么样。

翻译并解释以下内容，翻译不能有遗漏，解释请基础且详尽，因为我的数学基础不太好。

4.1.4 Maximum entropy derivation of the Gaussian
 In this section, we show that the multivariate Gaussian is the distribution with maximum entropy subject to having a specified mean and covariance (see also Section 9.2.6). This is one reason the Gaussian is so widely used: the first two moments are usually all that we can reliably estimate from data, so we want a distribution that captures these properties, but otherwise makes as few additional assumptions as possible. To simplify notation, we will assume the mean is zero. The pdf has the form

$$p(x) = \frac{1}{Z} \exp(-\frac{1}{2} x^T \Sigma^{-1} x) \quad (4.24)$$

If we define $f_{ij}(x) = x_i x_j$ and $\lambda_{ij} = \frac{1}{2}(\Sigma - 1)_{ij}$, for $i, j \in \{1, \dots, D\}$, we see that this is in the same form as Equation 9.74. The (differential) entropy of this distribution (using log base e) is given by

$$h(N(\mu, \Sigma)) = \frac{1}{2} \ln(2\pi e) D |\Sigma| \quad (4.25)$$

We now show the MVN has maximum entropy amongst all distributions with a specified covariance Σ .

Theorem 4.1.2. Let $q(x)$ be any density satisfying $q(x) x_i x_j = \Sigma_{ij}$. Let $p = N(0, \Sigma)$. Then $h(q) \leq h(p)$.

已思考 41s

好的！我先逐句完整翻译，然后用尽量基础、直观的方式解释每一句在说什么、为什么成立。

翻译（无遗漏）

4.1.4 用最大熵导出高斯分布

在本节中，我们将说明：在给定均值和协方差的约束下，**多元高斯分布是熵最大的分布**（另见第 9.2.6 节）。这也是高斯分布被广泛使用的一个原因：从数据中我们通常**只能可靠地估计前两个矩（均值与协方差）**，因此我们希望一个分布既能体现这些性质，**但除此之外尽量少做额外假设**。为简化记号，我们假设均值为 0。其概率密度函数为

$$p(\mathbf{x}) = \frac{1}{Z} \exp\left(-\frac{1}{2} \mathbf{x}^T \Sigma^{-1} \mathbf{x}\right) \quad (4.24)$$

如果我们定义 $f_{ij}(\mathbf{x}) = x_i x_j$ 且 $\lambda_{ij} = \frac{1}{2}(\Sigma^{-1})_{ij}$, 其中 $i, j \in \{1, \dots, D\}$, 我们会发现这与式 (9.74) 具有相同的形式。该分布的（微分）熵（以自然对数为底）为

$$h(\mathbf{N}(\boldsymbol{\mu}, \Sigma)) = \frac{1}{2} \ln((2\pi e)^D |\Sigma|) \quad (4.25)$$

现在我们来证明：在所有协方差为 Σ 的分布中，MVN 的熵最大。

定理 4.1.2。 设 $q(\mathbf{x})$ 是任意满足 $q(\mathbf{x})x_i x_j = \Sigma_{ij}$ 的密度函数。令 $p = \mathbf{N}(\mathbf{0}, \Sigma)$ 。则有 $h(q) \leq h(p)$ 。

说明：上句的写法是简记；它的含义是在分布 q 下的期望满足 $E_q[x_i x_j] = \Sigma_{ij}$ 。

解释（基础且详尽）

1) “最大熵”到底在说什么？

- 熵（这里是“微分熵”）衡量“不确定度/分散度”。熵越大，分布越“平”，对未知越少先验假设。
- “在给定约束下最大熵”= 在满足某些已知事实的前提下（比如均值、协方差已知），在所有可能的分布中，选那个最不武断的——也就是熵最大的。
- 这正好符合建模直觉：我们只相信数据能给出的“均值和协方差”，其余一律不猜；满足这两条、同时最不添加额外结构的分布，结果就是**高斯分布**。

2) 式 (4.24) 在干嘛？ Z 是什么？

-

$p(\mathbf{x}) = \frac{1}{Z} \exp(-\frac{1}{2} \mathbf{x}^T \Sigma^{-1} \mathbf{x})$

- 这是零均值多元高斯的“指数形式”。
- Z 叫归一化常数（或配分函数）：保证 $\int p(\mathbf{x}) d\mathbf{x} = 1$ 。对高斯来说，

$$Z = (2\pi)^{D/2} |\Sigma|^{1/2}.$$

- 文中还把它写成**指数族**的标准样子：令充分统计量 $f_{ij}(\mathbf{x}) = x_i x_j$, 自然参数 $\lambda_{ij} = \frac{1}{2}(\Sigma^{-1})_{ij}$, 就能对上“式 (9.74) ”那种统一模板（即“ $\log p = \text{参数} \times \text{充分统计量} - \text{对数配分函数}$ ”）。

3) 式 (4.25)：高斯的熵为何是 $\frac{1}{2} \ln((2\pi e)^D |\Sigma|)$ ？

- 你可以把它记为：

$$\text{熵} = \frac{D}{2}(1 + \ln 2\pi) + \frac{1}{2} \ln |\Sigma|.$$

- 直觉: $|\Sigma|$ 越大 (总体方差越大), 分布越“散”, 熵越大。
- 注意: 微分熵不是概率那样永远非负; 它可以是负的 (这没问题)。这里用的是自然对数 (底 e)。

4) 为什么“高斯 = 给定均值/协方差下的最大熵”?

有两个常见证明思路, 给你最简单直观的那个:

用 KL 散度的非负性:

- 设 $p = N(0, \Sigma)$, q 是任意一个也满足 $E_q[\mathbf{x}] = 0$ 、 $E_q[\mathbf{xx}^T] = \Sigma$ 的分布。
- KL 散度 $KL(q \| p) = \int q \ln \frac{q}{p} dx \geq 0$ 。

改写一下:

$$KL(q \| p) = -h(q) - \int q \ln p dx \geq 0 \Rightarrow h(q) \leq -\int q \ln p dx.$$

- 计算右边: $\ln p(x) = -\frac{1}{2}x^T \Sigma^{-1}x - \frac{1}{2} \ln ((2\pi)^D |\Sigma|)$ 。

$$-\int q \ln p = \frac{1}{2} \underbrace{E_q[x^T \Sigma^{-1}x]}_{\text{同协方差} \Rightarrow D} + \frac{1}{2} \ln ((2\pi)^D |\Sigma|).$$

这里 $E_q[x^T \Sigma^{-1}x] = \text{tr}(\Sigma^{-1} E_q[\mathbf{xx}^T]) = \text{tr}(\Sigma^{-1} \Sigma) = \text{tr}(I) = D$ 。

所以

$$-\int q \ln p = \frac{1}{2}D + \frac{1}{2} \ln ((2\pi)^D |\Sigma|) = \frac{1}{2} \ln ((2\pi e)^D |\Sigma|) = h(p).$$

- 于是 $h(q) \leq h(p)$ 。只有当 $KL(q \| p) = 0$ (也就是 $q = p$) 时取等号。

结论: 满足同样均值与协方差的所有分布里, **高斯的熵最大**。

5) 这件事的实际含义

- 在很多真实问题中, 我们能稳定估到的通常就两件事: **均值和协方差**。
- 采用高斯, 等价于“**除了这两件已知事实, 别再多做假设**”。这就是最大熵原则的哲学: **最少偏见**。
- 这也解释了为什么高斯在工程/统计/机器学习里“无处不在”。

小结

- (4.24) 给出零均值多元高斯的指数形式; Z 让它积分为 1。
- (4.25) 给出了高斯的微分熵公式。
- 定理 4.1.2 表明: 对所有“协方差是 Σ ”的分布, **高斯的熵最大 (最不武断)**。

- 直观证明来自 KL 散度的非负性；关键一步是用到“同一个协方差 $\Sigma \Rightarrow E[x^T \Sigma^{-1} x] = D$ ”。



翻译并解释以下内容，翻译不能有遗漏，解释请基础且详尽，因为我的数学基础不太好。

Figure 4.2 (a) Height/weight data. (b) Visualization of 2d Gaussians fit to each class. 95% of the probability mass is inside the ellipse. Figure generated by gaussHeightWeight.

4.2 Gaussian discriminant analysis

One important application of MVNs is to define the class conditional densities in a generative classifier, i.e., $p(x|y = c, \theta) = N(x|\mu_c, \Sigma_c)$ (4.30)

The resulting technique is called (Gaussian) discriminant analysis or GDA (even though it is a generative, not discriminative, classifier — see Section 8.6 for more on this distinction). If Σ_c is diagonal, this is equivalent to naive Bayes.

We can classify a feature vector using the following decision rule, derived from Equation 2.13:

$$\hat{y}(x) = \operatorname{argmax}_c [\log p(y=c|\pi) + \log p(x|\theta_c)] \quad (4.31)$$

When we compute the probability of x under each class conditional density, we are measuring the distance from x to the center of each class, μ_c , using Mahalanobis distance. This can be thought of as a nearest centroids classifier.

As an example, Figure 4.2 shows two Gaussian class-conditional densities in 2d, representing the height and weight of men and women. We can see that the features are correlated, as is to be expected (tall people tend to weigh more). The ellipses for each class contain 95% of

the probability mass. If we have a uniform prior over classes, we can classify a new test vector as follows:
 $\hat{y}(x) = \operatorname{argmin}_c c(x - \mu_c)^T \Sigma_c^{-1} c(x - \mu_c)$ (4.32)

已思考 18s

好的！我先把原文完整翻译，然后再用基础、直观的方式解释每一块在说什么。

翻译（无遗漏）

Figure 4.2 (a) 身高/体重数据。 (b) 为每个类别拟合的二维高斯的可视化。95% 的概率质量在椭圆内部。图由 `gaussHeightWeight` 生成。

4.2 高斯判别分析

MVN 的一个重要应用，是在生成式分类器中定义类条件密度，即

$$p(\mathbf{x} | y = c, \theta) = N(\mathbf{x} | \boldsymbol{\mu}_c, \boldsymbol{\Sigma}_c) \quad (4.30)$$

由此得到的技术称为（高斯）判别分析或 GDA（尽管它是生成式而不是判别式的分类器——关于这一区别见第 8.6 节）。如果 $\boldsymbol{\Sigma}_c$ 是对角矩阵，这就等价于朴素贝叶斯。

我们可以使用下面的判决规则对一个特征向量进行分类，该规则由式 2.13 推导而来：

$$\hat{y}(\mathbf{x}) = \operatorname{argmax}_c [\log p(y = c | \pi) + \log p(\mathbf{x} | \theta_c)] \quad (4.31)$$

当我们在每个类条件下计算 \mathbf{x} 的概率时，实际上是在用马氏距离衡量 \mathbf{x} 到各类中心 $\boldsymbol{\mu}_c$ 的远近。这可以被看作是一种最近质心分类器。

例如，图 4.2 展示了二维中的两个高斯类条件密度，表示男性与女性的身高和体重。我们可以看到特征是相关的（情理之中：高个子通常更重）。每个类别的椭圆都包含 95% 的概率质量。如果对类别有均匀先验，我们可以如下对新的测试向量进行分类：

$$\hat{y}(\mathbf{x}) = \operatorname{argmin}_c (\mathbf{x} - \boldsymbol{\mu}_c)^T \boldsymbol{\Sigma}_c^{-1} (\mathbf{x} - \boldsymbol{\mu}_c) \quad (4.32)$$

解释（基础且详尽）

1) 图 4.2 在表达什么？

- (a) 面板：红圈是女性样本，蓝叉是男性样本；横轴是身高，纵轴是体重。
- (b) 面板：给每个类（男/女）分别拟合一个二维高斯分布；画出的红/蓝椭圆是等高线，其内部包住了该类 95% 的总概率。
 - “95% 概率质量在椭圆内”意思是：在该高斯分布下，从椭圆内任取一个点的**概率（积分）**加起来等于 0.95。

- 在二维高斯里，这个椭圆由

$$(\mathbf{x} - \boldsymbol{\mu})^T \boldsymbol{\Sigma}^{-1} (\mathbf{x} - \boldsymbol{\mu}) \leq \tau$$

定义，其中 τ 取 χ^2 分布（自由度 2）95% 分位数，数值大约 $\tau \approx 5.991$ 。这就是“95% 椭圆”的来历。

你也能从图上看出**相关性**：点云不是圆而是倾斜的椭圆（身高越高，体重越大），这由协方差矩阵里的相关项体现。

2) 什么是 GDA (高斯判别分析) ?

- **生成式思路**：先为每个类 c 建模 $p(\mathbf{x} | y = c)$ （这里取高斯 $N(\boldsymbol{\mu}_c, \boldsymbol{\Sigma}_c)$ ），再结合先验 $p(y = c)$ 用贝叶斯法则得到后验 $p(y = c | \mathbf{x})$ ，最后选后验最大的类。
- 如果 $\boldsymbol{\Sigma}_c$ 是**对角矩阵**，等价于假设“给定类别后，各特征相互独立”，这就是**朴素贝叶斯**的高斯版本。

3) 判决规则 (4.31) 为什么是“log prior + log likelihood”？

- 由贝叶斯： $p(y = c | \mathbf{x}) \propto p(\mathbf{x} | y = c) p(y = c)$ 。
- $\arg \max$ 不变形下，加个对数更好算（乘法变加法），于是得到式 (4.31)。

把高斯的对数密度代入后，可得常见的**判别函数**：

$$g_c(\mathbf{x}) = -\frac{1}{2}(\mathbf{x} - \boldsymbol{\mu}_c)^T \boldsymbol{\Sigma}_c^{-1} (\mathbf{x} - \boldsymbol{\mu}_c) - \frac{1}{2} \log |\boldsymbol{\Sigma}_c| + \log \pi_c \quad (\pi_c = p(y = c)).$$

选 $g_c(\mathbf{x})$ 最大的类。

4) 和“距离最近”有什么关系？

- 项 $(\mathbf{x} - \boldsymbol{\mu}_c)^T \boldsymbol{\Sigma}_c^{-1} (\mathbf{x} - \boldsymbol{\mu}_c)$ 是到类中心的**马氏距离平方**：
 - 它会根据该类的**协方差**对各方向拉伸/缩放，比普通欧氏距离聪明：
 - 在该类很“分散”的方向（方差大），同样的偏移惩罚更小；
 - 在该类很“紧”的方向（方差小），同样的偏移惩罚更大。
- 如果**类别先验均匀且**（近似或恰好） $|\boldsymbol{\Sigma}_c|$ 在各类相同，那么选择 g_c 最大就等价于**只比较马氏距离**，于是得到式 (4.32)：

$$\hat{y}(\mathbf{x}) = \arg \min_c (\mathbf{x} - \boldsymbol{\mu}_c)^T \boldsymbol{\Sigma}_c^{-1} (\mathbf{x} - \boldsymbol{\mu}_c).$$

这就是“**最近质心（马氏度量）**”的分类器。

小提示：

- 若各类共用同一个**协方差** $\boldsymbol{\Sigma}$ ，决策边界是**线性的**（这就是 LDA）。
- 若每类用自己的 $\boldsymbol{\Sigma}_c$ ，边界一般是**二次曲线**（这通常称为 QDA）。

5) “95% 椭圆”再多一句

- 在 D 维里，“95% 椭球”用 χ_D^2 的 0.95 分位数 τ 来写：

$$(\mathbf{x} - \boldsymbol{\mu})^T \boldsymbol{\Sigma}^{-1} (\mathbf{x} - \boldsymbol{\mu}) \leq \tau, \quad \tau = \chi_{D, 0.95}^2.$$

- 二维时 $\tau \approx 5.991$ ；一维时就是“均值 ± 1.96 标准差”的那个区间的多维推广。

一句话总结

- 给每个类拟合一个高斯 $N(\boldsymbol{\mu}_c, \boldsymbol{\Sigma}_c)$ ，椭圆显示该类的等密度线；图中画的是“含 95% 概率”的那条。
- 分类时按式 (4.31) 选“**先验 + 似然**”最大的类；在均匀先验且忽略/相同 $|\boldsymbol{\Sigma}_c|$ 的情况下，就变成选**马氏距离最近**的类（式 4.32）。
- 椭圆的倾斜和细长程度来自协方差，体现了特征间的相关性。



已上传的图片

翻译并解释以下内容，翻译不能有遗漏，解释请基础且详尽，因为我的数学基础不太好。

4.2.1 Quadratic discriminant analysis (QDA)

The posterior over class labels is given by Equation 2.13. We can gain further insight into this model by plugging in the definition of the Gaussian density, as follows:

$$p(y = c|x, \theta) = \frac{1}{\sqrt{(2\pi)^D |\boldsymbol{\Sigma}_c|}} \exp \left(-\frac{1}{2} (\mathbf{x} - \boldsymbol{\mu}_c)^T \boldsymbol{\Sigma}_c^{-1} (\mathbf{x} - \boldsymbol{\mu}_c) \right) \quad (4.33)$$

Thresholding this results in a quadratic function of x . The result is known as quadratic discriminant analysis (QDA).

Figure 4.3 gives some examples of what the decision boundaries look like in 2D.

Figure 4.3 Quadratic decision boundaries in 2D for the 2

and 3 class case. Figure generated by
discrimAnalysisDboundariesDemo.

好的，我先把原文逐句完整翻译，然后再用基础、直观的方式解释。

翻译（无遗漏）

4.2.1 二次判别分析 (QDA)

类标签的后验概率由式 (2.13) 给出。我们可以通过代入高斯密度的定义来进一步理解该模型，如下所示：

$$p(y = c \mid \mathbf{x}, \theta) = \frac{\pi_c |2\pi\Sigma_c|^{-1/2} \exp(-\frac{1}{2}(\mathbf{x} - \boldsymbol{\mu}_c)^T \Sigma_c^{-1} (\mathbf{x} - \boldsymbol{\mu}_c))}{\sum_{c'} \pi_{c'} |2\pi\Sigma_{c'}|^{-1/2} \exp(-\frac{1}{2}(\mathbf{x} - \boldsymbol{\mu}_{c'})^T \Sigma_{c'}^{-1} (\mathbf{x} - \boldsymbol{\mu}_{c'}))} \quad (4.33)$$

对这个后验进行阈值判断 (thresholding) 会得到一个关于 \mathbf{x} 的**二次函数**。该结果称为**二次判别分析 (QDA)**。

图 4.3 给出了一些二维情况下决策边界的示例。

图 4.3：二维情况下的二次决策边界，分别对应二分类和三分类情形。图由 discrimAnalysisDboundariesDemo 生成。

解释（基础且详尽）

1) QDA 是什么？

- QDA (Quadratic Discriminant Analysis, 二次判别分析) 是**高斯判别分析 (GDA)**的一种特殊情况：
 - 对每个类别 c ，假设数据服从一个高斯分布 $N(\boldsymbol{\mu}_c, \Sigma_c)$ ，且不同类别的协方差矩阵 Σ_c 可以**不同**。
 - 先验概率 $p(y = c) = \pi_c$ 可以不一样。
- 判别过程：
 1. 用每个类的高斯密度公式算似然 $p(\mathbf{x} \mid y = c)$ 。
 2. 乘以先验 π_c 得到未归一化的后验。
 3. 对所有类做归一化（分母求和）。
 4. 选后验最大的类作为预测结果。

2) 式 (4.33) 是什么含义?

- **分子**: 第 c 类的先验概率 \times 高斯概率密度 (均值 μ_c , 协方差 Σ_c)。
- **分母**: 对所有可能的类 c' 做同样的计算, 并把结果加起来 (概率归一化)。
- **核心部分**: 高斯密度公式:

$$|2\pi\Sigma_c|^{-1/2} \exp\left(-\frac{1}{2}(\mathbf{x} - \boldsymbol{\mu}_c)^T \boldsymbol{\Sigma}_c^{-1} (\mathbf{x} - \boldsymbol{\mu}_c)\right)$$

- 里面的二次型 $(\mathbf{x} - \boldsymbol{\mu}_c)^T \boldsymbol{\Sigma}_c^{-1} (\mathbf{x} - \boldsymbol{\mu}_c)$ 是马氏距离平方, 描述 \mathbf{x} 距离类中心的远近 (考虑方向方差)。

3) 为什么叫“二次判别”?

- 如果我们想做**二分类**, 判断“ \mathbf{x} 属于类 1 还是类 2”, 可以比较它们的后验概率大小, 等价于比较它们的**对数后验差值**是否大于 0。
- 当协方差矩阵 $\boldsymbol{\Sigma}_c$ 在不同类中**不一样**时, 这个差值是一个关于 \mathbf{x} 的**二次多项式** (包含 x_i^2 、 $x_i x_j$ 等项)。
- 所以决策边界 (后验相等时的点) 就是**二次曲线**: 在二维里可以是椭圆、抛物线、双曲线等形状。

4) 图 4.3 在展示什么?

- (a) **面板**: Parabolic Boundary
 - 橙色圈圈和蓝色加号是两类训练数据点。
 - 橙色和蓝色等高线分别是两个二维高斯分布的概率密度等高线。
 - 黑色曲线是决策边界: 位于后验相等的地方。它是一个**抛物线形**的二次曲线。
- (b) **面板**: Some Linear, Some Quadratic
 - 三个类别 (橙色圈、蓝色加号、绿色倒三角)。
 - 不同类别的协方差不同 → 决策边界有的地方是直线, 有的地方是弯曲的二次曲线。
 - 黑色曲线是这些类之间的分界线, 有线性的段, 也有二次的段。

5) QDA vs LDA (线性判别分析)

- QDA: 允许每个类有自己的协方差矩阵 $\boldsymbol{\Sigma}_c$, 更灵活, 能拟合复杂的边界 (非线性)。

- LDA：假设所有类的协方差相同 ($\Sigma_c = \Sigma$)，此时决策边界是**线性的**。
- 代价：QDA 要估计更多参数（每个类一个协方差矩阵），在样本少时容易过拟合。

总结

- QDA = 高斯生成式分类 + 不同类有不同协方差 → 决策边界是二次曲线。
- 图中黑线 = 后验相等时的点 = 决策边界；可以是抛物线、椭圆、混合线性段等。
- 优点：边界灵活；缺点：需要更多数据支撑参数估计，否则可能过拟合。

 已上传的图片

 已上传的图片

翻译并解释以下内容，翻译不能有遗漏，解释请基础且详尽，因为我的数学基础不太好。

Figure 4.4 Softmax distribution $S(\eta/T)$, where $\eta = (3, 0, 1)$, at different temperatures T . When the temperature is high (left), the distribution is uniform, whereas when the temperature is low (right), the distribution is “spiky”, with all its mass on the largest element. Figure generated by softmaxDemo2.

Figure 4.5 Linear decision boundaries in 2D for the 2 and 3 class case. Figure generated by discrimAnalysisDboundariesDemo.

4.2.2 Linear discriminant analysis (LDA)

We now consider a special case in which the covariance matrices are tied or shared across classes, $\Sigma_c = \Sigma$. In this case, we can simplify Equation 4.33 as follows:

$$p(y=c|x, \theta) \propto \pi_c \exp \mu^T c \Sigma^{-1}x - \frac{1}{2} x^T \Sigma^{-1}x - \frac{1}{2} \mu^T c \Sigma^{-1} \mu \quad (4.34)$$

$$= \exp \mu^T c \Sigma^{-1}x - \frac{1}{2} \mu^T c \Sigma^{-1} \mu + \log \pi_c \exp[-\frac{1}{2} x^T \Sigma^{-1}x] \quad (4.35)$$

Since the quadratic term $x^T \Sigma^{-1}x$ is independent of c , it will cancel out in the numerator and denominator. If we

define

$$\gamma_c = -1/2 \mu T c \Sigma - 1/\mu c + \log \pi c \quad (4.36)$$

$$\beta_c = \Sigma - 1/\mu c \quad (4.37)$$

then we can write

$$p(y=c|x, \theta) = e^{\beta T c} x + \gamma_c c / e^{\beta T c} x + \gamma_c = S(\eta)c \quad (4.38)$$

where $\eta = [\beta T_1 x + \gamma_1, \dots, \beta T_D x + \gamma_D]$, and S is the softmax function, defined as follows:

$$S(\eta)c = e^{\eta c} / \sum_{i=1}^C e^{\eta_i} \quad (4.39)$$

The softmax function is so-called since it acts a bit like the max function. To see this, let us divide each η_c by a constant T called the temperature. Then as $T \rightarrow 0$, we find $S(\eta/T)c = 1.0$ if $c = \text{argmax}_c \eta_c$ 0.0 otherwise (4.40)

In other words, at low temperatures, the distribution spends essentially all of its time in the most probable state, whereas at high temperatures, it visits all states uniformly. See Figure 4.4 for an illustration. Note that this terminology comes from the area of statistical physics, where it is common to use the Boltzmann distribution, which has the same form as the softmax function. An interesting property of Equation 4.38 is that, if we take logs, we end up with a linear function of x . (The reason it is linear is because the $xT\Sigma - 1x$ cancels from the numerator and denominator.) Thus the decision boundary between any two classes, say c and c' , will be a straight line. Hence this technique is called linear discriminant analysis or LDA. 1 We can derive the form of this line as follows:

$$p(y=c|x, \theta) = p(y=c'|x, \theta) \quad (4.41)$$

$$\beta T c x + \gamma_c = \beta T c' x + \gamma_{c'} \quad (4.42)$$

$$xT(\beta c - \beta c') = \gamma_c - \gamma_{c'} \quad (4.43)$$

See Figure 4.5 for some examples. An alternative to fitting an LDA model and then deriving the class posterior is to directly fit $p(y|x,W) = \text{Cat}(y|Wx)$ for some $C \times D$ weight matrix W . This is called multi-class logistic regression, or multinomial logistic regression. 2 We will discuss this model in detail in Section 8.2. The difference between the two approaches is explained in Section 8.6.

已思考 17s

好的！我先把图注与正文逐句完整翻译，然后再用基础、直观的方式解释每一步在讲什么、为什么成立。

翻译 (无遗漏)

Figure 4.4 不同温度 T 下的 softmax 分布 $S(\eta/T)$, 其中 $\eta = (3, 0, 1)$ 。当温度很高 (左边) 时, 分布接近**均匀**; 当温度很低 (右边) 时, 分布呈尖峰 ("spiky") 状, 几乎所有概率质量都集中在最大的元素上。图由 softmaxDemo2 生成。

Figure 4.5 二维情况下的**线性**决策边界, 分别对应二分类和三分类情形。图由 discrimAnalysisDboundariesDemo 生成。

4.2.2 线性判别分析 (LDA)

我们现在考虑一个特殊情形: 各类的协方差矩阵**相同/共享**, $\Sigma_c = \Sigma$ 。在这种情况下, 我们可以把式 (4.33) 化简为

$$p(y = c | x, \theta) \propto \pi_c \exp(\mu_c^T \Sigma^{-1} x - \frac{1}{2} x^T \Sigma^{-1} x - \frac{1}{2} \mu_c^T \Sigma^{-1} \mu_c) \quad (4.34)$$

$$= \exp(\mu_c^T \Sigma^{-1} x - \frac{1}{2} \mu_c^T \Sigma^{-1} \mu_c + \log \pi_c) \exp[-\frac{1}{2} x^T \Sigma^{-1} x] \quad (4.35)$$

由于二次项 $x^T \Sigma^{-1} x$ 与类别 c **无关**, 它会在分子与分母中**相互抵消**。如果我们定义

$$\gamma_c = -\frac{1}{2} \mu_c^T \Sigma^{-1} \mu_c + \log \pi_c \quad (4.36)$$

$$\beta_c = \Sigma^{-1} \mu_c \quad (4.37)$$

那么我们可以写成

$$p(y = c | x, \theta) = \frac{e^{\beta_c^T x + \gamma_c}}{\sum_{c'} e^{\beta_{c'}^T x + \gamma_{c'}}} = S(\eta)_c \quad (4.38)$$

其中 $\eta = [\beta_1^T x + \gamma_1, \dots, \beta_C^T x + \gamma_C]$, S 为 softmax 函数, 定义为

$$S(\eta)_c = \frac{e^{\eta_c}}{\sum_{c'=1}^C e^{\eta_{c'}}} \quad (4.39)$$

之所以称为 softmax, 是因为它有点像"max"函数。为说明这一点, 把每个 η_c 都除以一个常数 T , 称为**温度**。当 $T \rightarrow 0$ 时, 我们有

$$S(\eta/T)_c = \begin{cases} 1.0, & \text{如果 } c = \arg \max_c \eta_c \\ 0.0, & \text{否则} \end{cases} \quad (4.40)$$

换句话说, 在低温下, 分布几乎把所有概率都放在**最可能**的状态上; 在高温下, 它几乎**均匀**地分配到所有状态。见图 4.4。注意, 这个术语来自统计物理, 那里常用的**玻尔兹曼分布**与 softmax 具有相同的形式。式 (4.38) 的一个有趣性质是: 取对数后得到的是 x 的**线性函**

数。 (之所以线性, 是因为 $x^T \Sigma^{-1} x$ 在分子与分母中抵消了。) 因此, 任意两个类别 (比如 c 和 c') 之间的决策边界将是一条直线。于是这种技术称为**线性判别分析** (LDA)。我们可以如下推导这条直线的形式:

$$p(y = c | x, \theta) = p(y = c' | x, \theta) \quad (4.41)$$

$$\beta_c^T x + \gamma_c = \beta_{c'}^T x + \gamma_{c'} \quad (4.42)$$

$$x^T (\beta_c - \beta_{c'}) = \gamma_{c'} - \gamma_c \quad (4.43)$$

一些示例见图 4.5。与“先拟合 LDA 再推出类后验”相对的另一种做法, 是**直接拟合** $p(y | x, W) = \text{Cat}(y | Wx)$, 其中 W 是一个 $C \times D$ 的权重矩阵。这叫做**多类逻辑回归** 或**多项逻辑回归**。我们会在第 8.2 节详细讨论该模型。两种方法的差异将在第 8.6 节解释。

解释 (基础且详尽)

1) LDA 在干什么? 为什么能“线性”

- 设每个类的条件分布都是高斯: $N(\mu_c, \Sigma_c)$ 。
- LDA 的假设:** 所有类的协方差一样 ($\Sigma_c = \Sigma$)。这使得式 (4.33) 里的那项 $x^T \Sigma^{-1} x$ 与 c 无关, 于是在后验的“分子/分母”里被消去。
- 于是每个类的打分函数变为

$$g_c(x) = \beta_c^T x + \gamma_c$$

是**线性的**。比较两类时, $g_c(x) = g_{c'}(x)$ 给出一条**直线** (高维里是超平面)。这就是“线性判别”的来历。

记住两个量:

- $\beta_c = \Sigma^{-1} \mu_c$: 把类中心 μ_c 通过“共同的” Σ^{-1} 做了缩放/旋转;
 $\gamma_c = -\frac{1}{2} \mu_c^T \Sigma^{-1} \mu_c + \log \pi_c$: 偏置项, 含先验 π_c 和距离中心的常数项。

2) softmax 从哪儿来?

- $p(y = c | x)$ 的分子是 $e^{\beta_c^T x + \gamma_c}$, 对所有类求和归一化, 正好就是**softmax**。
- 直觉:** $\beta_c^T x + \gamma_c$ 越大, softmax 给该类的概率越高; 所有类的概率相加为 1。

3) “温度 T”到底意味着什么?

- 用 $S(\eta/T)$: 把每个分数 η_c 除以 T 。
 - T 大**: 所有分数被压小, 指数的差别变不明显 → 分布更平、更接近**均匀**。
 - T 小**: 分数差距被放大, 最大的那一项几乎独占全部概率 → 分布**尖锐**。

- 图 4.4 正在演示这一点。

4) 决策边界的式子 (4.41–4.43)

- “边界”是两类后验相等的点集。
- 取对数、整理后得到

$$x^T(\beta_c - \beta_{c'}) = \gamma_{c'} - \gamma_c,$$

这就是**直线方程** (截距 $\gamma_{c'} - \gamma_c$, 法向量 $\beta_c - \beta_{c'}$)。

- 图 4.5: 黑线就是这些直线边界; 左图为二类、右图为三类。

5) LDA 和 Logistic 回归的关系

- **LDA:** 先生成式建模 $p(x | y = c) = N(\mu_c, \Sigma)$ 和先验 π_c , 再用贝叶斯法则得到 $p(y | x)$ (softmax 形式)。
- **多类逻辑回归:** 直接假设 $p(y | x) = \text{softmax}(Wx)$, 判别式地去拟合 W (不对 $p(x | y)$ 建模)。
- 结论: 两者得到的形式都类似 softmax, 但出发点不同; 哪个更好, 取决于数据是否真的“像高斯”以及样本量等 (详见第 8.2、8.6 节)。

6) 什么时候选 LDA、什么时候选 QDA?

- **LDA:** 共享协方差 \rightarrow 参数更少、边界直线 \rightarrow 小样本更稳、但灵活性较弱。
 - **QDA:** 每类自有协方差 \rightarrow 边界弯曲 (二次) \rightarrow 表达力强, 但样本少时容易过拟合。
-

小结

- 共享协方差 \Rightarrow 后验是 softmax(线性函数), 边界是直线, 这就是 LDA。
- softmax 的“温度”控制分布的“平/尖”; $T \rightarrow 0$ 变成“取最大”的一热分布。
- 直接拟合 $p(y | x)$ 得到的就是**多类逻辑回归**; 与 LDA 的差别在“生成式 vs 判别式”。



翻译并解释以下内容，翻译不能有遗漏，解释请基础且详尽，因为我的数学基础不太好。

Figure 4.6 Geometry of LDA in the 2 class case where $\Sigma_1 = \Sigma_2 = I$.

4.2.3 Two-class LDA

To gain further insight into the meaning of these equations, let us consider the binary case. In this case, the posterior is given by

$$\begin{aligned} p(y=1|x, \theta) &= e^{\beta^T_1 x + \gamma_1} e^{\beta^T_0 x + \gamma_0} / (e^{\beta^T_1 x + \gamma_1} + e^{\beta^T_0 x + \gamma_0}) \\ &= 1/(1 + e^{(\beta_0 - \beta_1)^T x + (\gamma_0 - \gamma_1)}) = \text{sigm}((\beta_1 - \beta_0)^T x + (\gamma_1 - \gamma_0)) \end{aligned} \quad (4.44)$$

where $\text{sigm}(\eta)$ refers to the sigmoid function (Equation 1.10). Now

$$\begin{aligned} \gamma_1 - \gamma_0 &= -1/2 \mu_1^T \Sigma^{-1} \mu_1 + 1/2 \mu_0^T \Sigma^{-1} \mu_0 + \log(\pi_1/\pi_0) \\ &= -1/2 (\mu_1 - \mu_0)^T \Sigma^{-1} (\mu_1 - \mu_0) + \log(\pi_1/\pi_0) \end{aligned} \quad (4.46)$$

$$= -1/2 (\mu_1 - \mu_0)^T \Sigma^{-1} (\mu_1 - \mu_0) + \log(\pi_1/\pi_0) \quad (4.47)$$

So if we define

$$w = \beta_1 - \beta_0 = \Sigma^{-1}(\mu_1 - \mu_0) \quad (4.48)$$

$$x_0 = 1/2 (\mu_1 + \mu_0) - (\mu_1 - \mu_0) \log(\pi_1/\pi_0) (\mu_1 - \mu_0)^T \Sigma^{-1} (\mu_1 - \mu_0) \quad (4.49)$$

then we have $w^T x_0 = -(\gamma_1 - \gamma_0)$, and hence

$$p(y=1|x, \theta) = \text{sigm}(w^T(x - x_0)) \quad (4.50)$$

(This is closely related to logistic regression, which we will discuss in Section 8.2.) So the final decision rule is as follows: shift x by x_0 , project onto the line w , and see if the result is positive or negative. If $\Sigma = \sigma^2 I$, then w is in the direction of $\mu_1 - \mu_0$. So we classify the point based on whether its projection is closer to μ_0 or μ_1 . This is

illustrated in Figure 4.6. Furthermore, if $\pi_1 = \pi_0$, then $x_0 = \frac{1}{2}(\mu_1 + \mu_0)$, which is half way between the means. If we make $\pi_1 > \pi_0$, then x_0 gets closer to μ_0 , so more of the line belongs to class 1 a priori. Conversely if $\pi_1 < \pi_0$, the boundary shifts right. Thus we see that the class prior, π_C , just changes the decision threshold, and not the overall geometry, as we claimed above. (A similar argument applies in the multi-class case.) The magnitude of w determines the steepness of the logistic function, and depends on how well-separated the means are, relative to the variance. In psychology and signal detection theory, it is common to define the discriminability of a signal from the background noise using a quantity called d-prime:

$$d = \mu_1 - \mu_0 \sigma \quad (4.51)$$

where μ_1 is the mean of the signal and μ_0 is the mean of the noise, and σ is the standard deviation of the noise. If d is large, the signal will be easier to discriminate from the noise.

好的！我先把原文逐句完整翻译，然后再用基础、直观的方式解释每个式子在说什么（配合图 4.6 的几何直觉）。

翻译（无遗漏）

Figure 4.6 当 $\Sigma_1 = \Sigma_2 = I$ 时，二分类情形下 LDA 的几何图示。

4.2.3 两类的 LDA

为了进一步理解这些方程的含义，我们来看二分类情形。在这种情况下，后验为

$$p(y=1 | x, \theta) = \frac{e^{\beta_1^T x + \gamma_1}}{e^{\beta_1^T x + \gamma_1} + e^{\beta_0^T x + \gamma_0}} \quad (4.44)$$

$$= \frac{1}{1 + e^{(\beta_0 - \beta_1)^T x + (\gamma_0 - \gamma_1)}} = \text{sigm}((\beta_1 - \beta_0)^T x + (\gamma_1 - \gamma_0)) \quad (4.45)$$

其中 $\text{sigm}(\eta)$ 指 sigmoid 函数（式 1.10）。现在

$$\gamma_1 - \gamma_0 = -\frac{1}{2} \mu_1^T \Sigma^{-1} \mu_1 + \frac{1}{2} \mu_0^T \Sigma^{-1} \mu_0 + \log(\pi_1 / \pi_0) \quad (4.46)$$

$$= -\frac{1}{2} (\mu_1 - \mu_0)^T \Sigma^{-1} (\mu_1 + \mu_0) + \log(\pi_1 / \pi_0) \quad (4.47)$$

因此如果定义

$$w = \beta_1 - \beta_0 = \Sigma^{-1}(\mu_1 - \mu_0) \quad (4.48)$$

$$x_0 = \frac{1}{2}(\mu_1 + \mu_0) - (\mu_1 - \mu_0) \frac{\log(\pi_1/\pi_0)}{(\mu_1 - \mu_0)^T \Sigma^{-1}(\mu_1 - \mu_0)} \quad (4.49)$$

则有 $w^T x_0 = -(\gamma_1 - \gamma_0)$, 于是

$$p(y = 1 | x, \theta) = \text{sigm}(w^T(x - x_0)) \quad (4.50)$$

(这与逻辑回归密切相关, 我们将在第 8.2 节讨论。) 因此最终的判决规则如下: **先把 x 平移到以 x_0 为原点, 再将其投影到方向 w 上, 看看结果是正还是负。** 如果 $\Sigma = \sigma^2 I$, 那么 w 的方向与 $\mu_1 - \mu_0$ 相同。所以我们根据该投影更接近 μ_0 还是 μ_1 来分类。图 4.6 做了示意。此外, 若 $\pi_1 = \pi_0$, 则 $x_0 = \frac{1}{2}(\mu_1 + \mu_0)$, 即两均值的中点。若令 $\pi_1 > \pi_0$, 则 x_0 更靠近 μ_0 , 因此**先验上更多的直线区域属于类别 1**; 反之若 $\pi_1 < \pi_0$, 边界向右移动。由此可见, 类别先验 π_c 只是改变**判决阈值**, 而不会改变总体的几何结构, 正如我们上面所说。(多类情形也有类似结论。) 向量 w 的模长决定逻辑函数的**陡峭程度**, 它取决于两类均值相对于方差的可分离程度。在心理学和信号检测理论中, 常用一个称为 **d-prime** 的量来刻画信号与背景噪声的可分辨性:

$$d = \frac{\mu_1 - \mu_0}{\sigma} \quad (4.51)$$

其中 μ_1 为信号的均值, μ_0 为噪声的均值, σ 为噪声的标准差。若 d 很大, 信号更容易与噪声区分开来。

解释 (基础且详尽)

1) 二类 LDA 的后验为什么是 sigmoid (式 4.44–4.45)

- LDA 里 $p(y = c | x)$ 是 softmax 形式。二类时, softmax 退化成 sigmoid:

$$p(y = 1 | x) = \frac{1}{1 + \exp\{-(\beta_1 - \beta_0)^T x + (\gamma_1 - \gamma_0)\}}$$

- 这就是逻辑回归的标准形状: 一个 S 型曲线, 值在 (0,1) 之间, 决定“更像 1 还是更像 0”。

2) β_c, γ_c 回顾 (来自 LDA 推导)

- $\beta_c = \Sigma^{-1} \mu_c$: 把该类的均值通过公共协方差的逆做了缩放与旋转。
- $\gamma_c = -\frac{1}{2} \mu_c^T \Sigma^{-1} \mu_c + \log \pi_c$: 偏置项, 包含了“到类中心的固定代价”和先验 π_c 。

3) 几何直觉: 一维投影 + 阈值

- 令 $w = \Sigma^{-1}(\mu_1 - \mu_0)$ 。这给出**判别方向**: 沿着这条线区分两类最有效 (在 LDA 假设下)。
- 令

$$x_0 = \text{阈值点 (偏移量)} ,$$

其位置受**两个因素影响**:

- 两个均值的中点 $\frac{1}{2}(\mu_1 + \mu_0)$;
 - 先验比率 $\log(\pi_1/\pi_0)$ (把阈值朝先验更小的那一类方向推过去)。
- 于是分类规则变成:
把点 x 投影到方向 w (这一步把高维问题降成一维数 $w^T(x - x_0)$) ,
 - 若投影值 $> 0 \Rightarrow$ 预测为类 1;
 - 若投影值 $< 0 \Rightarrow$ 预测为类 0。
 - 图 4.6 就是这个: 红线是 μ_0 到 μ_1 的连线; x 的垂直投影落到这条线上, 和参考点 x_0 比较谁更近/在阈值哪一侧。

特例 $\Sigma = \sigma^2 I$

- 协方差是各向同性时, $\Sigma^{-1} = \frac{1}{\sigma^2} I$, 所以
 $w \propto (\mu_1 - \mu_0)$: 判别方向就是“两均值连线”。
- 这时决策边界是一条**与均值连线正交**的直线, 位置由 x_0 (是否包含先验偏置) 决定。

先验 π_1, π_0 的作用

- $\pi_1 = \pi_0$ 时, $\log(\pi_1/\pi_0) = 0 \Rightarrow x_0$ 正好在**两均值中点**。
- $\pi_1 > \pi_0$ 时, $\log(\pi_1/\pi_0) > 0 \Rightarrow x_0$ 向 μ_0 方向移动 \Rightarrow **更偏向预测类 1** (阈值变松)。
- 总结: 先验**只改阈值位置, 不改方向 w** (几何形状不变)。

4) w 的大小与“分界陡峭度”

- 后验是 $\text{sigm}(w^T(x - x_0))$ 。
- $\|w\|$ 越大, sigmoid 越陡: 稍微偏到一侧就让概率接近 0 或 1。
- $\|w\|$ 大意味着: 两类均值差 $\|\mu_1 - \mu_0\|$ 相对方差 Σ **更大**, 可分性更强。

5) d-prime (可分辨力)

- 一维噪声背景中常用

$$d' = \frac{\mu_1 - \mu_0}{\sigma}.$$

- 这正体现了**信号强度差 / 噪声标准差**。
- d' 大 \Rightarrow 两分布重叠小 \Rightarrow 更容易区分。

一句话总结

- 二类 LDA 的后验是 sigmoid(线性打分)；判别等价于：把数据沿 $w = \Sigma^{-1}(\mu_1 - \mu_0)$ 投影，再与阈值点 x_0 比较。
- 先验 π_c 只移动阈值，不改变方向；协方差各向同性时，方向就是两均值连线。
- 分离度由 $\|w\|$ (或 d-prime) 决定：均值差越大、噪声越小，分类越容易。

翻译并解释以下内容，翻译不能有遗漏，解释请基础且详尽，因为我的数学基础不太好。

4.2.4 MLE for discriminant analysis

We now discuss how to fit a discriminant analysis model. The simplest way is to use maximum likelihood. The log-likelihood function is as follows:

$$\log p(D|\theta) = N \sum_{i=1}^C \sum_{c=1}^C I(y_i = c) \log \pi_c + C \sum_{c=1}^C \sum_{i:y_i=c} \log N(x_i | \mu_c, \Sigma_c) \quad (4.52)$$

We see that this factorizes into a term for π , and C terms for each μ_c and Σ_c . Hence we can estimate these parameters separately. For the class prior, we have $\hat{\pi}_c = N_c / N$, as with naive Bayes. For the class-conditional densities, we just partition the data based on its class label, and compute the MLE for each Gaussian:

$$\hat{\mu}_c = \frac{1}{N_c} \sum_{i:y_i=c} x_i, \quad \hat{\Sigma}_c = \frac{1}{N_c} \sum_{i:y_i=c} (x_i - \hat{\mu}_c)(x_i - \hat{\mu}_c)^T \quad (4.53)$$

See `discrimAnalysisFit` for a Matlab implementation. Once the model has been fit, you can make predictions using `discrimAnalysisPredict`, which uses a plug-in approximation.

好的！我先把原文逐句完整翻译，再用基础且详尽的方式解释每一步在做什么、为什么这样做。

翻译（无遗漏）

4.2.4 判别分析的极大似然估计 (MLE)

我们现在来讨论如何拟合（训练）一个判别分析模型。最简单的方法是使用**极大似然**。其对数似然函数如下：

$$\log p(D \mid \theta) = \sum_{i=1}^N \sum_{c=1}^C \mathbf{I}(y_i = c) \log \pi_c + \sum_{c=1}^C \left[\sum_{i: y_i=c} \log N(x_i \mid \mu_c, \Sigma_c) \right] \quad (4.52)$$

我们看到，这个式子可以因子化成一部分关于 π 的项，以及针对每个类别 c 的 C 个关于 μ_c, Σ_c 的项。因此我们可以**分别估计**这些参数。

对于类别先验，有 $\pi_c = \frac{N_c}{N}$ ，这与朴素贝叶斯相同。

对于类条件密度，我们只需按类别标签把数据划分，然后对每个高斯分别做 MLE：

$$\hat{\mu}_c = \frac{1}{N_c} \sum_{i: y_i=c} x_i, \quad \hat{\Sigma}_c = \frac{1}{N_c} \sum_{i: y_i=c} (x_i - \hat{\mu}_c)(x_i - \hat{\mu}_c)^T \quad (4.53)$$

Matlab 实现可见 `discrimAnalysisFit`。模型拟合好后，可以用 `discrimAnalysisPredict` 做预测，它使用的是**plug-in (替换式) 近似**。

解释 (基础且详尽)

1) 这些符号都是什么？

- $D = \{(x_i, y_i)\}_{i=1}^N$ ：训练数据， x_i 是特征， $y_i \in \{1, \dots, C\}$ 是类别。
- $\theta = \{\pi_c, \mu_c, \Sigma_c\}_{c=1}^C$ ：要学的参数：
 - $\pi_c = p(y = c)$ ：第 c 类的先验概率；
 - μ_c, Σ_c ：第 c 类高斯分布的均值、协方差。
- $\mathbf{I}(y_i = c)$ ：指示函数；当 $y_i = c$ 时取 1，否则取 0。
- $N_c = \sum_{i=1}^N \mathbf{I}(y_i = c)$ ：第 c 类的样本数。

2) 为什么对数似然 (4.52) 会“分块”？

- 生成式假设：

$$p(x_i, y_i \mid \theta) = p(y_i \mid \pi) p(x_i \mid y_i, \mu, \Sigma).$$
- 全数据似然是所有样本的乘积；取**对数**后，乘法变成加法：
 - 第一项： $\sum \mathbf{I}(y_i = c) \log \pi_c = N_c \log \pi_c$ （只与先验 π 有关）；
 - 第二项：每个类把属于自己的样本拿去求 $\log N(\cdot)$ 之和（只与该类的 μ_c, Σ_c 有关）。
- 因为这两块互不耦合，所以可以**分别最大化**：先估 π ，再按类分别估 μ_c, Σ_c 。

3) 参数怎么估？ (式 4.53)

- **先验 π_c :**

最大化 $N_c \log \pi_c$ (并满足 $\sum_c \pi_c = 1$) \Rightarrow 解就是
 $\hat{\pi}_c = N_c/N$ (每类频率)。

- **均值 μ_c** (给定 Σ_c 时最大化高斯对数似然) \Rightarrow **类内样本的平均。**

- **协方差 Σ_c** \Rightarrow **类内样本的样本协方差**, 注意分母是 N_c (MLE 版本)。

小提醒: 统计里常见“无偏协方差”会用 $N_c - 1$ 作分母; 但 MLE 的分母是 N_c 。两者差别在小样本时更明显。

4) 一句话理解整个训练流程

1. 数一数每类样本数 $N_c \rightarrow$ 得到 $\hat{\pi}_c = N_c/N$ 。
2. 按标签把数据分组;
3. 对每个类 c : 算组内的**样本均值** $\hat{\mu}_c$ 与**样本协方差 (除以 N_c)** $\hat{\Sigma}_c$ 。
这就是“用 MLE 拟合判别分析 (GDA/LDA/QDA) ”。

5) “plug-in 近似”是啥?

- 真实的后验 $p(y | x, \theta)$ 里包含未知参数 θ 。
- plug-in 就是把未知的 θ 全部用估计值 $\hat{\theta}$ **直接替换**:
 $p(y | x, \hat{\theta})$ 。
- 这在工程上最常用; 和完全的贝叶斯处理 (把 θ 当随机变量再积分) 相比更简单、快。

6) LDA vs QDA 在这里怎么体现?

- 上面 (4.53) 是逐类估 Σ_c 的一般式子 \rightarrow 这是 QDA (每类自己的协方差)。
- 若做 LDA, 我们假设 $\Sigma_c = \Sigma$ (共享协方差)。做法: 把**所有数据** (或各类按权重合并) 一起算一个**整体协方差**的 MLE:

$$\hat{\Sigma} = \frac{1}{N} \sum_{c=1}^C \sum_{i:y_i=c} (x_i - \hat{\mu}_c)(x_i - \hat{\mu}_c)^T.$$

然后把这同一个 $\hat{\Sigma}$ 用于所有类。

7) 何时会出现问题? 小贴士

- 若某类样本太少或维度很高, $\hat{\Sigma}_c$ 可能**病态/不可逆** (QDA 常见)。
 - 解决: 用 LDA (共享协方差)、加**正则化/缩减** ($\hat{\Sigma}_c + \lambda I$)、或用贝叶斯先验。
- 异常值会影响均值/协方差 \rightarrow 可考虑鲁棒估计或先做清洗。

小结

- 判别分析的 MLE 十分直接：
 $\pi_c = N_c/N$, $\hat{\mu}_c$ = 类内平均, $\hat{\Sigma}_c$ = 类内协方差 (分母 N_c) 。
- 这些参数是**分块独立**估出来的。
- 预测时用 plug-in：把估计值代入后验公式 (softmax 或 sigmoid) 即可。
- 共享协方差 \Rightarrow LDA (线性边界)；每类自有协方差 \Rightarrow QDA (二次边界)。

翻译并解释以下内容，翻译不能有遗漏，解释请基础且详尽，因为我的数学基础不太好。

4.2.5 Strategies for preventing overfitting

The speed and simplicity of the MLE method is one of its greatest appeals. However, the MLE can badly overfit in high dimensions. In particular, the MLE for a full covariance matrix is singular if $N_c < D$. And even when $N_c > D$, the MLE can be ill-conditioned, meaning it is close to singular. There are several possible solutions to this problem:

- Use a diagonal covariance matrix for each class, which assumes the features are conditionally independent; this is equivalent to using a naive Bayes classifier (Section 3.5).
- Use a full covariance matrix, but force it to be the same for all classes, $\Sigma_c = \Sigma$. This is an example of parameter tying or parameter sharing, and is equivalent to LDA (Section 4.2.2).
- Use a diagonal covariance matrix and forced it to be shared. This is called diagonal covariance LDA, and is discussed in Section 4.2.7.
- Use a full covariance matrix, but impose a prior and then integrate it out. If we use a conjugate prior, this can be done in closed form, using the results from Section 4.6.3; this is analogous to the “Bayesian naive Bayes” method in Section 3.5.1.2. See (Minka 2000f) for details.
- Fit a full or diagonal covariance matrix by MAP estimation. We discuss two different kinds of prior below.
- Project the data into a low dimensional subspace and fit the Gaussians there. See Section 8.6.3.3 for a way to find the

best (most discriminative) linear projection. We discuss some of these options below.

好的，我们先逐句无遗漏翻译，再用非常基础且详细的方式解释每一点含义和背后的原因为。

翻译

4.2.5 防止过拟合的策略

极大似然估计 (MLE) 方法的速度快、实现简单，是它最大的吸引力之一。

然而，在高维情况下，MLE 可能会严重过拟合。

特别地，当协方差矩阵是完整形式 (full covariance matrix) 时，如果 $N_c < D$ ，其 MLE 估计会是奇异的 (singular, 即不可逆)。

即使 $N_c > D$ ，MLE 估计也可能是病态的 (ill-conditioned)，意思是它接近奇异。

针对这个问题，有几种可能的解决方案：

1. **为每个类别使用对角协方差矩阵**，这相当于假设特征在给定类别条件下相互独立；这种方法等价于朴素贝叶斯分类器（见 3.5 节）。

2. **使用完整协方差矩阵，但强制所有类别共享同一个矩阵 $\Sigma_c = \Sigma$** 。

这是参数绑定 (parameter tying) 或参数共享 (parameter sharing) 的一个例子，并且等价于 LDA (见 4.2.2 节)。

3. **使用对角协方差矩阵并强制共享**。

这种方法叫做“对角协方差 LDA”，将在 4.2.7 节讨论。

4. **使用完整协方差矩阵，但对其施加先验分布并进行积分消去 (integrate out)**。

如果使用共轭先验 (conjugate prior)，可以用闭式解完成，这会用到 4.6.3 节的结果；这种方法类似于 3.5.1.2 节中的“贝叶斯朴素贝叶斯”方法。

详细信息见 Minka (2000f)。

5. **用 MAP (最大后验) 估计来拟合完整或对角协方差矩阵**。

我们将在下面讨论两种不同类型的先验。

6. **将数据投影到一个低维子空间中，并在该子空间上拟合高斯分布**。

关于如何找到最佳 (最具判别性) 的线性投影，可参考 8.6.3.3 节。

我们将在下面讨论这些选项中的一些方法。

详细解释 (基础版)

1. 为什么 MLE 容易在高维时过拟合?

- 在高维数据中，协方差矩阵的维度是 $D \times D$ ，需要估计的参数非常多（约 $D(D + 1)/2$ 个）。
 - 如果样本数 N_c （某个类别的样本量）小于维度 D ，样本协方差矩阵一定是**奇异的**（不可逆），因为数据点根本不足以“撑满”这个空间。
 - 即使 $N_c > D$ ，也可能**病态**（数值上接近奇异），这样在计算 Σ_c^{-1} 时会非常不稳定。
 - 过拟合表现：模型在训练集上拟合得很完美，但泛化能力差。
-

2. 几种常用解决办法

(1) 对角协方差矩阵

- 假设协方差矩阵是对角的 \Rightarrow 特征之间**不相关**（条件独立）。
 - 优点：参数数量从 $D(D + 1)/2$ 降到 D 个。
 - 缺点：忽略了特征之间的关系，可能损失判别能力。
 - 对应模型：**朴素贝叶斯**（Naive Bayes）。
-

(2) 完整协方差矩阵 + 所有类别共享

- 假设所有类的协方差矩阵相同： $\Sigma_c = \Sigma_0$ 。
 - 优点：
 - 参数量大大减少（只估计一个矩阵，而不是 C 个）。
 - 稳定性提高。
 - 对应模型：**LDA**（Linear Discriminant Analysis）。
 - 缺点：对类的形状（分布扩散程度和方向）假设过于严格。
-

(3) 对角协方差矩阵 + 所有类别共享

- 降维到极限：假设特征独立，且所有类的方差相同。
 - 对应模型：**对角协方差 LDA**。
 - 进一步减少参数量，非常适合样本少、维度高的情况。
-

(4) 完整协方差矩阵 + 先验分布（贝叶斯方法）

- 给协方差矩阵加上先验（比如逆 Wishart 分布），然后积分掉协方差的随机性。

- 好处：
 - 降低过拟合风险。
 - 自然避免奇异矩阵（因为先验会“拉回”极端估计）。
 - 如果先验是共轭的，可以直接得到闭式解。
-

(5) MAP 估计

- 和 MLE 类似，但在目标函数中加上先验的 log 概率 \Rightarrow 取最大后验值。
 - 常用先验：
 - 协方差矩阵的逆 Wishart 先验（正则化）。
 - 均值的高斯先验。
 - 好处：比纯 MLE 稳定，不会过度追随训练数据的极端值。
-

(6) 低维投影

- 先用降维方法（比如 PCA、LDA 投影）把数据投到更小的维度，再拟合高斯。
 - 好处：
 - 降低参数数量，减少协方差矩阵估计难度。
 - 如果选的投影是“最具判别性”的，会保留分类关键信息。
 - 适合高维稀疏数据（如图像、文本）。
-

核心总结

- **问题本质：**高维下协方差矩阵难估计，MLE 很容易出奇异值或病态 \Rightarrow 过拟合。
 - **解决方向：**减少参数（假设特征独立、共享协方差）、正则化（先验、MAP）、降维。
 - **选择策略：**
 - 样本多 \Rightarrow 可以用 QDA（完整协方差）。
 - 样本中等 \Rightarrow LDA（共享协方差）。
 - 样本极少 \Rightarrow 对角协方差 + 共享 或 先降维。
-

如果你愿意，我可以帮你画一张**“防止高维判别分析过拟合的决策流程图”**，把这 6 种方法按条件可视化出来，你会更容易记住。这样比纯文字更直观。

"奇异"、"样本协方差矩阵一定是奇异的 (不可逆) "以及"也可能病态 (数值上接近奇异) "我不太理解

好，我来用**非常基础的方式**帮你把
"奇异 (singular)" 和 "病态 (ill-conditioned)" 的概念拆开解释，
并且解释为什么在高维时样本协方差矩阵一定会奇异。

1. 什么叫“奇异矩阵” (Singular Matrix)

- 在数学里，一个方阵能不能求逆 (inverse) 很重要。
 - 如果一个矩阵没有逆矩阵，我们就称它是 **奇异矩阵** (singular matrix)，也叫**不可逆矩阵**。
 - 数学判定方法：
 - 行列式 (determinant) = 0 \Rightarrow 一定奇异。
 - 存在一行 (或一列) 可以由其他行 (列) 线性组合得到 \Rightarrow 奇异。
-

直观比喻

你可以把矩阵看成一个“压缩数据的机器”。

- 如果它是可逆的，就像是“完美压缩 + 完美解压”，信息不丢失。
 - 如果它是奇异的，就像把三维物体压成一张纸 (少了一个维度)，再怎么还原都回不去了——信息丢了，所以不可逆。
-

2. 为什么样本协方差矩阵在 $N_c < D$ 时一定奇异？

- 样本协方差矩阵的计算公式是：

$$\hat{\Sigma} = \frac{1}{N_c} \sum_{i=1}^{N_c} (x_i - \bar{x})(x_i - \bar{x})^T$$

- 它的秩 (rank) 最多是 $N_c - 1$ (因为减去均值后，数据点落在一个至多 $N_c - 1$ 维的子空间里)。
- 如果你的特征数 (维度) D 比 $N_c - 1$ 还大，就不可能有满秩 \Rightarrow 一定奇异 \Rightarrow 不可逆。

例子：

- 你有 5 维特征 ($D=5$)，但某类别只有 3 个样本 ($N_c = 3$)。
 - 样本协方差矩阵是 5×5 ，但它的秩最多是 $3 - 1 = 2$ ，缺了好多维度 \Rightarrow 奇异。
-

3. 什么叫“病态矩阵” (Ill-conditioned Matrix)

- “病态”意思是矩阵虽然**理论上可逆**，但在计算机里反转它会很不稳定。
 - **衡量方法：条件数 (condition number)。**
 - 条件数很大 \Rightarrow 病态 \Rightarrow 对小的数值扰动很敏感。
 - 就像是数学上走钢丝，轻轻一碰就差很多。
 - 在数值计算时，病态矩阵求逆会放大计算误差，导致结果不靠谱。
-

直观比喻

可逆矩阵是“弹簧”，病态矩阵是“橡皮筋”。

- 弹簧拉一下松手，形状恢复得很稳定。
 - 橡皮筋如果已经很松（病态），你一碰它形状就变很多——对误差特别敏感。
-

4. 在高维判别分析中的影响

- **奇异**：根本不能计算 Σ^{-1} ，模型就崩了（比如 Mahalanobis 距离没法算）。
 - **病态**：可以算，但结果很不稳定，分类边界可能因为数据里的很小噪声而大幅变化 \Rightarrow 过拟合。
-

如果你愿意，我可以帮你画一个**协方差矩阵从满秩 \rightarrow 病态 \rightarrow 奇异的过程示意图**，这样你会看到维度、样本数和数值稳定性之间的关系，比文字更容易理解。

翻译并解释以下内容，翻译不能有遗漏，解释请基础且详尽，因为我的数学基础不太好。

4.2.6 Regularized LDA *

Suppose we tie the covariance matrices, so $\Sigma_c = \Sigma$, as in

LDA, and furthermore we perform MAP estimation of Σ using an inverse Wishart prior of the form $IW(\text{diag}(\hat{\Sigma}_{\text{mle}}), v_0)$ (see Section 4.5.1). Then we have

$$\hat{\Sigma} = \lambda \text{diag}(\hat{\Sigma}_{\text{mle}}) + (1 - \lambda) \hat{\Sigma}_{\text{mle}} \quad (4.54)$$

where λ controls the amount of regularization, which is related to the strength of the prior, v_0 (see Section 4.6.2.1 for details). This technique is known as regularized discriminant analysis or RDA (Hastie et al. 2009, p656).

When we evaluate the class conditional densities, we need to compute $\hat{\Sigma}^{-1}$, and hence $\hat{\Sigma}^{-1}_{\text{mle}}$, which is impossible to compute if $D > N$. However, we can use the SVD of X (Section 12.2.3) to get around this, as we show below. (Note that this trick cannot be applied to QDA, which is a nonlinear function of x .) Let $X = UDV^T$ be the SVD of the design matrix, where V is $D \times N$, U is an $N \times N$ orthogonal matrix, and D is a diagonal matrix of size N . Furthermore, define the $N \times N$ matrix $Z = UD$; this is like a design matrix in a lower dimensional space (since we assume $N < D$). Also, define $\mu_Z = VT\mu$ as the mean of the data in this reduced space; we can recover the original mean using $\mu = V\mu_Z$, since $VT\mu = VV^T\mu = \mu$. With these definitions, we can rewrite the MLE as follows:

$$\hat{\Sigma}_{\text{mle}} = \frac{1}{N} X^T X - \mu \mu^T \quad (4.55)$$

$$= \frac{1}{N} (ZV^T)^T (ZV^T) - (V\mu_Z)(V\mu_Z)^T \quad (4.56)$$

$$= \frac{1}{N} V^T Z^T Z V^T - V\mu_Z \mu_Z^T V^T \quad (4.57)$$

$$= V \left(\frac{1}{N} Z^T Z - \mu_Z \mu_Z^T \right) V^T \quad (4.58)$$

$$= V \hat{\Sigma}_Z V^T \quad (4.59)$$

where $\hat{\Sigma}_Z$ is the empirical covariance of Z . Hence we can rewrite the MAP estimate as

$$\hat{\Sigma}_{\text{map}} = V \hat{\Sigma}_Z V^T \quad (4.60)$$

$$\hat{\Sigma}_Z = \lambda \text{diag}(\hat{\Sigma}_Z) + (1 - \lambda) \hat{\Sigma}_Z \quad (4.61)$$

Note, however, that we never need to actually compute the $D \times D$ matrix $\hat{\Sigma}_{\text{map}}$. This is because Equation 4.38 tells us that to classify using LDA, all we need to compute is $p(y = c|x, \theta) \propto \exp(\delta c)$, where

$$\delta c = -x^T \beta_c + \gamma_c, \quad \beta_c = \hat{\Sigma}^{-1} \mu_c, \quad \gamma_c = \frac{1}{2} \mu_c^T \beta_c + \log \pi_c \quad (4.62)$$

We can compute the crucial β_c term for RDA without inverting the $D \times D$ matrix as follows:

$$\beta_c = \hat{\Sigma}^{-1} \text{map} \mu_c = (V \hat{\Sigma}_Z V^T)^{-1} \mu_c = V \hat{\Sigma}_Z^{-1} V^T \mu_c = V \hat{\Sigma}_Z^{-1} z \quad (4.63)$$

where $\mu_z, c = VT\mu_c$ is the mean of the Z matrix for data belonging to class c . See `rdaFit` for the code.

好的，我们先把原文逐句翻译，然后我会用**非常基础的方式**帮你解释整个 4.2.6 章节的意思，包括它为什么要这么做、公式是干什么的。

翻译

4.2.6 正则化 LDA (Regularized LDA) *

假设我们把协方差矩阵绑定在一起（即所有类别的协方差矩阵相同， $\Sigma_c = \Sigma$ ，和 LDA 一样），并且进一步使用逆 Wishart 先验 (inverse Wishart prior) 对 Σ 进行 MAP 估计，先验的形式是：

$$\text{IW}(\text{diag}(\hat{\Sigma}_{\text{mle}}), v_0)$$

(参见第 4.5.1 节)。

那么我们得到：

$$\hat{\Sigma} = \lambda \text{diag}(\hat{\Sigma}_{\text{mle}}) + (1 - \lambda)\hat{\Sigma}_{\text{mle}} \quad (4.54)$$

其中 λ 控制正则化的强度，它与先验的强度 v_0 有关 (详细见第 4.6.2.1 节)。

这种技术叫做**正则化判别分析** (Regularized Discriminant Analysis, RDA) (Hastie 等, 2009, 第 656 页)。

在计算类别条件密度 (class-conditional density) 时，我们需要计算 $\hat{\Sigma}^{-1}$ ，因此也需要 $\hat{\Sigma}_{\text{mle}}^{-1}$ 。但是，如果 $D > N$ ，这是不可能直接计算的。不过我们可以用设计矩阵 X 的 SVD 分解 (第 12.2.3 节) 来绕过这个问题，如下所示。(注意，这个技巧不能用于 QDA，因为 QDA 对 x 是非线性函数。)

设：

$$X = UDV^T$$

是设计矩阵的 SVD 分解，其中：

- V 是 $D \times N$ 矩阵，
- U 是 $N \times N$ 的正交矩阵，
- D 是 $N \times N$ 的对角矩阵。

此外，定义：

$$Z = UD$$

这是一个 $N \times N$ 矩阵，类似于一个低维空间里的设计矩阵 (因为我们假设 $N < D$)。

再定义：

$$\mu_z = V^T \mu$$

表示数据在这个降维空间中的均值；

我们可以用：

$$\mu = V \mu_z$$

恢复原始空间中的均值，因为：

$$V^T V = V V^T = I$$

用这些定义，我们可以将 MLE 写成：

$$\hat{\Sigma}_{\text{mle}} = \frac{1}{N} X^T X - \mu \mu^T \quad (4.55)$$

$$= \frac{1}{N} (Z V^T)^T (Z V^T) - (V \mu_z) (V \mu_z)^T \quad (4.56)$$

$$= \frac{1}{N} V Z^T Z V^T - V \mu_z \mu_z^T V^T \quad (4.57)$$

$$= V \left(\frac{1}{N} Z^T Z - \mu_z \mu_z^T \right) V^T \quad (4.58)$$

$$= V \hat{\Sigma}_z V^T \quad (4.59)$$

其中 $\hat{\Sigma}_z$ 是 Z 的经验协方差矩阵。

因此，我们可以把 MAP 估计写为：

$$\hat{\Sigma}_{\text{map}} = V \hat{\Sigma}_z V^T \quad (4.60)$$

$$\tilde{\Sigma}_z = \lambda \text{diag}(\hat{\Sigma}_z) + (1 - \lambda) \hat{\Sigma}_z \quad (4.61)$$

注意，我们实际上**不需要**真正计算这个 $D \times D$ 的 $\hat{\Sigma}_{\text{map}}$ 。

这是因为第 4.38 式告诉我们，要用 LDA 分类，我们只需要计算：

$$p(y = c | x, \theta) \propto \exp(\delta_c)$$

其中：

$$\begin{aligned} \delta_c &= -x^T \beta_c + \gamma_c \\ \beta_c &= \hat{\Sigma}^{-1} \mu_c \\ \gamma_c &= -\frac{1}{2} \mu_c^T \beta_c + \log \pi_c \end{aligned} \quad (4.62)$$

对于 RDA，我们可以不去求 $D \times D$ 矩阵的逆，而直接算 β_c ：

$$\begin{aligned}
\beta_c &= \hat{\Sigma}_{map}^{-1} \mu_c \\
&= (V \tilde{\Sigma}_z V^T)^{-1} \mu_c \\
&= V \tilde{\Sigma}_z^{-1} V^T \mu_c \\
&= V \tilde{\Sigma}_z^{-1} \mu_{z,c}
\end{aligned} \tag{4.63}$$

其中：

$$\mu_{z,c} = V^T \mu_c$$

是类别 c 在 Z 空间中的均值。

代码见 `rdaFit`。

通俗解释

1. 背景

- 在 LDA 里，我们需要对协方差矩阵求逆。
- 如果维度 D 大于样本数 N ，协方差矩阵会奇异（不可逆），直接求逆会失败。

2. 正则化的目的

- 给协方差矩阵“加一点对角线成分”（ λ 部分），让它更稳定、更容易求逆。
- 公式 (4.54) 就是把原始协方差 $\hat{\Sigma}_{mle}$ 和它的对角版本做一个加权平均。
- 这样做的效果：减少不同特征之间的相关性假设，防止病态或奇异。

3. SVD 降维的技巧

- 如果 $D > N$ ，直接求 $D \times D$ 的逆太大又可能奇异。
- 通过 SVD，把问题转到低维空间 Z 中去 (N 维)，在低维空间求逆更容易。
- 然后用矩阵 V 把结果映射回原空间。

4. 为什么不需要真的算整个 $\hat{\Sigma}_{map}$

- 分类时只需要 $\beta_c = \Sigma^{-1} \mu_c$ ，不需要整个矩阵。
- 所以可以先在低维空间求 $\tilde{\Sigma}_z^{-1} \mu_{z,c}$ ，再映射回去。

5. 优点

- 避免高维奇异问题。
 - 提高数值稳定性（防止过拟合）。
 - 保持 LDA 分类的速度优势。
-

如果你愿意，我可以帮你画一张**“高维 RDA 降维求逆的流程图”**，这样你能一眼看到它是怎么从 X 走到 Z ，再回到 β_c 的。这样理解会更清晰。

翻译并解释以下内容，翻译不能有遗漏，解释请基础且详尽，因为我的数学基础不太好。

4.2.7 Diagonal LDA

A simple alternative to RDA is to tie the covariance matrices, so $\Sigma_c = \Sigma$ as in LDA, and then to use a diagonal covariance matrix for each class. This is called the diagonal LDA model, and is equivalent to RDA with $\lambda = 1$. The corresponding discriminant function is as follows (compare to Equation 4.33):

$$\delta_c(x) = \log p(x, y = c | \theta) = -D \sum_{j=1}^D (x_j - \mu_{cj})^2 / 2\sigma_j^2 + \log \pi_c \quad (4.64)$$

Typically we set $\hat{\mu}_{cj} = \bar{x}_{cj}$ and $\hat{\sigma}_j^2 = s_j^2$, which is the pooled empirical variance of feature j (pooled across classes) defined by

$$s_j^2 = \frac{1}{C} \sum_{c=1}^C \sum_{i:y_i=c} (x_{ij} - \bar{x}_{cj})^2 / N - C \quad (4.65)$$

In high dimensional settings, this model can work much better than LDA and RDA (Bickel and Levina 2004).

好，我们先逐句翻译，然后再用基础且详尽的方式帮你解释 Diagonal LDA 这个模型的意义和优缺点。

翻译

4.2.7 对角 LDA (Diagonal LDA)

一种比 RDA 更简单的替代方法是：将各类别的协方差矩阵绑定在一起（即 $\Sigma_c = \Sigma$ ，和 LDA 一样），然后对每个类别都使用**对角协方差矩阵**。

这种方法叫做**对角 LDA 模型** (Diagonal LDA)，它等价于 RDA 中取 $\lambda = 1$ 的情况。

对应的判别函数如下（与公式 4.33 对比）：

$$\delta_c(x) = \log p(x, y = c | \theta) = -\sum_{j=1}^D \frac{(x_j - \mu_{cj})^2}{2\sigma_j^2} + \log \pi_c \quad (4.64)$$

通常我们设置：

$$\hat{\mu}_{cj} = x_{cj}$$

并且：

$$\hat{\sigma}_j^2 = s_j^2$$

其中 s_j^2 是第 j 个特征的**合并经验方差**（在所有类别之间合并计算），定义为：

$$s_j^2 = \frac{\sum_{c=1}^C \sum_{i:y_i=c} (x_{ij} - \bar{x}_{cj})^2}{N - C} \quad (4.65)$$

在高维场景下，这个模型可能比 LDA 和 RDA 的表现要好 (Bickel and Levina 2004)。

通俗详解

1. 背景

- LDA 要求所有类别共享同一个**完整的协方差矩阵** Σ ，这样特征之间的相关性被建模进来。
 - 但在高维数据里 (D 很大，样本数少)，完整的协方差矩阵容易奇异或病态，而且估计不准 \Rightarrow 导致过拟合。
 - RDA 试图解决这个问题，通过混合“完整协方差”和“对角协方差”来正则化。
-

2. 对角 LDA 的核心思想

- 直接假设 Σ 是对角矩阵 \Rightarrow 特征之间**条件独立**（在类别标签已知的情况下）。
- 这样协方差矩阵只剩下每个特征自己的方差 σ_j^2 ，不考虑特征之间的相关性。
- 等价于 RDA 中 $\lambda = 1$ （只保留对角线部分）。

优点：

- 估计参数更少（只有 D 个方差），所以高维小样本下更稳定。
- 不会出现矩阵奇异的问题（对角矩阵总是容易求逆）。

缺点：

- 忽略特征间的相关性，如果相关性很重要，可能降低分类效果。
-

3. 判别函数公式 (4.64) 的含义

- 第一项：

$$-\sum_{j=1}^D \frac{(x_j - \mu_{cj})^2}{2\sigma_j^2}$$

相当于把每个特征的差值 $(x_j - \mu_{cj})$ 按方差进行归一化，然后累加 \Rightarrow 就像多个一维高斯概率的对数和。

- 第二项：

$$\log \pi_c$$

是类别的先验概率（样本比例）。

- 整个公式就是：先看这个样本在每个特征上的匹配程度（归一化平方距离），再加上先验概率，选取最大的类别。
-

4. 合并经验方差公式 (4.65) 的解释

- x_{cj} ：类别 c 的第 j 个特征的均值。
- x_{ij} ：第 i 个样本的第 j 个特征值。
- 公式意思：
 1. 对每个类别 c ，计算该类别内第 j 个特征的方差。
 2. 把所有类别的方差加起来。
 3. 除以 $N - C$ （自由度调整，因为每个类别已经用了 1 个自由度估计均值）。

这个“合并”是为了让所有类别共享同一个 σ_j^2 ，这样模型参数更少，估计更稳。

5. 为什么高维下可能更好

- 高维数据中，完整协方差矩阵的参数数量是 $D(D + 1)/2$ ，对样本数要求极高。
 - 对角 LDA 的参数数量只有 D 个方差 + CD 个均值，所需样本量大幅减少。
 - 因此，在 D 大、 N 小的情况下，比 LDA / RDA 更不容易过拟合。
-

我可以帮你画一张**对角 LDA vs LDA 的示意图**，展示它们在二维空间下决策边界的不同，这样你能直观理解“忽略特征相关性”对边界形状的影响。你要我画吗？



翻译并解释以下内容，翻译不能有遗漏，解释请基础且详尽，因为我的数学基础不太好。

Figure 4.7 Error versus amount of shrinkage for nearest shrunken centroid classifier applied to the SRBCT gene expression data. Based on Figure 18.4 of (Hastie et al. 2009). Figure generated by shrunkenCentroidsSRBCTdemo.

Figure 4.8 Profile of the shrunken centroids corresponding to $\lambda = 4.4$ (CV optimal in Figure 4.7). This selects 39 genes. Based on Figure 18.4 of (Hastie et al. 2009). Figure generated by shrunkenCentroidsSRBCTdemo.

One drawback of diagonal LDA is that it depends on all of the features. In high dimensional problems, we might prefer a method that only depends on a subset of the features, for reasons of accuracy and interpretability. One approach is to use a screening method, perhaps based on mutual information, as in Section 3.5.4. We now discuss another approach to this problem known as the nearest shrunken centroids classifier (Hastie et al. 2009, p652). The basic idea is to perform MAP estimation for diagonal LDA with a sparsity-promoting (Laplace) prior (see Section 13.3). More precisely, define the class-specific feature mean, μ_{cj} , in terms of the class-independent feature mean, m_j , and a class-specific offset, Δ_{cj} . Thus we have

$$\mu_{cj} = m_j + \Delta_{cj} \quad (4.66)$$

We will then put a prior on the Δ_{cj} terms to encourage them to be strictly zero and compute a MAP estimate. If, for feature j , we find that $\Delta_{cj} = 0$ for all c , then feature j will play no role in the classification decision (since μ_{cj} will be independent of c). Thus features that are not discriminative are automatically ignored. The details can be found in (Hastie et al. 2009, p652) and (Greenshtein and Park 2009). See shrunkenCentroidsFit for some code.

Let us give an example of the method in action, based on (Hastie et al. 2009, p652). Consider the problem of classifying a gene expression dataset, which 2308 genes, 4 classes, 63 training samples and 20 test samples. Using a diagonal LDA classifier produces 5 errors on the test set. Using the nearest shrunken centroids classifier produced 0 errors on the test set, for a range of λ values: see Figure 4.7. More importantly, the model is sparse and hence more interpretable: Figure 4.8 plots an unpenalized estimate of the difference, dc_j , in gray, as well as the shrunken estimates Δc_j in blue. (These estimates are computed using the value of λ estimated by CV.) We see that only 39 genes are used, out of the original 2308. Now consider an even harder problem, with 16,603 genes, a training set of 144 patients, a test set of 54 patients, and 14 different types of cancer (Ramaswamy et al. 2001). Hastie et al. (Hastie et al. 2009, p656) report that nearest shrunken centroids produced 17 errors on the test set, using 6,520 genes, and that RDA (Section 4.2.6) produced 12 errors on the test set, using all 16,603 genes. The PMTK function `cancerHighDimClassifDemo` can be used to reproduce these numbers.

我先给你完整翻译原文，然后再用非常基础、易懂的方式给你解释。

原文翻译

图 4.7 最近收缩质心分类器 (nearest shrunken centroid classifier) 在 SRBCT 基因表达数据上的错误率与收缩量的关系。图基于 (Hastie et al., 2009) 第 18.4 图。该图由 `shrunkenCentroidsSRBCTdemo` 生成。

图 4.8 对应于 $\lambda = 4.4$ 的收缩质心的轮廓 (这个 λ 值在图 4.7 中是交叉验证的最优值)。这会选择出 39 个基因。图基于 (Hastie et al., 2009) 第 18.4 图。该图由 `shrunkenCentroidsSRBCTdemo` 生成。

对角 LDA (Diagonal LDA) 的一个缺点是它依赖于**所有特征**。在高维问题中，我们可能希望方法只依赖于一部分特征，原因有两个：

1. **准确性**: 去掉无用特征可以减少过拟合。
2. **可解释性**: 模型用的特征越少，越容易理解。

一种方法是用特征筛选 (screening) 的方法，比如基于互信息的方法（见第 3.5.4 节）。我们现在讨论另一种方法，叫做最近收缩质心分类器 (nearest shrunken centroids classifier, Hastie et al. 2009, p652)。

基本思想是：对角 LDA 做最大后验 (MAP) 估计，并使用一种鼓励稀疏的先验 (Laplace 先验，见 13.3 节)。更具体地，定义类别特定特征均值 μ_{cj} 为类别无关均值 m_j 加上类别特定偏移量 Δ_{cj} ：

$$\mu_{cj} = m_j + \Delta_{cj} \quad (4.66)$$

然后我们对 Δ_{cj} 加先验，让它们尽量变成严格的零，并计算 MAP 估计。

- 如果对于某个特征 j , Δ_{cj} 对所有 c 都是 0，那么 μ_{cj} 就和 c 无关，这个特征 j 在分类决策中就完全不起作用（自动被忽略）。
- 因此，不具有判别力的特征会被自动丢弃。

具体细节见 (Hastie et al., 2009, p652) 和 (Greenshtein and Park, 2009)。代码可以参考 `shrunkenCentroidsFit`。

下面给一个例子（来自 Hastie et al., 2009, p652）：

- 数据：基因表达数据集，有 2308 个基因、4 个类别、63 个训练样本、20 个测试样本。
- 用对角 LDA 分类器：测试集上有 5 个错误。
- 用最近收缩质心分类器：测试集 0 错误 (λ 在一段范围内都行，见图 4.7)。
- 更重要的是，模型是稀疏的且可解释性更好：图 4.8 中灰色表示无惩罚的估计 d_{cj} ，蓝色表示收缩后的估计 Δ_{cj} (λ 用交叉验证得到)。可以看到，最终只用了 39 个基因（从原来的 2308 个中选出）。

再看一个更难的问题：

- 数据：16603 个基因、训练集 144 个病人、测试集 54 个病人、14 种不同癌症类型 (Ramaswamy et al., 2001)。
- 结果：最近收缩质心分类器在测试集上错了 17 个，使用了 6520 个基因；RDA（见 4.2.6 节）在测试集上错了 12 个，但用了全部 16603 个基因。
- PMTK 的 `cancerHighDimClassifDemo` 可以复现这些数字。

基础详解（通俗版）

1. 问题背景

- 在高维数据（比如几千个基因的表达量）中，不可能所有特征都对分类有帮助。

- 如果用所有特征，模型不仅更复杂，还容易过拟合，而且很难解释模型为什么这么分类。

2. 传统对角 LDA 的问题

- 对角 LDA 假设特征之间独立，然后估计每个类别在每个特征上的均值 μ_{cj} 和方差。
- 但它仍然会用到全部特征，不管某个特征有用没用。

3. 最近收缩质心分类器的想法

- 每个特征的类别均值 μ_{cj} 可以拆成“全局均值” m_j + “类别差异” Δ_{cj} 。
- 如果某个特征在不同类别里的 Δ_{cj} 都接近 0，那说明它对分类没贡献，可以直接忽略。
- 用一个“拉普拉斯先验”让 Δ_{cj} 向 0 收缩（数学里这叫稀疏化）。

4. 好处

- 自动挑选出最有区分度的特征（比如原来 2308 个基因，只保留 39 个）。
- 更少的特征意味着模型**更稳、更快、更容易解释**。

5. 例子结果

- 数据：2308 基因，4 类，63 个训练样本，20 个测试样本。
- 对角 LDA：测试错 5 个。
- 最近收缩质心：测试 0 错，且只用了 39 个基因。
- 更大数据集：16603 基因、14 类癌症，RDA 错 12 个但用了全部基因，收缩质心错 17 个但只用 6520 个基因。

如果你愿意，我可以帮你画一张**直观图**，让你一眼看懂“ $\mu_{cj} = m_j + \Delta_{cj}$ ”以及收缩 Δ_{cj} 的效果，这样会更形象。

你要我画吗？

翻译并解释以下内容，翻译不能有遗漏，解释请基础且详尽，因为我的数学基础不太好。

4.3 Inference in jointly Gaussian distributions

Given a joint distribution, $p(x_1, x_2)$, it is useful to be able

to compute marginals $p(x_1)$ and conditionals $p(x_1|x_2)$. We discuss how to do this below, and then give some applications. These operations take $O(D^3)$ time in the worst case. See Section 20.4.3 for faster methods.

4.3.1 Statement of the result

Theorem 4.3.1 (Marginals and conditionals of an MVN). Suppose $x = (x_1, x_2)$ is jointly Gaussian with parameters $\mu = \mu_1 \mu_2$, $\Sigma = \Sigma_{11} \Sigma_{12} \Sigma_{21} \Sigma_{22}$, $\Lambda = \Sigma^{-1} = \Lambda_{11} \Lambda_{12} \Lambda_{21} \Lambda_{22}$ (4.67)

Then the marginals are given by

$$p(x_1) = N(x_1 | \mu_1, \Sigma_{11}), \quad p(x_2) = N(x_2 | \mu_2, \Sigma_{22}) \quad (4.68)$$

and the posterior conditional is given by

$$\begin{aligned} p(x_1|x_2) &= N(x_1 | \mu_1|_2, \Sigma_{12}|_2) \quad \mu_1|_2 = \mu_1 + \Sigma_{12}\Sigma_{22}^{-1}(x_2 - \mu_2) \\ &= \mu_1 - \Lambda_{11}^{-1} \Lambda_{12}(x_2 - \mu_2) = \Sigma_{12}|_2 (\Lambda_{11}\mu_1 - \Lambda_{12}(x_2 - \mu_2)) \\ \Sigma_{12}|_2 &= \Sigma_{11} - \Sigma_{12}\Sigma_{22}^{-1}\Sigma_{21} = \Lambda_{11}^{-1} \quad (4.69) \end{aligned}$$

Equation 4.69 is of such crucial importance in this book that we have put a box around it, so you can easily find it. For the proof, see Section 4.3.4. We see that both the marginal and conditional distributions are themselves Gaussian. For the marginals, we just extract the rows and columns corresponding to x_1 or x_2 . For the conditional, we have to do a bit more work. However, it is not that complicated: the conditional mean is just a linear function of x_2 , and the conditional covariance is just a constant matrix that is independent of x_2 . We give three different (but equivalent) expressions for the posterior mean, and two different (but equivalent) expressions for the posterior covariance; each one is useful in different circumstances.

好，我先帮你把原文逐句翻译，然后再用基础、详细的方式给你解释。

原文翻译

4.3 联合高斯分布中的推断

给定一个联合分布 $p(x_1, x_2)$ ，能够计算边缘分布 $p(x_1)$ 和条件分布 $p(x_1|x_2)$ 是很有用的。下面我们会讨论如何做这件事，并给出一些应用。

在最坏情况下，这些运算的时间复杂度是 $O(D^3)$ 。更快的方法见 20.4.3 节。

4.3.1 结果陈述

定理 4.3.1 (多元高斯的边缘与条件)

假设 $x = (x_1, x_2)$ 是一个联合高斯 (jointly Gaussian) 随机变量，其参数为：

$$\mu = \begin{bmatrix} \mu_1 \\ \mu_2 \end{bmatrix}, \quad \Sigma = \begin{bmatrix} \Sigma_{11} & \Sigma_{12} \\ \Sigma_{21} & \Sigma_{22} \end{bmatrix}, \quad \Lambda = \Sigma^{-1} = \begin{bmatrix} \Lambda_{11} & \Lambda_{12} \\ \Lambda_{21} & \Lambda_{22} \end{bmatrix}$$

(公式 4.67)

那么边缘分布为：

$$p(x_1) = N(x_1 | \mu_1, \Sigma_{11}), \quad p(x_2) = N(x_2 | \mu_2, \Sigma_{22})$$

(公式 4.68)

后验条件分布为：

$$p(x_1 | x_2) = N(x_1 | \mu_{1|2}, \Sigma_{1|2})$$

$$\begin{aligned} \mu_{1|2} &= \mu_1 + \Sigma_{12}\Sigma_{22}^{-1}(x_2 - \mu_2) = \mu_1 - \Lambda_{11}^{-1}\Lambda_{12}(x_2 - \mu_2) = \Sigma_{1|2}(\Lambda_{11}\mu_1 - \Lambda_{12}(x_2 - \mu_2)) \\ \Sigma_{1|2} &= \Sigma_{11} - \Sigma_{12}\Sigma_{22}^{-1}\Sigma_{21} = \Lambda_{11}^{-1} \end{aligned}$$

(公式 4.69)

公式 4.69 在本书中极其重要，所以我们特别画了一个框把它标出来，方便查找。

证明见 4.3.4 节。

我们可以看到，边缘分布和条件分布本身仍然是高斯分布。

- 对于边缘分布，只需要取出协方差矩阵中对应 x_1 或 x_2 的行和列即可。
- 对于条件分布，需要多做一些运算。但并不复杂：条件均值只是 x_2 的一个线性函数，而条件协方差是一个与 x_2 无关的常量矩阵。
- 我们给出了后验均值的三种等价形式，以及后验协方差的两种等价形式；不同情况各有用途。

基础详解 (适合数学基础不强的理解)**1. 联合高斯的意思**

- “联合高斯”就是把多个变量放在一起看，它们的联合分布是一个多元正态分布 (MVN)。
- 比如 x_1 和 x_2 可以是不同的特征向量，它们可能有关联。

2. 协方差矩阵分块

- 协方差矩阵 Σ 被分成四块：
 - Σ_{11} : x_1 和 x_1 自己的协方差
 - Σ_{22} : x_2 和 x_2 自己的协方差
 - Σ_{12} : x_1 与 x_2 的协方差
 - Σ_{21} : x_2 与 x_1 的协方差 (等于 Σ_{12}^T)

3. 边缘分布

- 边缘分布就是“只看一部分变量，忽略其他变量的影响”。
- 在高斯分布中，直接从协方差矩阵 Σ 取对应的那一块，就是边缘分布的协方差。

4. 条件分布

- 条件分布 $p(x_1|x_2)$ 表示“已知 x_2 的值， x_1 的分布是什么”。
- 在多元高斯中，条件分布仍然是高斯。
- 它的均值是“原始均值 + 与 x_2 的偏差成正比的修正”，所以是一个线性函数。
- 它的协方差是不依赖于 x_2 的常量，计算公式是“原协方差减去一个修正项”或者直接用精度矩阵 ($\Lambda = \Sigma^{-1}$) 的子矩阵求逆得到。

5. 三个均值公式、两个协方差公式

- 三个均值公式只是换了不同的计算方法，有时直接用协方差矩阵更方便，有时用精度矩阵更快。
- 两个协方差公式也一样：
 - 一个用协方差矩阵分块做矩阵运算。
 - 一个用精度矩阵直接取子块求逆。

6. 为什么重要

- 公式 (4.69) 是多元高斯最常用的推断工具，能快速从联合分布得到边缘和条件分布。
- 在回归、卡尔曼滤波、图模型推断等很多领域都会用到。

如果你愿意，我可以帮你画一张图解，形象地展示从联合分布的 Σ 分块到条件分布的计算过程，这样公式 4.69 会一下变得非常直观。

你需要我画这张图吗？



已上传的图片

翻译并解释以下内容，翻译不能有遗漏，解释请基础且详尽，因为我的数学基础不太好。

Figure 4.9 (a) A joint Gaussian distribution $p(x_1, x_2)$ with a correlation coefficient of 0.8. We plot the 95% contour and the principal axes. (b) The unconditional marginal $p(x_1)$. (c) The conditional $p(x_1|x_2) = N(x_1|0.8, 0.36)$, obtained by slicing (a) at height $x_2 = 1$. Figure generated by gaussCondition2Ddemo2.

4.3.2 Examples

Below we give some examples of these equations in action, which will make them seem more intuitive.

4.3.2.1 Marginals and conditionals of a 2d Gaussian

Let us consider a 2d example. The covariance matrix is
 $\Sigma = \begin{pmatrix} \sigma_1^2 & \rho\sigma_1\sigma_2 \\ \rho\sigma_1\sigma_2 & \sigma_2^2 \end{pmatrix}$ (4.70)

The marginal $p(x_1)$ is a 1D Gaussian, obtained by projecting the joint distribution onto the x_1 line:

$$p(x_1) = N(x_1|\mu_1, \sigma_1^2) \quad (4.71)$$

Suppose we observe $X_2 = x_2$; the conditional $p(x_1|x_2)$ is obtained by "slicing" the joint distribution through the $X_2 = x_2$ line (see Figure 4.9):

$$p(x_1|x_2) = N(x_1|\mu_1 + \rho\sigma_1\sigma_2 \frac{x_2 - \mu_2}{\sigma_2}, \sigma_1^2(1 - \rho^2)) \quad (4.72)$$

If $\sigma_1 = \sigma_2 = \sigma$, we get

$$p(x_1|x_2) = N(x_1|\mu_1 + \rho(x_2 - \mu_2), \sigma^2(1 - \rho^2)) \quad (4.73)$$

In Figure 4.9 we show an example where $\rho = 0.8$, $\sigma_1 = \sigma_2 = 1$, $\mu = 0$ and $x_2 = 1$. We see that $E[x_1|x_2 = 1] = 0.8$, which makes sense, since $\rho = 0.8$ means that we believe that if x_2 increases by 1 (beyond its mean), then x_1 increases by 0.8.

We also see $\text{var}[x_1|x_2 = 1] = 1 - 0.8^2 = 0.36$. This also makes sense: our uncertainty about x_1 has gone down, since we have learned something about x_1 (indirectly) by observing x_2 . If $\rho = 0$, we get $p(x_1|x_2) = N(x_1|\mu_1, \sigma_1^2)$, since

x2 conveys no information about x1 if they are uncorrelated (and hence independent).

好，我先帮你完整翻译原文，然后用非常基础的方式解释图和公式，让你直观理解。

原文翻译

图 4.9

- (a) 一个相关系数为 0.8 的二维联合高斯分布 $p(x_1, x_2)$ 。我们画出了 95% 的等高线和主轴。
- (b) 无条件边缘分布 $p(x_1)$ 。
- (c) 条件分布 $p(x_1|x_2) = N(x_1|0.8, 0.36)$, 通过在 (a) 中 $x_2 = 1$ 处“切片”得到。

图由 `gaussCondition2Ddemo2` 生成。

4.3.2 示例

下面给出一些这些公式的应用示例，让它们更直观。

4.3.2.1 二维高斯的边缘与条件

我们考虑一个二维的例子。协方差矩阵是：

$$\Sigma = \begin{bmatrix} \sigma_1^2 & \rho\sigma_1\sigma_2 \\ \rho\sigma_1\sigma_2 & \sigma_2^2 \end{bmatrix}$$

(公式 4.70)

边缘分布 $p(x_1)$ 是一个一维高斯，可以通过把联合分布投影到 x_1 轴上得到：

$$p(x_1) = N(x_1|\mu_1, \sigma_1^2)$$

(公式 4.71)

假设我们观察到 $X_2 = x_2$ ，条件分布 $p(x_1|x_2)$ 可以通过在联合分布上沿着 $X_2 = x_2$ 的线“切片”得到（见图 4.9）：

$$p(x_1|x_2) = N(x_1 | \mu_1 + \frac{\rho\sigma_1}{\sigma_2}(x_2 - \mu_2), \sigma_1^2 - \frac{(\rho\sigma_1\sigma_2)^2}{\sigma_2^2})$$

(公式 4.72)

如果 $\sigma_1 = \sigma_2 = \sigma$, 那么：

$$p(x_1|x_2) = N(x_1 | \mu_1 + \rho(x_2 - \mu_2), \sigma^2(1 - \rho^2))$$

(公式 4.73)

在图 4.9 中，我们给出了一个示例：

- $\rho = 0.8$ 、 $\sigma_1 = \sigma_2 = 1$ 、 $\mu = 0$ 、 $x_2 = 1$ 。
 - 可以看到 $E[x_1|x_2 = 1] = 0.8$ ，这很合理，因为 $\rho = 0.8$ 表示：如果 x_2 比均值增加 1，那么我们预计 x_1 会增加 0.8。
 - 还可以看到 $\text{var}[x_1|x_2 = 1] = 1 - 0.8^2 = 0.36$ 。这也合理，因为我们观察到 x_2 后，间接获得了关于 x_1 的信息，使得对 x_1 的不确定性减少了。
 - 如果 $\rho = 0$ ，我们得到 $p(x_1|x_2) = N(x_1 | \mu_1, \sigma_1^2)$ ，因为当它们不相关时， x_2 不会提供关于 x_1 的任何信息（它们是独立的）。
-

基础详解

1. 图 (a):

- 黑色椭圆是二维高斯的等高线（95% 置信区间）。
- 相关系数 $\rho = 0.8$ 表示 x_1 和 x_2 之间强正相关，所以椭圆是倾斜的（不是圆）。
- 红色横线表示固定 $x_2 = 1$ 的“切片”，我们关心的是这个横线和椭圆的交集在 x_1 方向上的分布。

2. 图 (b):

- 这是边缘分布 $p(x_1)$ ，即只看 x_1 ，不管 x_2 。
- 它是一个标准高斯曲线，中心在 $\mu_1 = 0$ ，方差为 $\sigma_1^2 = 1$ 。

3. 图 (c):

- 这是条件分布 $p(x_1|x_2 = 1)$ 。
- 因为 $\rho = 0.8$ ，当 x_2 比均值多 1 时， x_1 的期望值也比均值多 0.8，所以曲线中心是 0.8。
- 方差缩小到 0.36（曲线更窄），因为知道了 x_2 以后，我们对 x_1 的不确定性减少了。

4. “投影” vs “切片”

- 边缘分布是把二维分布在一个方向上压扁（投影）。
- 条件分布是沿着某个固定值切一刀（切片），看切面上的分布。

5. 相关性的作用

- 如果 ρ 大（接近 1 或 -1），知道 x_2 的值就能大大减少对 x_1 的不确定性。

- 如果 $\rho = 0$, 知道 x_2 完全没帮助, 条件分布和边缘分布一模一样。

如果你愿意, 我可以帮你画一个**动态图示**, 展示从 (a) 的椭圆到 (b) 投影、再到 (c) 切片的过程, 这样你就能直观理解边缘分布和条件分布的区别。

你要我帮你画吗?

(公式 4.72)怎么得到的

好, 这个公式 4.72 的推导其实是 **二维高斯的条件分布公式** 的一个具体版本, 我们可以从 **多元高斯的条件分布定理** 直接得到。

我先一步一步带你走过程。

1 从二维高斯开始

假设 (x_1, x_2) 服从二维高斯分布:

$$\begin{bmatrix} x_1 \\ x_2 \end{bmatrix} \sim N \left(\begin{bmatrix} \mu_1 \\ \mu_2 \end{bmatrix}, \Sigma \right)$$

协方差矩阵给的是 (公式 4.70) :

$$\Sigma = \begin{bmatrix} \sigma_1^2 & \rho\sigma_1\sigma_2 \\ \rho\sigma_1\sigma_2 & \sigma_2^2 \end{bmatrix}$$

其中:

- σ_1^2 是 x_1 的方差
- σ_2^2 是 x_2 的方差
- ρ 是相关系数 ($-1 \leq \rho \leq 1$)

2 用多元高斯条件分布公式

在多元高斯中, 条件分布 $p(x_1|x_2)$ 仍然是高斯分布, 其**均值**和**方差**由下面公式给出 (你在 4.3.1 的公式 4.69 也见过) :

$$\mu_{1|2} = \mu_1 + \Sigma_{12}\Sigma_{22}^{-1}(x_2 - \mu_2)$$

$$\Sigma_{1|2} = \Sigma_{11} - \Sigma_{12}\Sigma_{22}^{-1}\Sigma_{21}$$

3 代入二维情形的 Σ

在二维情况下：

- $\Sigma_{11} = \sigma_1^2$ (标量)
- $\Sigma_{22} = \sigma_2^2$ (标量)
- $\Sigma_{12} = \rho\sigma_1\sigma_2$ (标量)
- $\Sigma_{21} = \rho\sigma_1\sigma_2$ (标量)

4 先算条件均值

$$\mu_{1|2} = \mu_1 + \frac{\Sigma_{12}}{\Sigma_{22}}(x_2 - \mu_2)$$

代入：

$$\mu_{1|2} = \mu_1 + \frac{\rho\sigma_1\sigma_2}{\sigma_2^2}(x_2 - \mu_2)$$

整理：

$$\mu_{1|2} = \mu_1 + \frac{\rho\sigma_1}{\sigma_2}(x_2 - \mu_2)$$

这就是 4.72 公式中的均值部分。

5 再算条件方差

$$\Sigma_{1|2} = \sigma_1^2 - \frac{(\rho\sigma_1\sigma_2)^2}{\sigma_2^2}$$

化简：

$$\Sigma_{1|2} = \sigma_1^2 - \rho^2\sigma_1^2$$

$$\Sigma_{1|2} = \sigma_1^2(1 - \rho^2)$$

这就是 4.72 中的方差部分（注意 4.72 写的是另一种等价形式，没有提取公因式）。

6 得到完整条件分布

$$p(x_1|x_2) = N \left(x_1 \mid \mu_1 + \frac{\rho\sigma_1}{\sigma_2}(x_2 - \mu_2), \sigma_1^2 - \frac{(\rho\sigma_1\sigma_2)^2}{\sigma_2^2} \right)$$

这就是书上的公式 4.72。

7 直观理解

- **均值项** $\mu_1 + \frac{\rho\sigma_1}{\sigma_2}(x_2 - \mu_2)$

表示 x_2 偏离均值多少，就会带动 x_1 按比例 $\frac{\rho\sigma_1}{\sigma_2}$ 变化。

如果 $\rho > 0$, x_2 大, x_1 也会变大；如果 $\rho < 0$, x_2 大, x_1 会变小。

- **方差项** $\sigma_1^2(1 - \rho^2)$

当 $|\rho|$ 接近 1 时，方差趋近 0，说明 x_1 被 x_2 几乎完全确定。

当 $\rho = 0$ 时，方差就是 σ_1^2 ，说明 x_2 对 x_1 没帮助。

如果你愿意，我可以帮你画一个**动画或动态图**，展示 ρ 从 0 到 1 时，条件分布方差如何收缩，这样你会更直观地看到公式 4.72 的意义。

你要我画吗？



已上传的图片

翻译并解释以下内容，翻译不能有遗漏，解释请基础且详尽，因为我的数学基础不太好。

Figure 4.10 Interpolating noise-free data using a Gaussian with prior precision λ . (a) $\lambda = 30$. (b) $\lambda = 0.01$. See also Figure 4.15. Based on Figure 7.1 of (Calvetti and Somersalo 2007). Figure generated by gaussInterpDemo.

4.3.2.2 Interpolating noise-free data

Suppose we want to estimate a 1d function, defined on the interval $[0, T]$, such that $y_i = f(t_i)$ for N observed points

ti. We assume for now that the data is noise-free, so we want to interpolate it, that is, fit a function that goes exactly through the data. (See Section 4.4.2.3 for the noisy data case.) The question is: how does the function behave in between the observed data points? It is often reasonable to assume that the unknown function is smooth. In Chapter 15, we shall see how to encode priors over functions, and how to update such a prior with observed values to get a posterior over functions. But in this section, we take a simpler approach, which is adequate for MAP estimation of functions defined on 1d inputs. We follow the presentation of (Calvetti and Somersalo 2007, p135). We start by discretizing the problem. First we divide the support of the function into D equal subintervals. We then define

$$x_j = f(s_j), s_j = jh, h = T/D, 1 \leq j \leq D \quad (4.74)$$

We can encode our smoothness prior by assuming that x_j is an average of its neighbors, x_{j-1} and x_{j+1} , plus some Gaussian noise:

$$x_j = 1/2(x_{j-1} + x_{j+1}) + \epsilon_j, 2 \leq j \leq D-2 \quad (4.75)$$

where $\epsilon_j \sim N(0, (1/\lambda)I)$. The precision term λ controls how much we think the function will vary: a large λ corresponds to a belief that the function is very smooth, a small λ corresponds to a belief that the function is quite "wiggly". In vector form, the above equation can be written as follows:

$$Lx = (4.76)$$

where L is the $(D-2) \times D$ second order finite difference matrix

$$L = 1/2 \begin{pmatrix} & & & & -12 & -1 & -12 & -1 & \dots & -12 & -1 \end{pmatrix} \begin{pmatrix} & & & & & & & & & & & \end{pmatrix}^T \quad (4.77)$$

The corresponding prior has the form

$$p(x) = N(x|0, (\lambda^2 L^T L)^{-1}) \propto \exp(-\lambda^2/2 \|Lx\|^2/2) \quad (4.78)$$

We will henceforth assume we have scaled L by λ so we can ignore the λ term, and just write $\Lambda = L^T L$ for the precision matrix.

Note that although x is D -dimensional, the precision matrix Λ only has rank $D-2$. Thus this is an improper prior, known as an intrinsic Gaussian random field (see Section 19.4.4 for more information). However, providing we observe $N \geq 2$ data points, the posterior will be proper. Now let x_2 be the N noise-free observations of the function, and x_1 be the $D-N$ unknown function values. Without loss of generality, assume that the

unknown variables are ordered first, then the known variables. Then we can partition the L matrix as follows:

$$L = [L_1, L_2], L_1 \in R(D-2) \times (D-N), L_2 \in R(D-2) \times (N) \quad (4.79)$$

We can also partition the precision matrix of the joint distribution:

$$\Lambda = LTL = \Lambda_{11} \Lambda_{12} \Lambda_{21} \Lambda_{22} = LT_1 L_1 LT_1 L_2 LT_2 L_1 LT_2 L_2 \quad (4.80)$$

Using Equation 4.69, we can write the conditional distribution as follows:

$$p(x_1|x_2) = N(\mu_1|2, \Sigma_1|2) \quad (4.81)$$

$$\mu_1|2 = -\Lambda_{-1}^{-1} \Lambda_{11} \Lambda_{12} x_2 = -LT_1 L_2 x_2 \quad (4.82)$$

$$\Sigma_1|2 = \Lambda_{-1}^{-1} \Lambda_{11} \quad (4.83)$$

Note that we can compute the mean by solving the following system of linear equations:

$$L_1 \mu_1|2 = -L_2 x_2 \quad (4.84)$$

This is efficient since L_1 is tridiagonal. Figure 4.10 gives an illustration of these equations. We see that the posterior mean $\mu_1|2$ equals the observed data at the specified points, and smoothly interpolates in between, as desired. It is also interesting to plot the 95% pointwise marginal credibility intervals, $\mu_j \pm 2 \Sigma_1|2,jj$, shown in grey. We see that the variance goes up as we move away from the data. We also see that the variance goes up as we decrease the precision of the prior, λ . Interestingly, λ has no effect on the posterior mean, since it cancels out when multiplying Λ_{11} and Λ_{12} . By contrast, when we consider noisy data in Section 4.4.2.3, we will see that the prior precision affects the smoothness of posterior mean estimate. The marginal credibility intervals do not capture the fact that neighboring locations are correlated. We can represent that by drawing complete functions (i.e., vectors x) from the posterior, and plotting them. These are shown by the thin lines in Figure 4.10. These are not quite as smooth as the posterior mean itself. This is because the prior only penalizes first-order differences. See Section 4.4.2.3 for further discussion of this point.

好的，我们先来完整翻译原文，然后再用比较基础的方式帮你解释它（尤其是图 4.10 里的 λ 对结果的影响）。

原文翻译

图 4.10 用高斯先验精度参数 λ 来插值无噪声数据的例子。

(a) $\lambda = 30$ 。

(b) $\lambda = 0.01$ 。

参见图 4.15。本图基于 (Calvetti and Somersalo 2007) 图 7.1 绘制，由 `gaussInterpDemo` 生成。

4.3.2.2 插值无噪声数据

假设我们要估计一个定义在区间 $[0, T]$ 上的一维函数，使得在 N 个观测点 t_i 上有 $y_i = f(t_i)$ 。

这里假设数据是无噪声的，因此我们希望**插值** (interpolate)，即拟合一个恰好穿过这些观测点的函数。（有噪声数据的情况见第 4.4.2.3 节。）

问题是：在已知数据点之间，这个函数应该如何变化？

通常我们会假设未知函数是平滑的 (smooth)。

在第 15 章我们会看到如何对函数设置先验分布，以及如何用观测值更新先验从而得到函数的后验分布。但在这里，我们采用一个更简单的方法，这个方法对于定义在一维输入上的函数的 MAP (最大后验) 估计已经足够。

我们遵循 (Calvetti and Somersalo 2007, p135) 的推导。

第一步：离散化问题

将函数的定义域划分为 D 个等长子区间，然后定义：

$$x_j = f(s_j), \quad s_j = jh, \quad h = \frac{T}{D}, \quad 1 \leq j \leq D$$

(公式 4.74)

第二步：编码平滑性先验

我们假设 x_j 是它的邻居 x_{j-1} 和 x_{j+1} 的平均值，再加上一些高斯噪声：

$$x_j = \frac{1}{2}(x_{j-1} + x_{j+1}) + \epsilon_j, \quad 2 \leq j \leq D - 2$$

$$\epsilon_j \sim N(0, \frac{1}{\lambda} I)$$

(公式 4.75)

参数 λ 控制我们对函数变化程度的先验信念：

- λ 大 \rightarrow 认为函数非常平滑
 - λ 小 \rightarrow 认为函数可能非常“抖动” (wiggly)
-

第三步：矩阵形式

上述公式可以写成：

$$Lx = \epsilon$$

其中 L 是一个 $(D - 2) \times D$ 的**二阶有限差分矩阵** (公式 4.77)，用于表示“二阶变化”：

$$L = \frac{1}{2} \begin{pmatrix} -1 & 2 & -1 & 0 & \dots & 0 \\ 0 & -1 & 2 & -1 & \dots & 0 \\ \vdots & & & & \ddots & \vdots \\ 0 & \dots & -1 & 2 & -1 & \end{pmatrix}$$

第四步：先验分布

该平滑性假设对应的先验是：

$$p(x) = N(x | 0, (\lambda^2 L^T L)^{-1}) \propto \exp\left(-\frac{\lambda^2}{2} \|Lx\|_2^2\right)$$

(公式 4.78)

为了简化，假设 L 已经乘上 λ ，这样可以忽略 λ ，把精度矩阵写为：

$$\Lambda = L^T L$$

注意：虽然 x 是 D 维的，但 Λ 的秩只有 $D - 2$ ，因此这是一个**非正规先验** (improper prior)，也称为**内在高斯随机场** (intrinsic Gaussian random field，见 19.4.4 节)。不过，只要我们观测到 $N \geq 2$ 个数据点，后验分布就是正规的 (proper)。

第五步：已知与未知分量的划分

令 x_2 为观测到的 N 个无噪声函数值， x_1 为 $D - N$ 个未知函数值。

假设未知值在前，已知值在后，则可将 L 矩阵分块：

$$L = [L_1, L_2], \quad L_1 \in \mathbb{R}^{(D-2) \times (D-N)}, \quad L_2 \in \mathbb{R}^{(D-2) \times N}$$

(公式 4.79)

精度矩阵也可分块：

$$\Lambda = \begin{pmatrix} \Lambda_{11} & \Lambda_{12} \\ \Lambda_{21} & \Lambda_{22} \end{pmatrix} = \begin{pmatrix} L_1^T L_1 & L_1^T L_2 \\ L_2^T L_1 & L_2^T L_2 \end{pmatrix}$$

(公式 4.80)

第六步：利用条件高斯公式 (公式 4.69)

$$p(x_1 \mid x_2) = N(\mu_{1|2}, \Sigma_{1|2})$$

$$\mu_{1|2} = -\Lambda_{11}^{-1} \Lambda_{12} x_2 = -(L_1^T L_1)^{-1} L_1^T L_2 x_2$$

(公式 4.82)

$$\Sigma_{1|2} = \Lambda_{11}^{-1}$$

(公式 4.83)

均值可以通过解下面的线性方程得到：

$$L_1 \mu_{1|2} = -L_2 x_2$$

(公式 4.84)

由于 L_1 是三对角矩阵，所以计算很高效。

第七步：结果解读 (对应图 4.10)

- 后验均值 $\mu_{1|2}$ 在观测点处与数据完全一致，并在中间平滑插值。
- 灰色带表示 95% 逐点边际置信区间 $\mu_j \pm 2\sqrt{\Sigma_{1|2,jj}}$
 - 离观测点越远，不确定性越大（灰色带变宽）
 - λ 越小（先验精度越低），不确定性越大
- 这里 λ 对均值没有影响，因为它在 Λ_{11} 与 Λ_{12} 的相乘中抵消了
- 如果考虑有噪声数据 (4.4.2.3 节)， λ 会影响均值的平滑度
- 灰色带只是逐点方差，不体现邻近位置的相关性
为了可视化相关性，可以直接从后验采样完整函数曲线（细黑线），它们比均值更“抖动”，因为先验只惩罚二阶差分而非更高阶光滑性

图 4.10 解读

- (a) $\lambda=30$:
平滑性很强，函数在观测点之间的波动非常小，灰色不确定性带很窄
- (b) $\lambda=0.01$:
先验几乎不约束平滑性，允许更大的变化，灰色不确定性带变宽很多，样本曲线（细线）抖动很大

如果你愿意，我可以帮你画一个**交互式可视化**，动态改变 λ ，看均值曲线和不确定性区间是怎么变化的，这样会更直观理解 λ 在这个插值模型里的作用。

你要我帮你画吗？



已上传的图片

翻译并解释以下内容，翻译不能有遗漏，解释请基础且详尽，因为我的数学基础不太好。

Figure 4.11 Illustration of data imputation. Left column: visualization of three rows of the data matrix with missing entries. Middle column: mean of the posterior predictive, based on partially observed data in that row, but the true model parameters. Right column: true values. Figure generated by gaussImputationDemo.

4.3.2.3 Data imputation

Suppose we are missing some entries in a design matrix. If the columns are correlated, we can use the observed entries to predict the missing entries. Figure 4.11 shows a simple example. We sampled some data from a 20 dimensional Gaussian, and then deliberately “hid” 50% of the data in each row. We then inferred the missing entries given the observed entries, using the true (generating) model. More precisely, for each row i , we compute $p(x_{hi} | x_{vi}, \theta)$, where hi and vi are the indices of the hidden and visible entries in case i . From this, we compute the

marginal distribution of each missing variable, $p(x_{hj} | x_{vi}, \theta)$. We then plot the mean of this distribution, $\hat{x}_{ij} = E[x_{hj} | x_{vi}, \theta]$; this represents our “best guess” about the true value of that entry, in the sense that it minimizes our expected squared error (see Section 5.7 for details). Figure 4.11 shows that the estimates are quite close to the truth. (Of course, if $j \in v_i$, the expected value is equal to the observed value, $\hat{x}_{ij} = x_{ij}$.) We can use $\text{var } x_{hj} | x_{vi}, \theta$ as a measure of confidence in this guess, although this is not shown. Alternatively, we could draw multiple samples from $p(x_{hj} | x_{vi}, \theta)$; this is called multiple imputation. In addition to imputing the missing entries, we may be interested in computing the likelihood of each partially observed row in the table, $p(x_{vi} | \theta)$, which can be computed using Equation 4.68. This is useful for detecting outliers (atypical observations).

好的！我先逐句完整翻译，然后再用基础、直观的方式解释“在多元高斯里如何用观测到的列去推断缺失的列（插补/imputation）”。

翻译（无遗漏）

图 4.11 数据插补示意。左列：带缺失项的数据矩阵中的三行的可视化。中列：基于该行“部分可观测的数据”和**真实模型参数**得到的**后验预测分布的均值**。右列：真实值。图由 `gaussImputationDemo` 生成。

4.3.2.3 数据插补

假设设计矩阵 (design matrix) 里有一些条目缺失。如果各列之间是**相关的**，我们就可以用**已观测到的条目**来预测**缺失的条目**。图 4.11 给出了一个简单例子。我们先从一个 20 维**高斯分布**中采样出一些数据，然后刻意把每一行里的 50% 的**数据“遮蔽”**。接着，在已知观测条目的前提下、使用**真实（生成用的）模型**来**推断缺失条目**。

更具体地，对每一行 i ，我们计算 $p(x_{h_i} | x_{v_i}, \theta)$ ，其中 h_i 和 v_i 分别是该行中**缺失**和**可见**条目的索引。由此我们可以得到每个缺失变量的边缘分布 $p(x_{h_j} | x_{v_i}, \theta)$ 。然后我们作图展示该分布的**均值**：

$$\hat{x}_{ij} = E[x_j | x_{v_i}, \theta];$$

它是我们对该缺失值“**最优猜测**”，意义是它**最小化期望平方误差**（细节见第 5.7 节）。图 4.11 显示这些估计与真实值非常接近。（当然，若 $j \in v_i$ ，则期望值等于观测值，即

$$\hat{x}_{ij} = x_{ij} \circ)$$

我们可以用 $\text{var}(x_{h_j} | x_{v_i}, \theta)$ 来度量这个猜测的置信度，尽管图中未显示。另一种做法是从 $p(x_{h_i} | x_{v_i}, \theta)$ 中抽多次样本；这称为多重插补（multiple imputation）。除了填补缺失条目，我们还可能关心表中每一行（部分观测）的似然 $p(x_{v_i} | \theta)$ ，它可以用公式 (4.68) 计算。这对于识别离群点（非典型观测）很有用。

通俗解释（一步步来）

1) 场景

- 你有一张数据表（每行是一个样本、每列是一个特征），但有一半格子空着。
- 假设整行向量服从多元高斯 $N(\mu, \Sigma)$ ；列之间有关联（不独立）。

2) 核心工具：高斯的“条件分布公式”

- 把一行向量按“已观测列 x_v ”和“缺失列 x_h ”分块：

$$\begin{bmatrix} x_h \\ x_v \end{bmatrix} \sim N\left(\begin{bmatrix} \mu_h \\ \mu_v \end{bmatrix}, \begin{bmatrix} \Sigma_{hh} & \Sigma_{hv} \\ \Sigma_{vh} & \Sigma_{vv} \end{bmatrix}\right).$$

- 由定理 (4.69)，条件分布

$$x_h | x_v \sim N(\mu_h + \Sigma_{hv}\Sigma_{vv}^{-1}(x_v - \mu_v), \Sigma_{hh} - \Sigma_{hv}\Sigma_{vv}^{-1}\Sigma_{vh}).$$

- 均值给出“最优猜测” \hat{x}_h ；
- 协方差给出每个缺失格子的不确定性。

3) 图 4.11 怎么读

- 左图 observed：每行只有部分列有值（其余缺失）。
- 中图 imputed：按上面公式算出的条件均值，就是我们填进去的值；它利用了列间相关性（比如某些列高则其它列也倾向高）。
- 右图 truth：当初生成数据时的真实完整值；可以对比看插补的好坏。

4) 为什么“均值是最优”

- 在平方损失下， $\arg \min_z E[(X - z)^2] = E[X]$ 。
- 所以用后验均值填补，等价于最小化期望平方误差；这就是“最佳线性无偏”的直觉来源。

5) 置信度 & 多重插补

- 单填一个均值太“自信”了？那就看**方差**： $\text{Var}(x_{h_j} \mid x_v)$ 越大，说明我们对该格子的把握越小。
- **多重插补**：从后验里抽多次样本，得到多份完整数据，再把下游分析（回归、均值等）在多份数据上分别做，最后合并结果，更稳健。

6) 行的似然 $p(x_v \mid \theta)$ 用来干嘛

- 只对观测到的列做高斯**边缘分布**（用 4.68：取 μ_v, Σ_{vv} ）。
- 似然很小的行可能是**离群点**（数据异常或录入错误），可以用来做异常检测。

小结

- 在“行 ~ 多元高斯”的假设下，**缺什么就对什么做条件高斯**，用后验均值作为插补值、用后验方差当不确定性。
- 列之间的相关性 Σ_{hv} 是关键：它让已观测列能“推断”缺失列。
- 还能计算每行的**边缘似然**来抓离群点；需要更稳健时做**多重插补**而不是只填一个均值。

翻译并解释以下内容，翻译不能有遗漏，解释请基础且详尽，因为我的数学基础不太好。

4.3.3 Information form

Suppose $x \sim N(\mu, \Sigma)$. One can show that $E[x] = \mu$ is the mean vector, and $\text{cov}[x] = \Sigma$ is the covariance matrix. These are called the moment parameters of the distribution. However, it is sometimes useful to use the canonical parameters or natural parameters, defined as $\Lambda = \Sigma^{-1}, \xi = \Sigma^{-1}\mu$ (4.85)

We can convert back to the moment parameters using $\mu = \Lambda^{-1}\xi, \Sigma = \Lambda^{-1}$ (4.86)

Using the canonical parameters, we can write the MVN in information form (i.e., in exponential family form, defined in Section 9.2):

$$Nc(x|\xi, \Lambda) = (2\pi)^{-D/2} |\Lambda|^{1/2} \exp(-\frac{1}{2} (x^T \Lambda x + \xi^T \Lambda^{-1} \xi - 2x^T \xi)) \quad (4.87)$$

where we use the notation $Nc()$ to distinguish from the moment parameterization $N()$. It is also possible to derive

the marginalization and conditioning formulas in information form. We find

$$p(x_2) = N_c(x_2 | \xi_2 - \Lambda_{21}\Lambda_{11}^{-1}\xi_1, \Lambda_{22} - \Lambda_{21}\Lambda_{11}^{-1}\Lambda_{12}) \quad (4.88)$$

$$p(x_1|x_2) = N_c(x_1 | \xi_1 - \Lambda_{12}x_2, \Lambda_{11}) \quad (4.89)$$

Thus we see that marginalization is easier in moment form, and conditioning is easier in information form.

Another operation that is significantly easier in information form is multiplying two Gaussians. One can show that

$$N_c(\xi_f, \lambda_f)N_c(\xi_g, \lambda_g) = N_c(\xi_f + \xi_g, \lambda_f + \lambda_g) \quad (4.90)$$

However, in moment form, things are much messier:

$$N(\mu_f, \sigma^2_f)N(\mu_g, \sigma^2_g) = N(\mu_f\sigma^2_g + \mu_g\sigma^2_f, \sigma^2_f\sigma^2_g + \sigma^2_g) \quad (4.91)$$

好，我们先逐句完整翻译，然后再做基础且详细的解释，特别会帮你理解为什么“信息形式 (information form)”有时比常用的均值-协方差形式更方便。

翻译（无遗漏）

4.3.3 信息形式 (Information form)

假设 $x \sim N(\mu, \Sigma)$ 。可以证明 $E[x] = \mu$ 是**均值向量**， $\text{cov}[x] = \Sigma$ 是**协方差矩阵**。它们被称为该分布的**矩参数** (moment parameters)。

然而，有时使用**规范参数** (canonical parameters) 或**自然参数** (natural parameters) 会更方便，定义如下：

$$\Lambda = \Sigma^{-1}, \quad \xi = \Sigma^{-1}\mu \quad (4.85)$$

我们可以通过以下方式把它们转换回矩参数：

$$\mu = \Lambda^{-1}\xi, \quad \Sigma = \Lambda^{-1} \quad (4.86)$$

使用规范参数，我们可以将多元高斯写成**信息形式** (information form，即指数族形式，定义见第 9.2 节)：

$$N_c(x | \xi, \Lambda) = (2\pi)^{-D/2} |\Lambda|^{1/2} \exp\left(-\frac{1}{2} [x^T \Lambda x + \xi^T \Lambda^{-1} \xi - 2x^T \xi]\right) \quad (4.87)$$

其中，我们用符号 $N_c(\cdot)$ 来与矩参数化的 $N(\cdot)$ 区分开来。

我们也可以在信息形式下推导出**边缘化和条件化公式**。结果是：

$$p(x_2) = N_c(x_2 | \xi_2 - \Lambda_{21}\Lambda_{11}^{-1}\xi_1, \Lambda_{22} - \Lambda_{21}\Lambda_{11}^{-1}\Lambda_{12}) \quad (4.88)$$

$$p(x_1 \mid x_2) = N_c(x_1 \mid \zeta_1 - \Lambda_{12}x_2, \Lambda_{11}) \quad (4.89)$$

因此，我们看到：**边缘化**在矩形式下更容易，而**条件化**在信息形式下更容易。

另一种在信息形式下显著更容易的操作是**两个高斯的相乘**。可以证明：

$$N_c(\zeta_f, \lambda_f) \cdot N_c(\zeta_g, \lambda_g) = N_c(\zeta_f + \zeta_g, \lambda_f + \lambda_g) \quad (4.90)$$

然而，在矩形式下，这件事会麻烦得多：

$$N(\mu_f, \sigma_f^2) \cdot N(\mu_g, \sigma_g^2) = N\left(\frac{\mu_f \sigma_g^2 + \mu_g \sigma_f^2}{\sigma_g^2 + \sigma_f^2}, \frac{\sigma_f^2 \sigma_g^2}{\sigma_g^2 + \sigma_f^2}\right) \quad (4.91)$$

基础且详尽的解释

1. 两种“说高斯分布的方法”

- **矩参数形式** (moment form) : 我们平常说的

$$N(\mu, \Sigma)$$

用均值 μ 和协方差 Σ 描述。

- **信息形式** (information form) : 用

- **信息矩阵** $\Lambda = \Sigma^{-1}$ (协方差的逆矩阵, 精度矩阵)

- **信息向量** $\zeta = \Sigma^{-1}\mu$

描述。

这两个是一一对应的，可以互相转换（公式 4.85、4.86）。

2. 为什么叫“信息形式”

- 在概率论和图模型里， Λ 叫**精度矩阵**，它在稀疏高斯模型（比如马尔可夫随机场）中特别方便，因为很多元素是零（意味着变量条件独立）。
 - “信息”这个名字来自于： Λ 的值越大，表示对变量的不确定性越小，也就是掌握的信息更多。
-

3. 公式 (4.87) 的意思

- 普通高斯密度公式是：

$$p(x) = (2\pi)^{-D/2} |\Sigma|^{-1/2} \exp\left(-\frac{1}{2}(x - \mu)^T \Sigma^{-1} (x - \mu)\right)$$

- 用 $\Lambda = \Sigma^{-1}$ 、 $\zeta = \Sigma^{-1}\mu$ 代换，就变成了 (4.87) 的形式。
 - 这就是高斯的**指数族表示**：指数里的二次项 $x^T \Lambda x$ 和一次项 $x^T \zeta$ 直接体现了自然参数。
-

4. 边缘化 vs 条件化

- 如果你有一个联合高斯，把它拆成 (x_1, x_2) ：
 - 矩形式**：边缘化（只保留 x_2 ）很简单，只要取对应子块的 μ_2, Σ_{22} 。
 - 信息形式**：条件化（算 $p(x_1 | x_2)$ ）特别直接，只需要

$$\xi'_1 = \xi_1 - \Lambda_{12}x_2, \quad \Lambda'_1 = \Lambda_{11}$$

这比矩形式下用协方差公式（涉及矩阵求逆）简单很多。

5. 高斯相乘

- 在很多算法里（卡尔曼滤波、贝叶斯更新、图模型推理），会遇到**两个高斯相乘**。
 - 信息形式的好处**：直接加参数（公式 4.90）：
 - 信息向量加
 - 精度矩阵加
 - 矩形式的坏处**：你要用公式 (4.91)，涉及分数、平方、很多运算，特别是在高维时很麻烦。
-

6. 总结

- 矩形式**：直观（均值+协方差）、适合做边缘化。
 - 信息形式**：高效（精度矩阵+信息向量）、适合做条件化、相乘等运算。
 - 实际应用：在概率图模型（尤其是稀疏精度矩阵）和高维计算里，信息形式更省算力；在数据解释和可视化时，矩形式更容易理解。
-

如果你愿意的话，我可以帮你画一个小例子，对比**矩形式**和**信息形式**在计算条件分布时的复杂度，这样会非常直观。这样你就能看到为什么公式 (4.89) 比矩形式简洁很多。

翻译并解释以下内容，翻译不能有遗漏，解释请基础且详尽，因为我的数学基础不太好。

4.4 Linear Gaussian systems

Suppose we have two variables, x and y . Let $x \in \mathbb{R}^{D_x}$ be a hidden variable, and $y \in \mathbb{R}^{D_y}$ be a noisy observation of x . Let us assume we have the following prior and likelihood:

$$p(x) = N(x | \mu_x, \Sigma_x)$$

$$p(y|x) = N(y | Ax + b, \Sigma_y) \quad (4.124)$$

where A is a matrix of size $D_y \times D_x$. This is an example of a linear Gaussian system. We can represent this schematically as $x \rightarrow y$, meaning x generates y . In this section, we show how to “invert the arrow”, that is, how to infer x from y . We state the result below, then give several examples, and finally we derive the result. We will see many more applications of these results in later chapters.

4.4.1 Statement of the result

Theorem 4.4.1 (Bayes rule for linear Gaussian systems).

Given a linear Gaussian system, as in Equation 4.124, the posterior $p(x|y)$ is given by the following:

$$p(x|y) = N(x | \mu_x|y, \Sigma_x|y)$$

$$\Sigma_x|y = \Sigma_x - A\Sigma_y A^T$$

$$\mu_x|y = \Sigma_x|y[A\Sigma_y A^T + \Sigma_x]^{-1}(y - b) \quad (4.125)$$

In addition, the normalization constant $p(y)$ is given by

$$p(y) = N(y | A\mu_x + b, \Sigma_y + A\Sigma_x A^T) \quad (4.126)$$

好，我们先逐句**完整翻译**原文，然后做**基础且详细的解释**，让你能直观理解这个“线性高斯系统”以及公式的意义。

翻译（无遗漏）

4.4 线性高斯系统 (Linear Gaussian systems)

假设我们有两个变量 x 和 y 。

令 $x \in \mathbb{R}^{D_x}$ 是一个**隐藏变量**，

令 $y \in \mathbb{R}^{D_y}$ 是 x 的一个**带噪声的观测**。

假设我们有如下的**先验和似然函数**：

$$p(x) = N(x | \mu_x, \Sigma_x)$$

$$p(y | x) = N(y | Ax + b, \Sigma_y) \quad (4.124)$$

其中 A 是一个大小为 $D_y \times D_x$ 的矩阵。

这是一个**线性高斯系统**的例子。我们可以用一个示意图表示为：

$$x \rightarrow y$$

意思是 x 生成了 y 。

在本节中，我们将展示如何“反转箭头”，即**已知 y 时，如何推断 x** 。

我们先给出结论，然后给几个例子，最后推导结果。在后续章节中，我们会看到更多这些结果的应用。

4.4.1 结果的陈述

定理 4.4.1 (线性高斯系统的贝叶斯公式)

给定如公式 (4.124) 的线性高斯系统，后验分布 $p(x | y)$ 由下式给出：

$$\begin{aligned} p(x | y) &= N(x | \mu_{x|y}, \Sigma_{x|y}) \\ \Sigma_{x|y}^{-1} &= \Sigma_x^{-1} + A^T \Sigma_y^{-1} A \\ \mu_{x|y} &= \Sigma_{x|y} [A^T \Sigma_y^{-1} (y - b) + \Sigma_x^{-1} \mu_x] \end{aligned} \quad (4.125)$$

此外，归一化常数 $p(y)$ 为：

$$p(y) = N(y | A\mu_x + b, \Sigma_y + A\Sigma_x A^T) \quad (4.126)$$

基础且详细的解释

1. 线性高斯系统是啥

- **先验**：我们对 x 的先验知识是它服从一个高斯分布 $N(\mu_x, \Sigma_x)$ 。
- **观测模型**：给定 x ，观测 y 是由线性变换 $Ax + b$ 加上高斯噪声得到的。
 - 这就是 $p(y|x) = N(y | Ax + b, \Sigma_y)$ 。
 - A 决定了 x 到 y 的线性关系。
 - b 是偏移 (bias)。
 - Σ_y 是观测噪声的协方差矩阵。

2. “反转箭头”是什么意思

- 图模型里 $x \rightarrow y$ 表示生成过程（先抽 x , 再生成 y ）。
- “反转箭头”就是根据 y 反推出 x 的分布，也就是求 **后验分布** $p(x|y)$ 。
- 这就是**贝叶斯定理**的应用：

$$p(x|y) \propto p(y|x)p(x)$$

- 因为 $p(x)$ 和 $p(y|x)$ 都是高斯，并且线性关系保持高斯的闭包性，所以 $p(x|y)$ 还是高斯，只是均值和协方差发生变化。
-

3. 公式 (4.125) 解释

1. 后验精度矩阵：

$$\Sigma_{x|y}^{-1} = \Sigma_x^{-1} + A^T \Sigma_y^{-1} A$$

- 精度矩阵（协方差的逆）在信息形式下更容易相加。
- 它体现了：后验的不确定性是由先验的不确定性 Σ_x^{-1} 和观测提供的信息 $A^T \Sigma_y^{-1} A$ 共同决定的。
- 精度越大，不确定性越小。

2. 后验均值：

$$\mu_{x|y} = \Sigma_{x|y} [A^T \Sigma_y^{-1} (y - b) + \Sigma_x^{-1} \mu_x]$$

- 第一项 $A^T \Sigma_y^{-1} (y - b)$ 表示来自观测 y 的信息。
 - 第二项 $\Sigma_x^{-1} \mu_x$ 表示来自先验的“拉回”作用。
 - 它们通过后验协方差 $\Sigma_{x|y}$ 进行加权平均。
-

4. 公式 (4.126) 解释

- 归一化常数 $p(y)$ 就是观测 y 的边缘分布。
- 因为：

$$y = Ax + b + \text{噪声}$$

且 x 和噪声都是高斯，所以 y 的分布也是高斯，均值和协方差分别是：

- 均值： $A\mu_x + b$
- 协方差： $\Sigma_y + A\Sigma_x A^T$ （先验的不确定性通过线性映射传播到观测空间，再加上观测噪声的协方差）

5. 直观理解

- **没有观测时**: x 只由先验 $N(\mu_x, \Sigma_x)$ 决定。
- **有观测时**:
 - 如果观测很精确 (Σ_y 很小), 后验均值更接近观测对应的反推值。
 - 如果观测噪声很大, 后验均值更接近先验均值。
- 这跟**加权平均**的思想一样: 权重取决于各自的不确定性 (协方差的大小)。

如果你愿意, 我可以帮你画一个简单的二维例子, 把 x 和 y 的联合分布画出来, 然后展示观测 y 后, x 的后验如何收缩, 这样你会更直观地理解公式 (4.125)。这样比单纯看符号更容易掌握。



已上传的图片

翻译并解释以下内容, 翻译不能有遗漏, 解释请基础且详尽, 因为我的数学基础不太好。

Figure 4.12 Inference about x given a noisy observation $y = 3$. (a) Strong prior $N(0, 1)$. The posterior mean is “shrunk” towards the prior mean, which is 0. (a) Weak prior $N(0, 5)$. The posterior mean is similar to the MLE. Figure generated by gaussInferParamsMean1d.

4.4.2 Examples

In this section, we give some example applications of the above result.

4.4.2.1 Inferring an unknown scalar from noisy measurements

Suppose we make N noisy measurements y_i of some underlying quantity x ; let us assume the measurement noise has fixed precision $\lambda_y = 1/\sigma^2$, so the likelihood is

$$p(y_i|x) = N(y_i|x, \lambda^{-1} y) \quad (4.127)$$

Now let us use a Gaussian prior for the value of the unknown source:

$$p(x) = N(x|\mu_0, \lambda^{-1} I) \quad (4.128)$$

We want to compute $p(x|y_1, \dots, y_N, \sigma^2)$. We can convert this to a form that lets us apply Bayes rule for Gaussians by defining $y = (y_1, \dots, y_N)$, $A = 1^T N$ (an $1 \times N$ row vector of 1's), and $\Sigma^{-1} y = \text{diag}(\lambda y)$. Then we get

$$p(x|y) = N(x|\mu_N, \lambda^{-1} N) \quad (4.129)$$

$$\mu_N = \lambda_0 + N\lambda y \quad (4.130)$$

$$\mu_N = N\lambda_{yy} + \lambda_0 \mu_0 \quad \lambda N = N\lambda y \quad N\lambda y + \lambda_0 y + \lambda_0 N\lambda y + \lambda_0 \mu_0 \quad (4.131)$$

These equations are quite intuitive: the posterior precision λN is the prior precision λ_0 plus N units of measurement precision λy . Also, the posterior mean μ_N is a convex combination of the MLE y and the prior mean μ_0 . This makes it clear that the posterior mean is a compromise between the MLE and the prior. If the prior is weak relative to the signal strength (λ_0 is small relative to λy), we put more weight on the MLE. If the prior is strong relative to the signal strength (λ_0 is large relative to λy), we put more weight on the prior. This is illustrated in Figure 4.12, which is very similar to the analogous results for the beta-binomial model in Figure 3.6. Note that the posterior mean is written in terms of $N\lambda_{yy}$, so having N measurements each of precision λy is like having one measurement with value y and precision $N\lambda y$. We can rewrite the results in terms of the posterior variance, rather than posterior precision, as follows:

$$p(x|D, \sigma^2) = N(x|\mu_N, \tau^2 N) \quad (4.132)$$

$$\tau^2 N = 1/N \sigma^2 + 1/\tau^2_0 = \sigma^2 \tau^2_0 / N \tau^2_0 + \sigma^2 \quad (4.133)$$

$$\mu_N = \tau^2 N \mu_0 \tau^2_0 + N y \sigma^2 = \sigma^2 N \tau^2_0 + \sigma^2 \mu_0 + N \tau^2_0 \quad N \tau^2_0 + \sigma^2 y \quad (4.134)$$

where $\tau^2_0 = 1/\lambda_0$ is the prior variance and $\tau^2 N = 1/\lambda N$ is the posterior variance.

We can also compute the posterior sequentially, by updating after each observation. If $N = 1$, we can rewrite the posterior after seeing a single observation as follows (where we define $\Sigma_y = \sigma^2$, $\Sigma_0 = \tau^2_0$ and $\Sigma_1 = \tau^2_1$ to be the variances of the likelihood, prior and posterior):

$$p(x|y) = N(x|\mu_1, \Sigma_1) \quad (4.135)$$

$$\Sigma_1 = 1/\Sigma_0 + 1/\Sigma_y - 1 = \Sigma_y \Sigma_0 / (\Sigma_0 + \Sigma_y) \quad (4.136)$$

$$\mu_1 = \Sigma_1 \mu_0 \Sigma_0 + y \Sigma_y \quad (4.137)$$

We can rewrite the posterior mean in 3 different ways:

$$\mu_1 = \Sigma_y \Sigma_y + \Sigma_0 \mu_0 + \Sigma_0 \Sigma_y + \Sigma_0 y \quad (4.138)$$

$$= \mu_0 + (y - \mu_0) \Sigma_0 \Sigma_y + \Sigma_0 \quad (4.139)$$

$$= y - (y - \mu_0) \Sigma_y \Sigma_y + \Sigma_0 \quad (4.140)$$

The first equation is a convex combination of the prior and the data. The second equation is the prior mean adjusted towards the data. The third equation is the data adjusted towards the prior mean; this is called shrinkage. These are all equivalent ways of expressing the tradeoff between likelihood and prior. If Σ_0 is small relative to Σ_y , corresponding to a strong prior, the amount of shrinkage is large (see Figure 4.12(a)), whereas if Σ_0 is large relative to Σ_y , corresponding to a weak prior, the amount of shrinkage is small (see Figure 4.12(b)). Another way to quantify the amount of shrinkage is in terms of the signal-to-noise ratio, which is defined as follows:

$$SNR = E[X^2] - E[y^2] = \Sigma_0 + \mu_0^2 / \Sigma_y \quad (4.141)$$

where $x \sim N(\mu_0, \Sigma_0)$ is the true signal, $y = x + \epsilon$ is the observed signal, and $\epsilon \sim N(0, \Sigma_y)$ is the noise term.

已思考 7s

好的！我先把原文逐句完整翻译，然后用基础且详尽的方式解释每个式子在说什么、为什么对直觉有意义，并配上图 4.12 的解读。

翻译（无遗漏）

图 4.12 在给定一次带噪观测 $y = 3$ 时对 x 的推断。 (a) 强先验 $N(0, 1)$ 。后验均值被“压缩”(shrink) “向先验均值 0”。 (b) 弱先验 $N(0, 5)$ 。后验均值与 MLE 相近。图由 `gaussInferParamsMean1d` 生成。

4.4.2 示例

本节给出上述结果的一些应用。

4.4.2.1 由带噪测量推断未知标量

假设我们对某个潜在量 x 做了 N 次带噪测量 y_i ；测量噪声精度为 $\lambda_y = 1/\sigma^2$ (σ^2 为噪声方差)，因此似然为

$$p(y_i | x) = N(y_i | x, \lambda_y^{-1}) \quad (4.127)$$

现在对未知源 x 使用高斯先验：

$$p(x) = \text{N}(x | \mu_0, \lambda_0^{-1}) \quad (4.128)$$

我们想要计算 $p(x | y_1, \dots, y_N, \sigma^2)$ 。把它改写成可应用“高斯的贝叶斯规则”的形式：令 $y = (y_1, \dots, y_N)$, $A = \mathbf{1}_N^T$ ($1 \times N$ 的全 1 行向量), $\Sigma_y^{-1} = \text{diag}(\lambda_y I)$ 。于是得到

$$p(x | y) = \text{N}(x | \mu_N, \lambda_N^{-1}) \quad (4.129)$$

$$\lambda_N = \lambda_0 + N\lambda_y \quad (4.130)$$

$$\mu_N = \frac{N\lambda_y \bar{y} + \lambda_0 \mu_0}{\lambda_N} = \frac{N\lambda_y}{N\lambda_y + \lambda_0} \bar{y} + \frac{\lambda_0}{N\lambda_y + \lambda_0} \mu_0 \quad (4.131)$$

其中 $\bar{y} \equiv \frac{1}{N} \sum_i y_i$ 。

这些公式很直观：后验精度 λ_N 等于先验精度 λ_0 加上 N 次测量的精度 λ_y 之和。并且，后验均值 μ_N 是 MLE (\bar{y}) 与先验均值 μ_0 的**凸组合**。这清楚地表明后验均值是在 MLE 与先验之间折中。如果先验相对于信号更弱 (λ_0 相对 λ_y 较小)，就更多依赖 MLE；如果先验更强 (λ_0 相对 λ_y 较大)，就更多依赖先验。这在图 4.12 中得到了说明；它与图 3.6 中 beta-二项模型的类似结果非常接近。注意 μ_N 写成 $N\lambda_y \bar{y}$ 的形式，说明： **N 次、每次精度 λ_y 的测量，相当于一次值为 \bar{y} 、精度为 $N\lambda_y$ 的测量。**

我们也可以用后验**方差**（而不是精度）来表述：

$$p(x | D, \sigma^2) = \text{N}(x | \mu_N, \tau_N^2) \quad (4.132)$$

$$\tau_N^2 = \left(\frac{N}{\sigma^2} + \frac{1}{\tau_0^2} \right)^{-1} = \frac{\sigma^2 \tau_0^2}{N\tau_0^2 + \sigma^2} \quad (4.133)$$

$$\mu_N = \tau_N^2 \left(\frac{\mu_0}{\tau_0^2} + \frac{N\bar{y}}{\sigma^2} \right) = \frac{\sigma^2}{N\tau_0^2 + \sigma^2} \mu_0 + \frac{N\tau_0^2}{N\tau_0^2 + \sigma^2} \bar{y} \quad (4.134)$$

其中 $\tau_0^2 = 1/\lambda_0$ 是先验方差， $\tau_N^2 = 1/\lambda_N$ 是后验方差。

我们也可以**顺序地** (sequentially) 更新后验：每收到一个观测就更新一次。若 $N = 1$ ，对单个观测的后验为（令 $\Sigma_y = \sigma^2$, $\Sigma_0 = \tau_0^2$, $\Sigma_1 = \tau_1^2$ 分别为似然、先验、后验的方差）：

$$p(x | y) = \text{N}(x | \mu_1, \Sigma_1) \quad (4.135)$$

$$\Sigma_1 = \left(\frac{1}{\Sigma_0} + \frac{1}{\Sigma_y} \right)^{-1} = \frac{\Sigma_y \Sigma_0}{\Sigma_0 + \Sigma_y} \quad (4.136)$$

$$\mu_1 = \Sigma_1 \left(\frac{\mu_0}{\Sigma_0} + \frac{y}{\Sigma_y} \right) \quad (4.137)$$

后验均值可以写成 3 种等价形式：

$$\mu_1 = \frac{\Sigma_y}{\Sigma_y + \Sigma_0} \mu_0 + \frac{\Sigma_0}{\Sigma_y + \Sigma_0} y \quad (4.138)$$

$$\mu_1 = \mu_0 + \underbrace{(y - \mu_0)}_{\text{数据-先验差}} \cdot \frac{\Sigma_0}{\Sigma_y + \Sigma_0} \quad (4.139)$$

$$\mu_1 = y - \underbrace{(y - \mu_0)}_{\text{数据-先验差}} \cdot \frac{\Sigma_y}{\Sigma_y + \Sigma_0} \quad (4.140)$$

第一式是先验与数据的**凸组合**；

第二式是“**把先验均值朝数据拉**”；

第三式是“**把数据朝先验均值压缩 (shrink)**”。

它们都在表达似然与先验之间的权衡。若 $\Sigma_0 \ll \Sigma_y$ (强先验)，压缩量很大 (见图 4.12(a))；若 $\Sigma_0 \gg \Sigma_y$ (弱先验)，压缩量很小 (见图 4.12(b))。

另一种度量压缩程度的方法是**信噪比 (SNR)**：

$$\text{SNR} = \frac{\text{E}[X^2]}{\text{E}[\epsilon^2]} = \frac{\Sigma_0 + \mu_0^2}{\Sigma_y} \quad (4.141)$$

其中 $x \sim N(\mu_0, \Sigma_0)$ 是真实信号， $y = x + \epsilon$ 是观测信号， $\epsilon \sim N(0, \Sigma_y)$ 是噪声项。

解释 (基础且详尽)

1) 这是什么场景？

- 我们要估计一个**未知标量** x (比如温度的真实值)。
- 我们做了 N 次测量，每次都有独立的高斯噪声： $y_i = x + \text{噪声}$ 。
- 对 x 的**先验**也是高斯： $N(\mu_0, \tau_0^2)$ 。

2) 精度 vs 方差

- 方差**: τ^2 越小，不确定性越小。
- 精度**: $\lambda = 1/\tau^2$ ；精度越大，越“自信”。
- “强先验”= 先验方差小 (τ_0^2 小, λ_0 大)；
“弱先验”= 先验方差大。

3) 后验协方差/方差怎么理解？

- $\lambda_N = \lambda_0 + N\lambda_y$: 信息 (精度) 可相加。
多一次可靠观测，就给后验多加一份信息，所以不确定性下降。

- 换成方差: $\tau_N^2 = \frac{\sigma^2 \tau_0^2}{N\tau_0^2 + \sigma^2}$:
 N 越大或先验越强 (τ_0^2 小), τ_N^2 越小。

4) 后验均值为什么是“折中”?

- $\mu_N = \alpha \bar{y} + (1 - \alpha)\mu_0$, 其中
 $\alpha = \frac{N\lambda_y}{N\lambda_y + \lambda_0} = \frac{N/\sigma^2}{N/\sigma^2 + 1/\tau_0^2} = \frac{N\tau_0^2}{N\tau_0^2 + \sigma^2} \in (0, 1)$ 。
- α 越大 (数据更可信: N 大或噪声小), 靠 \bar{y} 越近;
 α 越小 (先验更强: τ_0^2 小), 靠 μ_0 越近。

5) 图 4.12 怎么读?

- 左图 (强先验 $N(0, 1)$)** : 蓝色先验窄而高; 红色似然 (围绕 $y = 3$) 较窄; 黑色后验 (两者相乘再归一) 被拉回 0, 即**明显 shrink**。
- 右图 (弱先验 $N(0, 5)$)** : 蓝色先验宽而平; 后验几乎落在红色似然的位置, 接近 MLE ($\bar{y} \approx 3$)。

6) 顺序更新与多次观测等价

- 对单次观测, 权重是 $\frac{\Sigma_0}{\Sigma_y + \Sigma_0}$ 和 $\frac{\Sigma_y}{\Sigma_y + \Sigma_0}$ 。
- 多次观测等价于把精度相加: $N\lambda_y$, 因此 " N 次各自精度 λ_y " \Leftrightarrow "一次精度 $N\lambda_y$ " (均值用 \bar{y})。

7) “压缩”与 SNR

- 式 (4.139)/(4.140) 里, $(y - \mu_0)$ 乘上的比例 $\frac{\Sigma_0}{\Sigma_y + \Sigma_0}$ 或 $\frac{\Sigma_y}{\Sigma_y + \Sigma_0}$ 就是**压缩系数**。
- $SNR = \frac{\Sigma_0 + \mu_0^2}{\Sigma_y}$ 高 \Rightarrow 数据“信号”相对噪声强 \Rightarrow 压缩小 (更靠数据)。
- SNR 低 \Rightarrow 噪声大或信号方差小 \Rightarrow 压缩大 (更靠先验)。

一句话小结

- 高斯-高斯的贝叶斯更新: **后验仍然是高斯; 精度相加、均值加权**。
- 强先验 \Rightarrow 后验均值被明显“拉回”先验 (shrinkage)。
- 多次观测的信息可以用“精度叠加”来理解, 顺序或一次性计算结果一致。



翻译并解释以下内容，翻译不能有遗漏，解释请基础且详尽，因为我的数学基础不太好。

Figure 4.13 Illustration of Bayesian inference for the mean of a 2d Gaussian. (a) The data is generated from $y_i \sim N(x, \Sigma_y)$, where $x = [0.5, 0.5]^T$ and $\Sigma_y = 0.1[2, 1; 1, 1]$. We assume the sensor noise covariance Σ_y is known but x is unknown. The black cross represents x . (b) The prior is $p(x) = N(x|0, 0.1I^2)$. (c) We show the posterior after 10 data points have been observed. Figure generated by gaussInferParamsMean2d.

Figure 4.14 We observe $y_1 = (0, -1)$ (red cross) and $y_2 = (1, 0)$ (green cross) and infer $E(\mu|y_1, y_2, \theta)$ (black cross). (a) Equally reliable sensors, so the posterior mean estimate is in between the two circles. (b) Sensor 2 is more reliable, so the estimate shifts more towards the green circle. (c) Sensor 1 is more reliable in the vertical direction, Sensor 2 is more reliable in the horizontal direction. The estimate is an appropriate combination of the two measurements. Figure generated by sensorFusion2d.

4.4.2.2 Inferring an unknown vector from noisy measurements

Now consider N vector-valued observations, $y_i \sim N(x, \Sigma_y)$, and a Gaussian prior, $x \sim N(\mu_0, \Sigma_0)$. Setting $A = I$, $b = 0$, and using y for the effective observation with precision $N\Sigma^{-1}y$, we have

$$p(x|y_1, \dots, y_N) = N(x|\mu_N, \Sigma_N) \quad (4.142)$$

$$\Sigma^{-1}N = \Sigma^{-1}0 + N\Sigma^{-1}y \quad (4.143)$$

$$\mu_N = \Sigma N (\Sigma^{-1}y + \Sigma^{-1}0 \mu_0) \quad (4.144)$$

See Figure 4.13 for a 2d example. We can think of x as representing the true, but unknown, location of an object in 2d space, such as a missile or airplane, and the y_i as being noisy observations, such as radar "blips". As we receive more blips, we are better able to localize the

source. In Section 18.3.1, we will see how to extend this example to track moving objects using the famous Kalman filter algorithm. Now suppose we have multiple measuring devices, and we want to combine them together; this is known as sensor fusion. If we have multiple observations with different covariances (corresponding to sensors with different reliabilities), the posterior will be an appropriate weighted average of the data. Consider the example in Figure 4.14. We use an uninformative prior on x , namely $p(x) = N(\mu_0, \Sigma_0) = N(0, 10I_2)$. We get 2 noisy observations, $y_1 \sim N(x, \Sigma_y, 1)$ and $y_2 \sim N(x, \Sigma_y, 2)$. We then compute $p(x|y_1, y_2)$. In Figure 4.14(a), we set $\Sigma_{y,1} = \Sigma_{y,2} = 0.01I_2$, so both sensors are equally reliable. In this case, the posterior mean is half way between the two observations, y_1 and y_2 . In Figure 4.14(b), we set $\Sigma_{y,1} = 0.05I_2$ and $\Sigma_{y,2} = 0.01I_2$, so sensor 2 is more reliable than sensor 1. In this case, the posterior mean is closer to y_2 . In Figure 4.14(c), we set $\Sigma_{y,1} = 0.01 \begin{pmatrix} 1 & 1 \\ 1 & 1 \end{pmatrix}$, $\Sigma_{y,2} = 0.01 \begin{pmatrix} 11 & 11 \\ 11 & 11 \end{pmatrix}$ (4.145) so sensor 1 is more reliable in the y_2 component (vertical direction), and sensor 2 is more reliable in the y_1 component (horizontal direction). In this case, the posterior mean uses y_1 's vertical component and y_2 's horizontal component.

Note that this technique crucially relies on modeling our uncertainty of each sensor; computing an unweighted average would give the wrong result. However, we have assumed the sensor precisions are known. When they are not, we should model out uncertainty about Σ_1 and Σ_2 as well. See Section 4.6.4 for details.

已思考 9s

好的！我先把原文逐句完整翻译，再用基础且详尽的方式解释两幅图和相应公式在说什么、为什么合理。

翻译（无遗漏）

图 4.13 用贝叶斯方法推断二维高斯分布的均值。

- (a) 数据由 $y_i \sim N(x, \Sigma_y)$ 生成，其中 $x = [0.5, 0.5]^T$, $\Sigma_y = 0.1 \begin{pmatrix} 2 & 1 \\ 1 & 1 \end{pmatrix}$ 。我们假设传感器噪声协方差 Σ_y 已知，但 x 未知。黑色叉号表示 x 。

(b) 先验为 $p(x) = N(x | 0, 0.1I_2)$ 。

(c) 显示观测到 10 个数据点之后的后验。图由 `gaussInferParamsMean2d` 生成。

图 4.14 我们观测到 $y_1 = (0, -1)$ (红叉) 和 $y_2 = (1, 0)$ (绿叉)，并推断 $E(\mu | y_1, y_2, \theta)$ (黑叉)。

(a) 两个传感器同样可靠，所以后验均值估计位于两个圆之间。

(b) 传感器 2 更可靠，因此估计更靠近绿色圆。

(c) 传感器 1 在竖直方向更可靠，传感器 2 在水平方向更可靠。估计等于两次观测的“恰当组合”。图由 `sensorFusion2d` 生成。

4.4.2.2 由带噪测量推断未知向量

现在考虑向量观测： $y_i \sim N(x, \Sigma_y)$ (共 N 次观测)，以及高斯先验 $x \sim N(\mu_0, \Sigma_0)$ 。取 $A = I$ 、 $b = 0$ ，并把 N 次观测等价为一个**有效观测** (精度为 $N\Sigma_y^{-1}$)，则有

$$p(x | y_1, \dots, y_N) = N(x | \mu_N, \Sigma_N) \quad (4.142)$$

$$\Sigma_N^{-1} = \Sigma_0^{-1} + N\Sigma_y^{-1} \quad (4.143)$$

$$\mu_N = \Sigma_N (\Sigma_y^{-1}(N\bar{y}) + \Sigma_0^{-1}\mu_0) \quad (4.144)$$

二维示例如图 4.13。可以把 x 理解为物体在二维空间中的真实 (但未知) 位置，例如导弹或飞机，而 y_i 是带噪观测 (雷达“回波”)。随着回波增多，我们能更好地定位目标。在 18.3.1 节我们会看到怎么把这个例子扩展为跟踪运动目标 (著名的**卡尔曼滤波**)。

现在假设有多个测量设备，需要把它们**融合** (sensor fusion)。如果多次观测具有不同的协方差 (即传感器可靠性不同)，后验就是数据的适当**加权平均**。考虑图 4.14 的例子。

对 x 使用**非信息化先验** $p(x) = N(x, \Sigma_0) = N(0, 10^{10}I_2)$ 。我们得到两次带噪观测：
 $y_1 \sim N(x, \Sigma_{y,1})$ 、 $y_2 \sim N(x, \Sigma_{y,2})$ ，然后计算 $p(x | y_1, y_2)$ 。

- 在图 4.14(a) 中， $\Sigma_{y,1} = \Sigma_{y,2} = 0.01I_2$ ，两个传感器同样可靠，此时后验均值在 y_1 与 y_2 的**中点**。
- 在图 4.14(b) 中， $\Sigma_{y,1} = 0.05I_2$ 、 $\Sigma_{y,2} = 0.01I_2$ ，传感器 2 更可靠，此时后验均值更靠近 y_2 。
- 在图 4.14(c) 中，

$$\Sigma_{y,1} = 0.01 \begin{bmatrix} 10 & 1 \\ 1 & 1 \end{bmatrix}, \quad \Sigma_{y,2} = 0.01 \begin{bmatrix} 1 & 1 \\ 1 & 10 \end{bmatrix} \quad (4.145)$$

因此传感器 1 在 y_2 分量 (竖直方向) 更可靠，传感器 2 在 y_1 分量 (水平方向) 更可靠。此时后验均值会“采用 y_1 的竖直信息 + y_2 的水平信息”的组合。

注意该技术**关键依赖**对每个传感器不确定性的建模；若直接算**不加权平均**会得到错误结果。不过这里我们假设传感器精度已知；当未知时，也应为 Σ_1 、 Σ_2 建模（见 4.6.4 节）。

解释（基础且详尽）

1) 这些公式从哪来？

它们直接套用**线性高斯系统的贝叶斯更新**（你在 4.4.1 里看到的定理 4.4.1）：

- 先验 $x \sim N(\mu_0, \Sigma_0)$
 - 似然 $y_i | x \sim N(x, \Sigma_y)$ (这里 $A = I$)
- 合并 N 次独立观测等价于把**精度相加**： Σ_y^{-1} 的 N 倍。于是得到 (4.142)–(4.144)。

直觉：

- **后验精度** = 先验精度 + 数据提供的精度；
- **后验均值** = 先验均值与样本均值 \bar{y} 的**加权平均**，其中权重由**精度（协方差的逆）**决定——更可靠（方差小、精度大）的信息权重更高。

2) 图 4.13 怎么读？

- 左图：蓝点是 10 个观测 y_i ；黑叉是真实位置 $x = [0.5, 0.5]^T$ 。
- 中图：先验是以原点为中心、等方差（同心圆）的高斯。
- 右图：把“先验 + 10 次观测”融合后的**后验等高线**。可以看到：
 - 后验中心靠近数据团块（接近真实 x ）；
 - 等高线比先验**小且椭圆**：不确定性更小，而且方向性由 Σ_y 决定（噪声相关 → 椭圆倾斜）。

3) 图 4.14：传感器融合的直觉

- 后验均值 μ_N 实际上是“每个传感器观测的**精度加权平均**”。
- (a) 两者同样可靠 \Rightarrow 中点。
- (b) 绿色更可靠 \Rightarrow 结果更靠近绿色。
- (c) **各向异性**：
 - $\Sigma_{y,1}$ 的竖直方差小（约 0.01），水平方差大（约 0.1） \Rightarrow 竖直更准；
 - $\Sigma_{y,2}$ 刚好相反 \Rightarrow 水平更准；

后验把“竖直用 y_1 ，水平用 y_2 ”组合起来，所以黑叉落在既靠近红点的竖直值、又靠近绿点的水平值的位置。

4) 为什么不能简单地不加权求平均？

因为不同传感器**噪声不同**（协方差不同）。不加权平均默认“大家一样准”，会把不可靠的观测也当成同权重，导致偏差。贝叶斯融合自动用 Σ^{-1} 作权重：更小的方差 \Rightarrow 更大的权重。

5) 小结

- 多次观测或多传感器融合的核心：**精度相加，均值加权。**
- 方向相关或不同方向精度不同 \Rightarrow 后验是椭圆且按方向加权。
- 先验很弱 (Σ_0 大) 时，后验几乎由观测决定；先验很强 (Σ_0 小) 时，后验更靠先验。
- 精度未知时，要把“传感器可靠性”也纳入模型（见 4.6.4）。

图4.13和图4.14的区别以及本质区别是什么。我看它们一个是10次观测，一次是2次观测，其次，这两个图的形式为啥不一样

我帮你把图 4.13 和图 4.14 的区别（表面和本质）以及它们画法上的差异讲清楚。

1. 表面区别

- 观测次数不同**
 - 图 4.13：**10 次观测，所有观测的噪声协方差 Σ_y 相同。
 - 图 4.14：**只有 2 次观测，而且两个观测的协方差矩阵可能不一样（对应不同传感器）。
- 先验不同**
 - 图 4.13：**先验是比较集中的高斯分布 $p(x) = N(0, 0.1I_2)$ ，等高线是同心圆。
 - 图 4.14：**先验是几乎平坦的非信息化先验 $N(0, 10^{10}I_2)$ ，等价于“不怎么信先验”，几乎完全依赖观测。
- 图形内容不同**
 - 图 4.13：**显示的是**观测点云**（左图）、**先验等高线**（中图）、**10 次观测后的后验等高线**（右图）。
 - 图 4.14：**显示的是**两个观测的误差范围**（彩色圆/椭圆，表示观测值 \pm 协方差），以及后验均值（黑叉），不画完整的后验分布。

2. 本质区别

- **推断目标相同**

两者本质上都是在用**线性高斯模型**去推断未知均值向量 x ，并且都是利用

$$\Sigma_N^{-1} = \Sigma_0^{-1} + \sum_{i=1}^N \Sigma_{y,i}^{-1}$$

$$\mu_N = \Sigma_N \left(\sum_{i=1}^N \Sigma_{y,i}^{-1} y_i + \Sigma_0^{-1} \mu_0 \right)$$

这个更新公式。

- **关注点不同**

- **图 4.13：**强调“多次观测 + 固定噪声”时，随着观测累积，后验等高线会从大圆（先验）缩小成小椭圆（后验），位置靠近真实值。它展示的是**先验收缩 (shrinkage) **的过程。
- **图 4.14：**强调“多传感器融合 + 不同噪声特性”时，后验均值是按精度加权的平均值，尤其当协方差是各向异性时（某方向准，某方向不准），后验会在不同方向上采纳不同传感器的信息。它展示的是**各向异性加权融合**。

- **数学结构**

- **图 4.13：** $\Sigma_{y,i}$ 全部相同且各向同性 → 后验协方差随观测次数按比例缩小。
- **图 4.14：** $\Sigma_{y,1}$ 和 $\Sigma_{y,2}$ 可以不同，甚至是椭圆形的协方差，所以后验形状受两者的方向特性影响。

3. 为什么图的形式不一样

- **图 4.13** 是标准的“数据分布 + 高斯等高线”展示：
 - 左图：实际数据点 + 真值位置
 - 中/右图：用彩色等高线画先验和后验分布
这种画法适合表现“分布形状”和“数据点在分布中的位置”。
- **图 4.14** 是“传感器测量范围 + 融合结果”展示：
 - 圆/椭圆：每个传感器的测量值 ± 协方差范围
 - 黑叉：融合结果（后验均值）
 它不画后验的完整形状，因为它的重点是**结果点位于两个测量范围之间的位置变化**，这样更容易直观看出加权的效果。

4. 直观理解

- 图 4.13 就像是：“我有一个比较笼统的先验位置，然后不停收集观测，最后确定了一个更精准的小范围。”
- 图 4.14 就像是：“我有两个测量仪，一个有可能偏水平，一个有可能偏竖直，我要把它们的测量结果融合成一个最合理的位置。”

如果你愿意，我可以帮你画一个“图 4.13 的画法”去展示图 4.14 的数据，这样你会更直观看出它们其实是同一套公式，只是展示角度不同。这样会把两者的联系和区别一下子看明白。



翻译并解释以下内容，翻译不能有遗漏，解释请基础且详尽，因为我的数学基础不太好。

Figure 4.15 Interpolating noisy data ($\text{noise variance } \sigma^2 = 1$) using a Gaussian with prior precision λ . (a) $\lambda = 30$. (b) $\lambda = 0.01$. See also Figure 4.10. Based on Figure 7.1 of (Calvetti and Somersalo 2007). Figure generated by gaussInterpNoisyDemo. See also splineBasisDemo.

4.4.2.3 Interpolating noisy data

We now revisit the example of Section 4.3.2.2. This time we no longer assume noise-free observations. Instead, let us assume that we obtain N noisy observations y_i ; without loss of generality, assume these correspond to x_1, \dots, x_N .

We can model this setup as a linear Gaussian system:

$$y = Ax + (4.146)$$

where $\sim N(0, \Sigma_y)$, $\Sigma_y = \sigma^2 I$, σ^2 is the observation noise, and

A is a $N \times D$ projection matrix that selects out the observed elements. For example, if $N = 2$ and $D = 4$ we have

$$A = \begin{matrix} 1000 & 0100 \end{matrix} \quad (4.147)$$

Using the same improper prior as before, $\Sigma x = (LTL)^{-1}$, we can easily compute the posterior mean and variance. In Figure 4.15, we plot the posterior mean, posterior variance, and some posterior samples. Now we see that the prior precision λ effects the posterior mean as well as the posterior variance. In particular, for a strong prior (large λ), the estimate is very smooth, and the uncertainty is low. but for a weak prior (small λ), the estimate is wiggly, and the uncertainty (away from the data) is high. The posterior mean can also be computed by solving the following optimization problem:

$$\min x \sum_{i=1}^N (x_i - y_i)^2 + \lambda \sum_{j=1}^D (x_j - x_{j-1})^2 + (x_j - x_{j+1})^2 \quad (4.148)$$

where we have defined $x_0 = x_1$ and $x_{D+1} = x_D$ for notational simplicity. We recognize this as a discrete approximation to the following problem:

$$\min f \int 2\sigma^2 (f(t) - y(t))^2 dt + \lambda \int [f'(t)]^2 dt \quad (4.149)$$

where $f'(t)$ is the first derivative of f . The first term measures fit to the data, and the second term penalizes functions that are "too wiggly". This is an example of Tikhonov regularization, which is a popular approach to functional data analysis. See Chapter 15 for more sophisticated approaches, which enforce higher order smoothness (so the resulting samples look less "jagged").

好！先把原文逐句完整翻译，再用基础且详尽的方式解释每个公式/图在表达什么。

翻译（无遗漏）

图 4.15 用带有先验精度 λ 的高斯分布对**有噪声数据**（噪声方差 $\sigma^2=1$ ）做插值。 (a) $\lambda=30$ 。
 (b) $\lambda=0.01$ 。另见图 4.10。该图基于 (Calvetti and Somersalo, 2007) 的图 7.1，由 `gaussInterpNoisyDemo` 生成。另见 `splineBasisDemo`。

4.4.2.3 对有噪声数据做插值

我们现在回到第 4.3.2.2 节的例子。这一次我们**不再假设观测是无噪声的**。相反，设我们得到 N 个带噪观测 y_i ；不失一般性，假设它们对应于 x_1, \dots, x_N 。我们可以把该设置建模为一个**线性高斯系统**：

$$y = Ax + \varepsilon \quad (4.146)$$

其中 $\varepsilon \sim N(0, \Sigma_y)$ 、 $\Sigma_y = \sigma^2 I$, σ^2 是观测噪声, A 是一个 $N \times D$ 的投影矩阵, 用来选出被观测到的元素。比如当 $N = 2, D = 4$ 时,

$$A = \begin{bmatrix} 1 & 0 & 0 & 0 \\ 0 & 1 & 0 & 0 \end{bmatrix} \quad (4.147)$$

仍然使用之前的**非正规先验** $\Sigma_x = (L^\top L)^{-1}$, 我们可以直接算出后验均值和方差。在图 4.15 中, 我们画出了**后验均值**、**后验方差**以及若干**后验样本**。现在我们看到: 先验精度 λ 既影响后验均值也影响后验方差。具体地, **强先验** (λ 大) 时, 估计非常平滑, 而且不确定低; **弱先验** (λ 小) 时, 估计会更**起伏** (wiggly), 并且远离数据点处的不确定性更高。

后验均值也可以通过解下面的**优化问题**得到:

$$\min_x \frac{1}{2\sigma^2} \sum_{i=1}^N (x_i - y_i)^2 + \frac{\lambda}{2} \sum_{j=1}^D ((x_j - x_{j-1})^2 + (x_j - x_{j+1})^2) \quad (4.148)$$

为书写方便, 我们定义 $x_0 = x_1$ 、 $x_{D+1} = x_D$ 。我们可以把这识别为下面问题的离散近似:

$$\min_f \frac{1}{2\sigma^2} \int (f(t) - y(t))^2 dt + \frac{\lambda}{2} \int [f'(t)]^2 dt \quad (4.149)$$

其中 $f'(t)$ 是 f 的一阶导数。第一个积分度量对数据的拟合程度, 第二个积分惩罚“过于起伏”的函数。这就是Tikhonov 正则化的一个例子, 它是函数型数据分析中的常用方法。关于施加强阶光滑 (使采样曲线看起来不那么“锯齿”) 的更复杂方法, 见第 15 章。

解释 (基础且详尽)

1) 我们在做什么?

- 想恢复一条未知的一维函数曲线 f , 但我们只在少数点看到了**带噪声**的观测 y_i 。
- 把整个离散曲线 $x = (x_1, \dots, x_D)$ 看成随机向量, 想要其**后验分布**与**后验均值曲线**。

2) 线性高斯系统的建模

- $y = Ax + \varepsilon$: 从完整曲线 x 里, 用矩阵 A 挑出被观测的分量, 加上高斯噪声 ε 。
- $\Sigma_y = \sigma^2 I$: 每个观测点噪声独立同分布, 方差 σ^2 。

3) 平滑性先验 (为什么用 $L^\top L$)

- 先验来自**二阶有限差分矩阵** L (上一节介绍过) :
- Lx 近似 x 的二阶变化 (凹凸/弯曲)。

- 惩罚 $\|Lx\|_2^2 \Rightarrow$ 倾向于**平滑曲线**。
- 把强度调到 λ : λ 大 \Rightarrow 更狠地惩罚弯曲 \Rightarrow 更平滑; λ 小 \Rightarrow 允许更多起伏。

这里把 $\Sigma_x = (L^\top L)^{-1}$ 称为**非正规先验** (秩为 $D - 2$) , 但一旦有 ≥ 2 个观测, 后验就会变为正规的 (可归一化) 。

4) 图 4.15 怎么读?

- **灰带**: 每个位置的95% **置信区间** (\approx 均值 $\pm 2 \times$ 标准差) 。
- **粗黑线**: 后验均值 (最佳点估计) 。
- **细黑线**: 从后验分布中采样得到的完整函数实例 (反映相关性) 。
- (a) $\lambda=30$ (**强先验**): 均值曲线很光滑; 灰带窄 \Rightarrow 不确定性低。
- (b) $\lambda=0.01$ (**弱先验**): 均值曲线明显更“抖”; 灰带宽 \Rightarrow 尤其在远离观测点处不确定性大。

5) 为何“先验会影响后验均值” (这次与无噪声不同)

- **无噪声** (上一节图 4.10): 必须穿过观测点, 所以均值在观测点处固定; λ 只影响中间“怎么连”。
- **有噪声**: 不必穿过观测点 (因为观测可能偏离真值); 于是 λ 同时影响**曲线的形状** (均值) 和**不确定牲**。 λ 越大, 曲线越被“拉直”。

6) 与优化问题的等价 (式 4.148 \leftrightarrow 4.149)

- 第一项: $\frac{1}{2\sigma^2} \sum (x_i - y_i)^2 \Rightarrow$ **拟合误差** (噪声越小, 允许的误差越小) 。
- 第二项: $\frac{\lambda}{2} \sum ((x_j - x_{j-1})^2 + (x_j - x_{j+1})^2) \Rightarrow$ **粗糙度惩罚** (相邻点差大就罚) 。
- 这正是Tikhonov 正则化 (也叫**平滑样条**思想的离散版) 。
- 连续极限 (4.149) 变成“拟合误差的积分 + 一阶导数平方的积分”——导数平方越大, 函数越“抖”, 惩罚越多。

7) 一句话记忆

- **模型**: 观测 = 选点 + 高斯噪声; 先验 = 平滑 (惩罚弯曲) 。
- **λ 的作用**: 调平滑度; 大 \Rightarrow 更光滑、更自信; 小 \Rightarrow 更灵活、更不确定。
- **求解**: 要么用线性高斯后验的闭式公式 (基于 L, A, σ^2) , 要么解一个带二次正则项的最小二乘 (即 4.148) 。

如果你想, 我可以用你的任意一组 1D 噪声数据, 帮你画出不同 λ 下的后验均值与灰色置信带, 对比直观感受“平滑度旋钮”的效果。

翻译并解释以下内容，翻译不能有遗漏，解释请基础且详尽，因为我的数学基础不太好。

4.5 Digression: The Wishart distribution

The Wishart distribution is the generalization of the Gamma distribution to positive definite matrices. Press (Press 2005, p107) has said "The Wishart distribution ranks next to the (multivariate) normal distribution in order of importance and usefulness in multivariate statistics". We will mostly use it to model our uncertainty in covariance matrices, Σ , or their inverses, $\Lambda = \Sigma^{-1}$.

$$Wi(\Lambda|S,v) = 1/ZWi |\Lambda|^{(v-D-1)/2} \exp - 1/2 \operatorname{tr}(\Lambda S^{-1}) \quad (4.159)$$

Here v is called the "degrees of freedom" and S is the "scale matrix". (We shall get more intuition for these parameters shortly.) The normalization constant for this distribution (which requires integrating over all symmetric pd matrices) is the following formidable expression

$$ZWi = 2vD/2\Gamma_D(v/2)|S|^{v/2} \quad (4.160)$$

where $\Gamma_D(a)$ is the multivariate gamma function:

$$\Gamma_D(x) = \pi^{D(D-1)/4} \prod_{i=1}^D \Gamma(x + (1-i)/2) \quad (4.161)$$

Hence $\Gamma_1(a) = \Gamma(a)$ and

$$\Gamma_D(v/2) = \prod_{i=1}^D \Gamma(v/2 + (1-i)/2) \quad (4.162)$$

The normalization constant only exists (and hence the pdf is only well defined) if $v > D - 1$.

There is a connection between the Wishart distribution and the Gaussian. In particular, let $x_i \sim N(0, \Sigma)$. Then the scatter matrix $S = \sum_{i=1}^N x_i x_i^T$ has a Wishart distribution: $S \sim Wi(\Sigma, N)$. Hence $E[S] = N\Sigma$. More generally, one can show that the mean and mode of $Wi(S, v)$ are given by

$$\text{mean} = vS, \text{mode} = (v - D - 1)S \quad (4.163)$$

where the mode only exists if $v > D + 1$.

If $D = 1$, the Wishart reduces to the Gamma distribution:

$$Wi(\lambda|s-1, v) = Ga(\lambda| v/2, s/2) \quad (4.164)$$

好，我们先把原文逐句完整翻译，然后用简单但细致的方式解释公式、参数、以及它跟高斯分布的联系。

逐句翻译（无遗漏）

4.5 离题小谈：Wishart 分布

Wishart 分布是 Gamma 分布向**正定矩阵**的推广。

Press (Press 2005, 第 107 页) 曾说过：

“在多元统计中， Wishart 分布的重要性和实用性仅次于（多元）正态分布。”

我们主要用它来建模**协方差矩阵 Σ (或它的逆 $\Lambda = \Sigma^{-1}$) 中的不确定性**。

Wishart 分布的概率密度函数形式为：

$$\text{Wi}(\Lambda | S, v) = \frac{1}{Z_{\text{Wi}}} |\Lambda|^{(v-D-1)/2} \exp(-\frac{1}{2} \text{tr}(\Lambda S^{-1})) \quad (4.159)$$

这里：

- v 称为**自由度** (degrees of freedom)；

- S 称为**尺度矩阵** (scale matrix)。

(稍后我们会对这两个参数有更直观的理解。)

该分布的归一化常数 (需要对所有对称正定矩阵积分才能得到) 是如下令人望而生畏的表达式：

$$Z_{\text{Wi}} = 2^{vD/2} \Gamma_D(v/2) |S|^{v/2} \quad (4.160)$$

其中 $\Gamma_D(a)$ 是**多元 Gamma 函数**：

$$\Gamma_D(x) = \pi^{D(D-1)/4} \prod_{i=1}^D \Gamma\left(x + \frac{1-i}{2}\right) \quad (4.161)$$

因此：

$$\Gamma_1(a) = \Gamma(a) \quad \text{并且} \quad \Gamma_D(v_0/2) = \prod_{i=1}^D \Gamma\left(\frac{v_0 + 1 - i}{2}\right) \quad (4.162)$$

这个归一化常数**只有在** $v > D - 1$ 时存在 (因此 PDF 也只有在这个条件下才有定义)。

Wishart 分布和高斯分布之间有联系：

特别地，如果 $x_i \sim N(0, \Sigma)$ ，那么**散布矩阵**

$$S = \sum_{i=1}^N x_i x_i^\top$$

服从 Wishart 分布： $S \sim \text{Wi}(\Sigma, N)$ 。

因此：

$$E[S] = N\Sigma$$

更一般地，可以证明 Wishart 分布 $\text{Wi}(S, \nu)$ 的均值和众数为：

$$\text{mean} = \nu S, \quad \text{mode} = (\nu - D - 1)S \quad (4.163)$$

其中众数只在 $\nu > D + 1$ 时存在。

如果 $D = 1$, Wishart 分布会退化为 Gamma 分布：

$$\text{Wi}(\lambda | s^{-1}, \nu) = \text{Ga}(\lambda \mid \frac{\nu}{2}, \frac{s}{2}) \quad (4.164)$$

详细解释（适合数学基础不强的人）

1. Wishart 是什么？

- Gamma 分布是正实数上的分布（只能取正值）。
 - Wishart 分布是它的矩阵版本，作用在对称正定矩阵（SPD matrix）上。
 - 主要用来做协方差矩阵的先验分布（尤其在贝叶斯统计里）。
 - 协方差矩阵必须是正定的，所以 Wishart 是天然的候选。
-

2. 公式 (4.159) 的结构

$$\text{Wi}(\Lambda | S, \nu) \propto |\Lambda|^{(\nu-D-1)/2} \exp\left(-\frac{1}{2}\text{tr}(\Lambda S^{-1})\right)$$

- Λ 是协方差矩阵的逆（精度矩阵）。
 - $|\Lambda|$ 是行列式，控制体积大小。
 - 指数里的 $\text{tr}(\Lambda S^{-1})$ 用迹（trace）来衡量矩阵间的“距离”。
 - S 决定分布在矩阵空间的中心和扩散方向。
 - ν 决定样本量的强弱：越大，越集中在 S^{-1} 附近；越小，越分散。
-

3. 自由度 ν 和尺度矩阵 S 的直觉

- ν （自由度）：相当于“假想样本数”。 ν 越大，表示我们对协方差的先验更有把握（分布更尖锐）。
- S （尺度矩阵）：相当于样本协方差的期望方向和大小。

如果把 Wishart 当作“由 N 个高斯样本的散布矩阵”生成的分布，那么：

- ν 就像 N (样本数)。
 - S 就像样本协方差的真实值。
-

4. 归一化常数 (4.160)–(4.162)

- 保证 PDF 积分为 1，但它形式复杂，因为要对所有正定矩阵积分。
 - Γ_D 是多元 Gamma 函数，是一种把普通 Gamma 函数推广到矩阵维度的数学工具。
-

5. 与高斯分布的联系

如果：

$$x_i \sim N(0, \Sigma)$$

那么：

$$S = \sum_{i=1}^N x_i x_i^\top$$

服从：

$$S \sim \text{Wi}(\Sigma, N)$$

即 Wishart 分布是高斯样本的散布矩阵的分布。

所以：

- $E[S] = N\Sigma$ (平均值等于样本数 \times 真协方差)
 - 均值、众数公式 (4.163) 直接反映了这一点。
-

6. 一维特殊情况 (4.164)

- 当 $D = 1$ ，协方差矩阵退化成方差的正实数 λ 。
 - 这时 Wishart 就变成普通的 Gamma 分布 (说明它确实是 Gamma 的推广)。
-

7. 为什么重要

- 贝叶斯推断中，如果我们对协方差矩阵 Σ 设先验，Wishart 是最自然的选择 (共轭先验)。
- 用它可以很方便地在后验中结合数据更新协方差的不确定性。

如果你愿意，我可以帮你画一个 Wishart 分布在二维协方差空间的形状图，让你直观看到 v 改变时分布如何变尖或变宽，以及 S 改变时中心如何移动。这样会更直观地理解它的作用和和高斯的联系。

翻译并解释以下内容，翻译不能有遗漏，解释请基础且详尽，因为我的数学基础不太好。

4.5.1 Inverse Wishart distribution

Recall that we showed (Exercise 2.10) that if $\lambda \sim Ga(a, b)$, then that $1/\lambda \sim IG(a, b)$. Similarly, if $\Sigma^{-1} \sim Wi(S, v)$ then $\Sigma \sim IW(S-1, v + D + 1)$, where IW is the inverse Wishart, the multidimensional generalization of the inverse Gamma. It is defined as follows, for $v > D - 1$ and $S \geq 0$:

$$IW(\Sigma|S, v) = \frac{1}{Z} IW(|\Sigma| - (v + D + 1)/2) \exp(-1/2 \operatorname{tr}(S^{-1}\Sigma^{-1})) \quad (4.165)$$

$$Z = |\Sigma|^{-v/2} \Gamma(D/2) \Gamma(v/2) \quad (4.166)$$

One can show that the distribution has these properties
mean = $S^{-1} v - D - 1$, mode = $S^{-1} v + D + 1$ (4.167)

If $D = 1$, this reduces to the inverse Gamma:

$$IW(\sigma^2|S-1, v) = IG(\sigma^2|v/2, S/2) \quad (4.168)$$

好，我们先逐句完整翻译原文，然后再给你做一个数学基础友好的、细致的解释。

逐句翻译（无遗漏）

4.5.1 逆 Wishart 分布

回忆我们之前在习题 2.10 中证明过：如果

$$\lambda \sim Ga(a, b)$$

那么

$$\frac{1}{\lambda} \sim IG(a, b)$$

其中 IG 表示逆 Gamma 分布。

类似地，如果

$$\Sigma^{-1} \sim \text{Wi}(S, v)$$

那么

$$\Sigma \sim \text{IW}(S^{-1}, v + D + 1)$$

这里 IW 表示**逆 Wishart 分布**，它是逆 Gamma 分布的多维推广。

逆 Wishart 分布的定义如下（要求 $v > D - 1$ 且 $S > 0$ ，即 S 是正定矩阵）：

$$\text{IW}(\Sigma | S, v) = \frac{1}{Z_{\text{IW}}} |\Sigma|^{-(v+D+1)/2} \exp\left(-\frac{1}{2} \text{tr}(S^{-1}\Sigma^{-1})\right) \quad (4.165)$$

其中归一化常数为：

$$Z_{\text{IW}} = |S|^{-v/2} 2^{vD/2} \Gamma_D(v/2) \quad (4.166)$$

可以证明该分布具有以下性质：

$$\text{mean} = \frac{S^{-1}}{v - D - 1}, \quad \text{mode} = \frac{S^{-1}}{v + D + 1} \quad (4.167)$$

当 $D = 1$ 时，它退化为**逆 Gamma 分布**：

$$\text{IW}(\sigma^2 | S^{-1}, v) = \text{IG}\left(\sigma^2 \left| \frac{v}{2}, \frac{S}{2}\right.\right) \quad (4.168)$$

详细解释（数学基础友好版）

1. 它和 Wishart 的关系

- **Wishart 分布**是 Gamma 分布的矩阵版本。
- **逆 Wishart 分布**就是**逆 Gamma**的矩阵版本。
- 如果矩阵的逆服从 Wishart 分布，那么矩阵本身服从逆 Wishart 分布。
换句话说：

$$\Sigma^{-1} \sim \text{Wishart} \iff \Sigma \sim \text{Inverse Wishart}$$

2. 为什么需要它

在贝叶斯统计中，如果我们要对协方差矩阵 Σ 本身做先验，而不是精度矩阵 $\Lambda = \Sigma^{-1}$ ，那么逆 Wishart 是一个常用的**共轭先验**（方便后验计算）。

3. 公式 (4.165) 的组成

$$\text{IW}(\Sigma | S, \nu) \propto |\Sigma|^{-(\nu+D+1)/2} \exp(-\frac{1}{2}\text{tr}(S^{-1}\Sigma^{-1}))$$

- $|\Sigma|^{-(\nu+D+1)/2}$
行列式的负指数，意味着**小行列式的概率大**（小协方差更常见）。
 - $\exp(-\frac{1}{2}\text{tr}(\dots))$
控制分布的“中心”，由**尺度矩阵** S 决定。
 - ν 是**自由度**，决定分布的集中程度； ν 越大，分布越窄。
-

4. 归一化常数 (4.166)

$$Z_{\text{IW}} = |S|^{-\nu/2} 2^{\nu D/2} \Gamma_D(\nu/2)$$

- 保证概率密度积分为 1。
 - Γ_D 是多元 Gamma 函数（在 Wishart 部分介绍过）。
-

5. 均值和众数 (4.167)

- **均值 (mean) :**

$$E[\Sigma] = \frac{S^{-1}}{\nu - D - 1}$$

要求 $\nu > D + 1$ 才存在均值。

- **众数 (mode) :**

$$\text{mode} = \frac{S^{-1}}{\nu + D + 1}$$

对应“最可能”的矩阵值。

注意：均值和众数的分母不一样，均值分母是 $\nu - D - 1$ ，众数分母是 $\nu + D + 1$ 。

6. 一维特例 (4.168)

- 当 $D = 1$ （协方差矩阵退化为标量方差 σ^2 ）时：
 - 逆 Wishart 就是普通的逆 Gamma 分布：

$$\text{IW}(\sigma^2) \equiv \text{IG}(\sigma^2)$$

- 参数的对应关系在公式 (4.168) 中给出。

7. 直观理解

- Wishart 分布**: 适用于精度矩阵 Λ 的先验。
- 逆 Wishart 分布**: 适用于协方差矩阵 Σ 的先验。
- 在贝叶斯多元高斯建模时，这两个分布是一对共轭分布，选哪个取决于我们是想直接建模协方差还是建模精度矩阵。

如果你需要的话，我可以帮你画一张 **Wishart 与逆 Wishart 在二维情况下的形状对比图**，这样你可以直观看出它们在“矩阵空间”里的概率分布是如何翻转的。这样会更直观地理解两者的关系。

你想让我画这张图吗？



已上传的图片

翻译并解释以下内容，翻译不能有遗漏，解释请基础且详尽，因为我的数学基础不太好。

Figure 4.16 Visualization of the Wishart distribution. Left: Some samples from the Wishart distribution, $\Sigma \sim \text{Wi}(S, v)$, where $S = [3.1653, -0.0262; -0.0262, 0.6477]$ and $v = 3$. Right: Plots of the marginals (which are Gamma), and the approximate (sample-based) marginal on the correlation coefficient. If $v = 3$ there is a lot of uncertainty about the value of the correlation coefficient ρ (see the almost uniform distribution on $[-1, 1]$). The sampled matrices are highly variable, and some are nearly singular. As v increases, the sampled matrices are more concentrated on the prior S . Figure generated by wiPlotDemo.

4.5.2 Visualizing the Wishart distribution *

Since the Wishart is a distribution over matrices, it is hard to plot as a density function. However, we can easily sample from it, and in the 2d case, we can use the eigenvectors of the resulting matrix to define an ellipse, as explained in Section 4.1.2. See Figure 4.16 for some examples. For higher dimensional matrices, we can plot marginals of the distribution. The diagonals of a Wishart distributed matrix have Gamma distributions, so are easy to plot. It is hard in general to work out the distribution of the off-diagonal elements, but we can sample matrices from the distribution, and then compute the distribution empirically. In particular, we can convert each sampled matrix to a correlation matrix, and thus compute a Monte Carlo approximation (Section 2.7) to the expected correlation coefficients:

$$E[R_{ij}] \approx 1 S S s=1 R(\Sigma(s))_{ij} \quad (4.169)$$

where $\Sigma(s) \sim Wi(\Sigma, v)$ and $R(\Sigma)$ converts matrix Σ into a correlation matrix:

$$R_{ij} = \Sigma_{ij} / \sqrt{\Sigma_{ii}\Sigma_{jj}} \quad (4.170)$$

We can then use kernel density estimation (Section 14.7.2) to produce a smooth approximation to the univariate density $E[R_{ij}]$ for plotting purposes. See Figure 4.16 for some examples.

好，我们先完整翻译原文，然后再做数学基础友好的详细解释。

逐句翻译（无遗漏）

图 4.16 Wishart 分布的可视化

左图：从 Wishart 分布 $\Sigma \sim Wi(S, v)$ 中采样的一些样本，其中

$$S = \begin{bmatrix} 3.1653 & -0.0262 \\ -0.0262 & 0.6477 \end{bmatrix}$$

且 $v = 3$ 。

右图：边际分布（这些是 Gamma 分布）以及基于采样的相关系数的近似边际分布。如果 $v = 3$ ，那么对于相关系数 ρ 的取值存在大量不确定性（见 $[-1, 1]$ 区间上几乎均匀的分布）。采样得到的矩阵差异很大，并且有些几乎是奇异的。随着 v 增加，采样矩阵会更集

中在先验矩阵 S 附近。

图由 `wiPlotDemo` 生成。

4.5.2 可视化 Wishart 分布 *

因为 Wishart 分布是关于矩阵的分布，所以很难直接将它绘制为密度函数。不过我们可以很容易地从它采样，并且在二维情况下，我们可以用结果矩阵的特征向量来定义一个椭圆（参考 4.1.2 节的解释）。图 4.16 展示了一些例子。

对于更高维的矩阵，我们可以绘制分布的**边际分布**：

- Wishart 分布矩阵的**对角元素**（表示方差）服从 Gamma 分布，因此容易绘制；
- 对于**非对角元素**（协方差）的分布，一般很难直接求出，但我们可以从分布中采样矩阵，然后经验地计算它们的分布。

特别地，我们可以把每个采样矩阵转换成一个**相关系数矩阵**，然后用蒙特卡罗近似（见 2.7 节）来计算期望相关系数：

$$E[R_{ij}] \approx \frac{1}{S} \sum_{s=1}^S R(\Sigma^{(s)})_{ij} \quad (4.169)$$

其中 $\Sigma^{(s)} \sim \text{Wi}(\Sigma, \nu)$ ，并且 $R(\Sigma)$ 表示把协方差矩阵 Σ 转换成相关系数矩阵：

$$R_{ij} = \frac{\Sigma_{ij}}{\sqrt{\Sigma_{ii}\Sigma_{jj}}} \quad (4.170)$$

然后我们可以使用**核密度估计**（见 14.7.2 节）来得到一个平滑的一元密度近似，用于绘图。

一些例子见图 4.16。

详细解释（数学基础友好版）

1. Wishart 分布难画在哪里

- 它是**矩阵的分布**，不像普通的正态分布那样只对单个数值有概率密度函数。
 - 对于二维矩阵 Σ ，它的每个样本本质上是一个 2×2 的正定协方差矩阵，既包含两个方差 (σ_1^2, σ_2^2) 也包含一个协方差（或相关系数 ρ ）。
 - 所以直接画它的“概率云”很难。
-

2. 二维情况下的可视化方法

- 每个 Σ 可以用**特征分解**得到两个特征向量（表示方向）和两个特征值（表示椭圆长短轴）。
 - 在二维平面上，这个 Σ 可以画成一个**误差椭圆**（代表对应协方差结构的等密度曲线）。
 - 左图 (a) 中的九个小图，就是不同样本的协方差矩阵画成的椭圆形状，能看出形状、方向和大小的变化。
-

3. 右边的边际分布

- σ_1^2 和 σ_2^2 （协方差矩阵的对角元素）是方差，它们在 Wishart 分布下的**边际分布是 Gamma 分布**，所以画起来容易。
 - 相关系数 ρ 的分布没办法直接写出，但可以：
 1. 采样很多 $\Sigma^{(s)}$
 2. 把它们转成相关系数矩阵 $R(\Sigma^{(s)})$
 3. 用公式 (4.169) 统计频率
 4. 再用**核密度估计**画平滑曲线
-

4. 为什么 ν 会影响分布形状

- ν 是**自由度参数**，控制分布集中程度。
 - 当 ν 小（比如 $\nu = 3$ ）时：
 - 样本的差异很大，有些矩阵几乎是**奇异的**（不可逆，某个方向几乎没有方差）。
 - 相关系数 ρ 在 $[-1, 1]$ 上几乎是均匀分布 → 相关性非常不确定。
 - 当 ν 大时：
 - 样本更集中在先验 S 附近
 - 不确定性更小， ρ 分布收缩到某个范围。
-

5. 直观小结

- **左图：**Wishart 样本矩阵用椭圆表示 → 直观看出形状的多样性。
- **右图：**用数值统计方式看方差和相关系数的分布。
- **核心：**Wishart 分布的样本可以很形象地看作是“可能的协方差矩阵”，而这些矩阵的形状和大小反映了我们对协方差的不确定性。

如果你愿意，我可以帮你画一张v 从小到大变化时 Wishart 椭圆收缩的动图，这样你可以直接看出“自由度增加 → 分布集中”的效果，会比静态图更直观。
你要我画这个动图吗？

翻译并解释以下内容，翻译不能有遗漏，解释请基础且详尽，因为我的数学基础不太好。

4.6 Inferring the parameters of an MVN
So far, we have discussed inference in a Gaussian assuming the parameters $\Theta = (\mu, \Sigma)$ are known. We now discuss how to infer the parameters themselves. We will assume the data has the form $x_i \sim N(\mu, \Sigma)$ for $i = 1: N$ and is fully observed, so we have no missing data (see Section 11.6.1 for how to estimate parameters of an MVN in the presence of missing values). To simplify the presentation, we derive the posterior in three parts: first we compute $p(\mu|D, \Sigma)$; then we compute $p(\Sigma|D, \mu)$; finally we compute the joint $p(\mu, \Sigma|D)$.

4.6.1 Posterior distribution of μ

We have discussed how to compute the MLE for μ ; we now discuss how to compute its posterior, which is useful for modeling our uncertainty about its value.

The likelihood has the form

$$p(D|\mu) = N(x|\mu, 1/N \Sigma) \quad (4.171)$$

For simplicity, we will use a conjugate prior, which in this case is a Gaussian. In particular, if $p(\mu) = N(\mu|m_0, V_0)$ then we can derive a Gaussian posterior for μ based on the results in Section 4.4.2.2. We get

$$p(\mu|D, \Sigma) = N(\mu|m_N, V_N) \quad (4.172)$$

$$V_N = V_0 + N\Sigma^{-1} \quad (4.173)$$

$$m_N = V_N(\Sigma^{-1}(x) + V_0^{-1} m_0) \quad (4.174)$$

This is exactly the same process as inferring the location of an object based on noisy radar “blips”, except now we are inferring the mean of a distribution based on noisy samples. (To a Bayesian, there is no difference between uncertainty about parameters and uncertainty about anything else.) We can model an uninformative prior by setting $V_0 = \infty I$. In this case we have $p(\mu|D, \Sigma) = N(\mu, 1/N\Sigma)$,

so the posterior mean is equal to the MLE. We also see that the posterior variance goes down as $1/N$, which is a standard result from frequentist statistics.

已思考 7s

好！我先把原文逐句完整翻译，再用基础且详尽的方式解释要点与公式。

翻译（无遗漏）

4.6 推断多元高斯 (MVN) 的参数

到目前为止，我们一直在讨论在高斯分布中进行推断时假定参数 $\theta = (\mu, \Sigma)$ 已知。现在我们来讨论**如何对参数本身进行推断**。我们将假设数据的形式为 $x_i \sim N(\mu, \Sigma)$ ($i = 1:N$)，并且都是完全观察到的，因此**没有缺失数据**（关于在存在缺失值时如何估计 MVN 的参数，见 11.6.1 节）。为简化叙述，我们把后验的推导分成三部分：先计算 $p(\mu | D, \Sigma)$ ；再计算 $p(\Sigma | D, \mu)$ ；最后计算联合的 $p(\mu, \Sigma | D)$ 。

4.6.1 μ 的后验分布

我们已经讨论过 μ 的极大似然估计；现在来讨论它的**后验分布**，这对刻画我们对其取值的不确定性很有用。

似然函数为

$$p(D | \mu) = N(\bar{x} | \mu, \frac{1}{N}\Sigma) \quad (4.171)$$

为简便起见，我们使用**共轭先验**，在本例中就是高斯先验。具体地，若

$$p(\mu) = N(\mu | m_0, V_0),$$

那么利用 4.4.2.2 节的结果可以推导出 μ 的高斯后验：

$$p(\mu | D, \Sigma) = N(\mu | m_N, V_N) \quad (4.172)$$

$$V_N^{-1} = V_0^{-1} + N\Sigma^{-1} \quad (4.173)$$

$$m_N = V_N(\Sigma^{-1}(N\bar{x}) + V_0^{-1}m_0) \quad (4.174)$$

这与“根据带噪雷达回波推断物体位置”的过程完全相同，只是现在我们是**用带噪样本来推断分布的均值**。（对贝叶斯学派来说，对“参数”的不确定与对其他事物的不确定并无本质区别。）

我们可以通过令 $V_0 = \infty I$ 来建模**非信息化先验**。此时

$$p(\mu | D, \Sigma) = N(\bar{x}, \frac{1}{N}\Sigma),$$

因此后验均值等于 MLE (样本均值 \bar{x})。同时可以看到，后验方差按 $1/N$ 下降，这是频率学派统计中的一个标准结果。

解释 (基础且详尽)

1) 场景与假设

- 有 N 个独立样本 $x_i \in \mathbb{R}^D$, 都来自同一个 MVN: $N(\mu, \Sigma)$ 。
- 本节先把 Σ 当作已知, 只推断 μ ; 后面小节再推断 Σ 。

2) 为什么式 (4.171) 的似然长这样?

- 把 μ 当未知、数据 $D = \{x_i\}$ 当已知, 样本均值 $\bar{x} = \frac{1}{N} \sum x_i$ 是充分统计量。
- $\bar{x} | \mu \sim N(\mu, \frac{1}{N}\Sigma)$ 。
- 因此 $p(D | \mu)$ (看作 μ 的函数) 等价于上式中的高斯密度。

3) 共轭先验与后验 (4.172–4.174) 怎么解读?

- 先验: $\mu \sim N(m_0, V_0)$ 。
- 后验精度: $V_N^{-1} = V_0^{-1} + N\Sigma^{-1}$ 。

“信息相加”原则：后验的不确定性 = 先验不确定性 + 数据提供的信息。

- 后验均值:

$$m_N = \underbrace{V_N \Sigma^{-1} N \bar{x}}_{\text{数据权重}} + \underbrace{V_N V_0^{-1} m_0}_{\text{先验权重}}$$

是样本均值与先验均值的精度加权平均。数据越可靠 (Σ 小、 N 大), 权重越偏向 \bar{x} 。

4) 非信息化先验的极限

- $V_0 = \infty I \Rightarrow V_0^{-1} = 0$: 等价于“我对 μ 没有先验偏好”。
- 得到 $m_N = \bar{x}$, $V_N = \frac{1}{N}\Sigma$ 。
- 这说明: 样本均值就是 μ 的后验均值, 且不确定性随 N 以 $1/N$ 缩小 (标准误差 $\propto 1/\sqrt{N}$)。

5) 与“雷达回波定位”的类比

- 把每个 x_i 看成“围绕真实位置 μ ”的带噪测量; 测量噪声协方差为 Σ 。
- 多次观测 \Rightarrow 精度相加; 后验均值是先验与观测的折中。

6) 实用结论

- 构造 μ 的置信/可信区间: 后验 $N(m_N, V_N)$ 直接给出。

- 随样本量增长，区间宽度按 $1/\sqrt{N}$ 收缩。
- 若你有先验知识 (m_0, V_0) ，它会在小样本时显著影响 m_N ；样本多时数据占主导。

如果你希望，我可以用一个简单的 2 维小例子，数值展示 N 和 Σ 改变时 m_N, V_N 的变化，并画出后验等高线，让这些公式更加直观。

翻译并解释以下内容，翻译不能有遗漏，解释请基础且详尽，因为我的数学基础不太好。

4.6.2 Posterior distribution of Σ^*

We now discuss how to compute $p(\Sigma|D, \mu)$. The likelihood has the form

$$p(D|\mu, \Sigma) \propto |\Sigma|^{-N/2} \exp(-\frac{1}{2} \text{tr}(S\mu\Sigma^{-1})) \quad (4.175)$$

The corresponding conjugate prior is known as the inverse Wishart distribution (Section 4.5.1). Recall that this has the following pdf:

$$IW(\Sigma|S^{-1}I_0, v_0) \propto |\Sigma|^{-(v_0 + D + 1)/2} \exp(-\frac{1}{2} \text{tr}(S_0\Sigma^{-1})) \quad (4.176)$$

Here $v_0 > D - 1$ is the degrees of freedom (dof), and S_0 is a symmetric pd matrix. We see that $S^{-1}I_0$ plays the role of the prior scatter matrix, and $N_0 = v_0 + D + 1$ controls the strength of the prior, and hence plays a role analogous to the sample size N .

Multiplying the likelihood and prior we find that the posterior is also inverse Wishart:

$$\begin{aligned} p(\Sigma|D, \mu) &\propto |\Sigma|^{-N/2} \exp(-\frac{1}{2} \text{tr}(\Sigma^{-1}S\mu)) |\Sigma|^{-(v_0 + D + 1)/2} \\ &\exp(-\frac{1}{2} \text{tr}(\Sigma^{-1}S_0)) \end{aligned} \quad (4.177)$$

$$= |\Sigma|^{-N + (v_0 + D + 1)/2} \exp(-\frac{1}{2} \text{tr}(\Sigma^{-1}(S\mu + S_0))) \quad (4.178)$$

$$= IW(\Sigma|S_N, v_N) \quad (4.179)$$

$$v_N = v_0 + N \quad (4.180)$$

$$S_N = S_0 + S\mu \quad (4.181)$$

In words, this says that the posterior strength v_N is the prior strength v_0 plus the number of observations N , and the posterior scatter matrix S_N is the prior scatter matrix S_0 plus the data scatter matrix $S\mu$.

好，我先逐句完整翻译原文，然后再用基础且详细的方式解释公式和概念。

翻译 (无遗漏)

4.6.2 协方差矩阵 Σ 的后验分布

我们现在讨论如何计算 $p(\Sigma | D, \mu)$ 。其似然函数的形式是

$$p(D | \mu, \Sigma) \propto |\Sigma|^{-N/2} \exp\left(-\frac{1}{2} \text{tr}(S_\mu \Sigma^{-1})\right) \quad (4.175)$$

这里的共轭先验称为逆 Wishart 分布 (见 4.5.1 节)。回忆一下，它的概率密度函数为

$$\text{IW}(\Sigma | S_0^{-1}, v_0) \propto |\Sigma|^{-(v_0+D+1)/2} \exp\left(-\frac{1}{2} \text{tr}(S_0 \Sigma^{-1})\right) \quad (4.176)$$

其中 $v_0 > D - 1$ 是自由度 (degrees of freedom, dof)， S_0 是一个对称正定矩阵。我们看到， S_0^{-1} 扮演了先验散布矩阵 (scatter matrix) 的角色，而 $N_0 = v_0 + D + 1$ 控制了先验的强度，因此其作用类似于样本量 N 。

将似然和先验相乘，我们得到后验也是逆 Wishart 分布：

$$p(\Sigma | D, \mu) \propto |\Sigma|^{-N/2} \exp\left(-\frac{1}{2} \text{tr}(\Sigma^{-1} S_\mu)\right) |\Sigma|^{-(v_0+D+1)/2} \exp\left(-\frac{1}{2} \text{tr}(\Sigma^{-1} S_0)\right) \quad (4.177)$$

$$= |\Sigma|^{-(N+v_0+D+1)/2} \exp\left(-\frac{1}{2} \text{tr}[\Sigma^{-1} (S_\mu + S_0)]\right) \quad (4.178)$$

$$= \text{IW}(\Sigma | S_N, v_N) \quad (4.179)$$

$$v_N = v_0 + N \quad (4.180)$$

$$S_N^{-1} = S_0 + S_\mu \quad (4.181)$$

用文字来说，这说明：后验的强度 v_N 等于先验强度 v_0 加上观测数量 N ，而后验的散布矩阵 S_N 等于先验散布矩阵 S_0 加上数据的散布矩阵 S_μ 。

解释 (基础且详尽)

1. 场景和问题

- 我们已经知道均值 μ (上一节中这是已知的情况)。
- 现在要根据数据 $D = \{x_1, x_2, \dots, x_N\}$ 来推断协方差矩阵 Σ 。
- 目标：得到 Σ 的后验分布 $p(\Sigma | D, \mu)$ 。

2. 似然函数 (4.175) 的来源

- 多元正态分布的似然（假设 μ 已知）是：

$$p(D | \mu, \Sigma) = (2\pi)^{-ND/2} |\Sigma|^{-N/2} \exp\left(-\frac{1}{2} \sum_{i=1}^N (x_i - \mu)^T \Sigma^{-1} (x_i - \mu)\right)$$

- 把求和写成矩阵迹（trace）形式，用

$$S_\mu = \sum_{i=1}^N (x_i - \mu)(x_i - \mu)^T$$

得到式 (4.175)。

关键词：

- S_μ = 数据的“散布矩阵”（scatter matrix），衡量数据的总体离散程度。
-

3. 为什么选择逆 Wishart 作为先验 (4.176)

- 协方差矩阵必须是**对称正定**的，逆 Wishart 分布就是定义在这类矩阵上的共轭先验。
 - 共轭先验的好处：似然 \times 先验 \rightarrow 后验**还是同一类分布**，计算方便。
 - 参数：
 - S_0 ：先验的散布矩阵，反映我们对协方差结构的先验信念。
 - v_0 ：自由度，控制先验的强度。数值越大，先验越“坚决”（不容易被数据改变）。
-

4. 后验推导 (4.177)–(4.179)

- 将似然 (4.175) 与先验 (4.176) 相乘：
 - 两个 $|\Sigma|$ 的幂次合并 \rightarrow 得到 $|\Sigma|^{-(N+v_0+D+1)/2}$ 。
 - 两个指数部分的迹（trace）相加 \rightarrow 得到 $S_\mu + S_0$ 。
- 得到的形式与逆 Wishart 分布完全一样 \rightarrow 后验仍是逆 Wishart：

$$\Sigma | D, \mu \sim \text{IW}(S_N, v_N)$$

5. 参数更新公式的意义 (4.180)–(4.181)

- **后验自由度：**

$$v_N = v_0 + N$$

\rightarrow 数据量 N 相当于增加了先验的“观测次数”。

- **后验散布矩阵：**

$$S_N = (S_0 + S_\mu)^{-1}$$

→ 数据的散布矩阵 S_μ 与先验的散布矩阵 S_0 相加，得到新的散布程度。

6. 直观理解

- 把协方差估计想象成量杯装水：
 - 先验 S_0, v_0 就像杯子里已有的水（先验信息）。
 - 数据 S_μ, N 就像新倒进的水（观测信息）。
 - 混合后得到新的后验（更新的信念）。
- 数据越多 (N 大)，后验越接近由数据直接估计的协方差。
- 数据少时，先验的影响更大。

如果你愿意，我可以画一个二维例子：

- 先验 S_0 给出一个大致的椭圆（协方差等高线）。
- 加入数据后，后验的椭圆会逐渐缩小并朝着样本散布的方向调整。

这样你会更直观地看到公式 (4.179)–(4.181) 的效果。

你想让我帮你画这个二维图吗？这样更好理解。



已上传的图片

翻译并解释以下内容，翻译不能有遗漏，解释请基础且详尽，因为我的数学基础不太好。

Figure 4.17 Estimating a covariance matrix in $D = 50$ dimensions using $N \in \{100, 50, 25\}$ samples. We plot the eigenvalues in descending order for the true covariance matrix (solid black), the MLE (dotted blue) and the MAP estimate (dashed red), using Equation 4.184 with $\lambda = 0.9$.

We also list the condition number of each matrix in the legend. Based on Figure 1 of (Schaefer and Strimmer 2005). Figure generated by shrinkcovDemo.

4.6.2.1 MAP estimation

We see from Equation 4.7 that $\hat{\Sigma}^{\text{mle}}$ is a rank $\min(N, D)$ matrix. If $N < D$, this is not full rank, and hence will be uninvertible. And even if $N > D$, it may be the case that $\hat{\Sigma}^{\text{mle}}$ is ill-conditioned (meaning it is nearly singular).

To solve these problems, we can use the posterior mode (or mean). One can show (using techniques analogous to the derivation of the MLE) that the MAP estimate is given by

$$\hat{\Sigma}^{\text{map}} = S_N v_N + D + 1 = S_0 + S \mu N_0 + N \quad (4.182)$$

If we use an improper uniform prior, corresponding to $N_0 = 0$ and $S_0 = 0$, we recover the MLE.

Let us now consider the use of a proper informative prior, which is necessary whenever D/N is large (say bigger than 0.1). Let $\mu = x$, so $S\mu = Sx$. Then we can rewrite the MAP estimate as a convex combination of the prior mode and the MLE. To see this, let $\Sigma_0 = S_0 N_0$ be the prior mode.

Then the posterior mode can be rewritten as

$$\begin{aligned} \hat{\Sigma}^{\text{map}} &= S_0 + Sx N_0 + N = N_0 N_0 + N S_0 N_0 + N N_0 + N S \\ &= \lambda \Sigma_0 + (1 - \lambda) \hat{\Sigma}^{\text{mle}} \end{aligned} \quad (4.183)$$

where $\lambda = N_0 N_0 + N$, controls the amount of shrinkage towards the prior.

This begs the question: where do the parameters of the prior come from? It is common to set λ by cross validation. Alternatively, we can use the closed-form formula provided in (Ledoit and Wolf 2004b,a; Schaefer and Strimmer 2005), which is the optimal frequentist estimate if we use squared loss. This is arguably not the most natural loss function for covariance matrices (because it ignores the positive definite constraint), but it results in a simple estimator, which is implemented in the PMTK function shrinkcov. We discuss Bayesian ways of estimating λ later.

As for the prior covariance matrix, S_0 , it is common to use the following (data dependent) prior: $S_0 = \text{diag}(\hat{\Sigma}^{\text{mle}})$. In this case, the MAP estimate is given by

$$\hat{\Sigma}^{\text{map}}(i, j) = \hat{\Sigma}^{\text{mle}}(i, j) \text{ if } i = j \quad (1 - \lambda) \hat{\Sigma}^{\text{mle}}(i, j) \text{ otherwise} \quad (4.184)$$

Thus we see that the diagonal entries are equal to their

ML estimates, and the off diagonal elements are "shrunk" somewhat towards 0. This technique is therefore called shrinkage estimation, or regularized estimation. The benefits of MAP estimation are illustrated in Figure 4.17. We consider fitting a 50 dimensional Gaussian to $N = 100$, $N = 50$ and $N = 25$ data points. We see that the MAP estimate is always well-conditioned, unlike the MLE. In particular, we see that the eigenvalue spectrum of the MAP estimate is much closer to that of the true matrix than the MLE's. The eigenvectors, however, are unaffected. The importance of regularizing the estimate of Σ will become apparent in later chapters, when we consider fitting covariance matrices to high dimensional data.

已思考 12s

好的！我先把原文逐句完整翻译，再用基础且详尽的方式解释关键概念（为什么要作 MAP、什么是“收缩”(shrinkage)、图里曲线代表什么、条件数是什么意思等）。

翻译（无遗漏）

图 4.17 在 $D = 50$ 维下，用 $N \in \{100, 50, 25\}$ 个样本估计协方差矩阵。我们按从大到小的顺序绘制真实协方差矩阵（黑色实线）、极大似然估计 MLE（蓝色点划线）以及 MAP 估计（红色虚线）的特征值；MAP 使用式 (4.184) 且 $\lambda = 0.9$ 。图例中还给出了每个矩阵的条件数。该图基于 (Schaefer and Strimmer, 2005) 图 1，由 `shrinkcovDemo` 生成。

4.6.2.1 MAP 估计

由式 (4.7) 可知， $\hat{\Sigma}_{\text{mle}}$ 的秩为 $\min(N, D)$ 。如果 $N < D$ ，它就不是满秩，因此不可逆。即使 $N > D$ ， $\hat{\Sigma}$ 也可能病态（数值上接近奇异）。

为了解决这些问题，我们可以使用后验众数（或后验均值）。可以证明（推导与 MLE 类似）MAP 估计为

$$\hat{\Sigma}_{\text{map}} = \frac{S_N}{v_N + D + 1} = \frac{S_0 + S_\mu}{N_0 + N} \quad (4.182)$$

如果使用不正规的一致先验（对应 $N_0 = 0$, $S_0 = 0$ ），就会回到 MLE。

现在考虑正规、信息性的先验（当 D/N 很大时必须用，比如 $D/N > 0.1$ ）。令 $\mu = \bar{x}$ ，因此 $S_\mu = S_{\bar{x}}$ 。于是我们能把 MAP 写成先验众数与 MLE 的凸组合。令 $\Sigma_0 = \frac{S_0}{N_0}$ 为先验众数，则后验众数可写成

$$\hat{\Sigma}_{\text{map}} = \frac{S_0 + S_{\bar{x}}}{N_0 + N} = \frac{N_0}{N_0 + N} \frac{S_0}{N_0} + \frac{N}{N_0 + N} \frac{S_{\bar{x}}}{N} = \lambda \Sigma_0 + (1 - \lambda) \hat{\Sigma}_{\text{mle}} \quad (4.183)$$

其中 $\lambda = \frac{N_0}{N_0 + N}$ 控制向先验收缩的强度。

随之而来的问题是：**先验参数从哪来？**

常见做法是用**交叉验证**选择 λ 。另一种做法是使用 (Ledoit & Wolf, 2004; Schaefer & Strimmer, 2005) 给出的闭式公式——在**平方损失**下它是最优的频率学派估计。尽管平方损失对协方差矩阵不是最自然的（它忽略了正定约束），但由此得到的估计器很简单，PMTK 中的 `shrinkcov` 就实现了它。我们稍后会讨论贝叶斯方式估计 λ 。

至于先验协方差矩阵 S_0 ，常用一个**依赖数据的先验**：

$$S_0 = \text{diag}(\hat{\Sigma}_{\text{mle}})$$

这时，MAP 估计为

$$\hat{\Sigma}_{\text{map}}(i, j) = \begin{cases} \hat{\Sigma}_{\text{mle}}(i, i), & i = j \\ (1 - \lambda) \hat{\Sigma}_{\text{mle}}(i, j), & i \neq j \end{cases} \quad (4.184)$$

可见，对角元素等于它们的 ML 估计，而非对角元素被向 0 “收缩”了一些。因此该技术称为**收缩估计或正则化估计**。图 4.17 展示了 MAP 的好处：我们在 $D = 50$ 维上分别用 $N = 100, 50, 25$ 个样本拟合高斯。可以看到，MAP 估计总是**条件良好**，而 MLE 不是。特别地，MAP 的**特征值谱**比 MLE 更接近真实矩阵。**另一方面，特征向量不受影响**。在后续章节，当我们在高维数据上拟合协方差矩阵时，就会更深刻体会到对 Σ 做正则化的重要性。

解释（基础且详尽）

1) 为什么 MLE 会出问题？

- 样本协方差的 MLE 是

$$\hat{\Sigma}_{\text{mle}} = \frac{1}{N} \sum (x_i - \bar{x})(x_i - \bar{x})^T,$$
 它最多只有 $\min(N, D)$ 个非零特征值。
- 当 $N < D$ ：必然奇异（不可逆）。很多算法（马氏距离、判别分析、卡尔曼滤波等）都需要 Σ^{-1} ，会直接崩。
- 当 N 不远大于 D ：即使可逆，往往病态（最小特征值极小），数值计算不稳定、泛化差。

图 4.17 的蓝线在 $N = 50, 25$ 时就体现了：特征值急剧下落甚至为 0，对应图例里的巨大**条件数** $k = \lambda_{\max}/\lambda_{\min}$ （比如 $10^{17}, 10^{18}$ ），说明非常接近奇异。

2) MAP 如何“救场”?

- 用逆 Wishart 先验 + 多元高斯似然，后验仍是逆 Wishart：共轭 → 有闭式解。
- MAP (后验众数) = 先验众数与样本协方差的凸组合 (式 4.183)。
- 直觉：
 - λ 大 \Rightarrow 更信先验 (相关更弱、数值更稳)
 - λ 小 \Rightarrow 更信数据 (相关更强、但可能不稳)

3) “对角先验 + 收缩”的意义 (式 4.184)

- 取 $S_0 = \text{diag}(\hat{\Sigma}_{\text{mle}})$ \Rightarrow 先验认为“各特征无相关，方差取自数据的对角”。
- MAP 把**相关 (非对角) **按 $1 - \lambda$ 缩小：
 - 当数据不多或噪声大时，相关系数往往被高估；适度收缩能显著降低方差、提升稳健性；
 - 对角项保持不变，保留每个维度的方差尺度。

4) 图 4.17 怎么读？

- 横轴：前 25 个特征值的序号（从大到小）；纵轴：对应特征值大小。
- 黑线：真实协方差的谱（目标）。
- 蓝线 (MLE)：样本少时谱“塌”得厉害，小特征值被压成 0 (奇异) 或极小 (病态)。
- 红线 (MAP, $\lambda = 0.9$)：谱更“饱满”、更接近黑线；图例中的条件数 k 明显更小 (更稳定)。
- 文中还指出：特征向量不受影响 (此为原文表述)。

5) λ 怎么选？

- 实务中常用交叉验证；
- 也可用 Ledoit–Wolf/Schaefer–Strimmer 的闭式公式 (在平方损失下最优)，PMTK 的 `shrinkcov` 就实现了它；
- 更“贝叶斯”的做法是给 λ 也放先验，再推断 (书后续会讲)。

6) 小结 (记忆点)

- 问题：高维/小样本 \Rightarrow MLE 奇异/病态。
- 解法：用逆 Wishart 先验做 MAP (或后验均值)，得到

$$\hat{\Sigma}_{\text{map}} = \lambda \Sigma_0 + (1 - \lambda) \hat{\Sigma}_{\text{mle}}$$
- 常用先验： $\Sigma_0 = \text{diag}(\hat{\Sigma}_{\text{mle}})$ ；非对角收缩 (式 4.184)。
- 效果：改善数值稳定性 (条件数下降)、特征值谱更接近真实，泛化更好。

如果你愿意，我可以拿你自己的数据，给你算出 MLE 与几种收缩强度下的 MAP，并画出像图 4.17 那样的**特征值谱对比 + 条件数**，直观看看差异。



翻译并解释以下内容，翻译不能有遗漏，解释请基础且详尽，因为我的数学基础不太好。

Figure 4.18 Sequential updating of the posterior for σ^2 starting from an uninformative prior. The data was generated from a Gaussian with known mean $\mu = 5$ and unknown variance $\sigma^2 = 10$. Figure generated by gaussSeqUpdateSigma1D.

4.6.2.2 Univariate posterior

In the 1d case, the likelihood has the form

$$p(D|\sigma^2) \propto (\sigma^2)^{-N/2} \exp(-\frac{1}{2\sigma^2} \sum_{i=1}^N (x_i - \mu)^2) \quad (4.185)$$

The standard conjugate prior is the inverse Gamma distribution, which is just the scalar version of the inverse Wishart:

$$IG(\sigma^2|a_0, b_0) \propto (\sigma^2)^{-a_0-1} \exp(-\frac{b_0}{\sigma^2}) \quad (4.186)$$

Multiplying the likelihood and the prior, we see that the posterior is also IG:

$$p(\sigma^2|D) = IG(\sigma^2|a_N, b_N) \quad (4.187)$$

$$a_N = a_0 + N/2 \quad (4.188)$$

$$b_N = b_0 + \frac{1}{2} \sum_{i=1}^N (x_i - \mu)^2 \quad (4.189)$$

See Figure 4.18 for an illustration. The form of the posterior is not quite as pretty as the multivariate case, because of the factors of 1/2. This arises because $IW(\sigma^2|s_0, v_0) = IG(\sigma^2|s_0/2, v_0/2)$. Another problem with

using the $\text{IG}(a_0, b_0)$ distribution is that the strength of the prior is encoded in both a_0 and b_0 . To avoid both of these problems, it is common (in the statistics literature) to use an alternative parameterization of the IG distribution, known as the (scaled) inverse chi-squared distribution.

This is defined as follows:

$$\chi^{-2}(\sigma^2 | v_0, \sigma^2_0) = \text{IG}(\sigma^2 | v_0/2, v_0\sigma^2_0/2) \propto (\sigma^2)^{-v_0/2 - 1} \exp(-v_0\sigma^2_0/2\sigma^2) \quad (4.190)$$

Here v_0 controls the strength of the prior, and σ^2_0 encodes the value of the prior. With this prior, the posterior becomes

$$p(\sigma^2 | D, \mu) = \chi^{-2}(\sigma^2 | v_N, \sigma^2_N) \quad (4.191)$$

$$v_N = v_0 + N \quad (4.192)$$

$$\sigma^2_N = v_0\sigma^2_0 + N \sum_{i=1}^N (x_i - \mu)^2/v_N \quad (4.193)$$

We see that the posterior dof v_N is the prior dof v_0 plus N , and the posterior sum of squares $v_N\sigma^2_N$ is the prior sum of squares $v_0\sigma^2_0$ plus the data sum of squares.

We can emulate an uninformative prior, $p(\sigma^2) \propto \sigma^{-2}$, by setting $v_0 = 0$, which makes intuitive sense (since it corresponds to a zero virtual sample size).

好的，我先逐句翻译原文，再用基础且详细的方式解释这个图 (Figure 4.18) 和公式背后的意义。

翻译（无遗漏）

图 4.18 从一个无信息先验 (uninformative prior) 开始，对 σ^2 的后验分布进行顺序更新 (sequential updating)。数据是从均值已知 $\mu = 5$ 、方差未知 $\sigma^2 = 10$ 的高斯分布中生成的。该图由 `gaussSeqUpdateSigma1D` 生成。

4.6.2.2 一维后验分布 (Univariate posterior)

在一维情况下，似然的形式为

$$p(D | \sigma^2) \propto (\sigma^2)^{-N/2} \exp\left(-\frac{1}{2\sigma^2} \sum_{i=1}^N (x_i - \mu)^2\right) \quad (4.185)$$

标准的共轭先验是逆 Gamma 分布 (inverse Gamma)，它就是逆 Wishart 的标量版本：

$$\text{IG}(\sigma^2 | a_0, b_0) \propto (\sigma^2)^{-(a_0+1)} \exp\left(-\frac{b_0}{\sigma^2}\right) \quad (4.186)$$

将似然和先验相乘，可得后验同样是逆 Gamma 分布：

$$p(\sigma^2 | D) = \text{IG}(\sigma^2 | a_N, b_N) \quad (4.187)$$

其中

$$a_N = a_0 + \frac{N}{2} \quad (4.188)$$

$$b_N = b_0 + \frac{1}{2} \sum_{i=1}^N (x_i - \mu)^2 \quad (4.189)$$

图 4.18 给出了一个例子。这个后验形式比多元情况稍微“丑”一点，因为它里面有 $\frac{1}{2}$ 因子。这是因为 $\text{IW}(\sigma^2 | s_0, v_0) = \text{IG}(\sigma^2 | s_0/2, v_0/2)$ 。

使用 $\text{IG}(a_0, b_0)$ 的另一个问题是，先验的“强度”同时编码在 a_0 和 b_0 中。

为了避免这两个问题，统计学文献中常用逆 Gamma 分布的另一种参数化形式，叫做**（缩放的）逆卡方分布（scaled inverse chi-squared distribution）**：

$$\chi^{-2}(\sigma^2 | v_0, \sigma_0^2) = \text{IG}(\sigma^2 \mid \frac{v_0}{2}, \frac{v_0 \sigma_0^2}{2}) \propto (\sigma^2)^{-v_0/2-1} \exp\left(-\frac{v_0 \sigma_0^2}{2\sigma^2}\right) \quad (4.190)$$

其中 v_0 控制先验的强度（degrees of freedom, 自由度）， σ_0^2 表示先验的值（即对方差的先验预期）。

在这种先验下，后验为：

$$p(\sigma^2 | D, \mu) = \chi^{-2}(\sigma^2 | v_N, \sigma_N^2) \quad (4.191)$$

$$v_N = v_0 + N \quad (4.192)$$

$$\sigma_N^2 = \frac{v_0 \sigma_0^2 + \sum_{i=1}^N (x_i - \mu)^2}{v_N} \quad (4.193)$$

可以看到，后验的自由度 $v_N =$ 先验自由度 $v_0 +$ 样本数 N ，而后验的平方和 $v_N \sigma_N^2 =$ 先验平方和 $v_0 \sigma_0^2 +$ 数据平方和。

我们可以通过设 $v_0 = 0$ 来模拟一个无信息先验 $p(\sigma^2) \propto \sigma^{-2}$ ，这样直观上相当于“虚拟样本数”为 0。

解释（基础且详尽）

1) 图的含义 (Figure 4.18)

- **横轴：** 方差 σ^2 的可能值

- **纵轴**: 给定数据后的后验概率密度
- 四条曲线对应不同的样本数 N :
 - 蓝色 ($N = 2$) : 分布很宽, 表示不确定性很大
 - 红色 ($N = 5$) : 变窄一些, 但仍很分散
 - 黑色 ($N = 50$) : 峰值更高、更集中
 - 绿色 ($N = 100$) : 非常集中在真实方差 $\sigma^2 = 10$ 附近
- 图的标题说明先验为几乎无信息: $v_0 = 0.001$, $S = 0.001$, 所以最初后验几乎完全由数据决定。

2) 顺序更新的意义

“顺序更新”就是每看到一个新样本, 就用**贝叶斯公式**更新后验, 让它越来越接近真实值。

- 刚开始数据少 \Rightarrow 后验分布很宽 \Rightarrow 不确定性大
- 数据多了 \Rightarrow 分布变尖 \Rightarrow 估计更精确

3) 为什么用逆 Gamma / 逆卡方?

- 在已知均值、未知方差的正态模型下, 逆 Gamma 是方差的**共轭先验**, 这样后验也仍是逆 Gamma, 计算方便。
- 逆卡方是逆 Gamma 的重新参数化:
 - v_0 : 直观表示先验的“样本强度”
 - σ_0^2 : 直观表示先验预期的方差值
 这样调参更直观, 不用在 a_0, b_0 里分拆含义。

4) 公式解释

- **似然** (4.185): 来自正态分布已知均值时的方差似然, 方差出现在分母 \Rightarrow 数据越偏离均值, 越不支持小方差。
- **先验** (4.186): 逆 Gamma 偏好较大的方差或较小的方差, 取决于参数。
- **后验** (4.187)-(4.189): 贝叶斯公式加起来, 指数和幂次的形式保持不变, 所以仍是逆 Gamma。
- **逆卡方形式** (4.190)-(4.193): 让“先验强度 + 数据强度”的更新规则显而易见:
 - 自由度: 加法累积
 - 方差估计: 先验平方和 + 数据平方和, 再除以总自由度

5) 无信息先验的直觉

- 设 $v_0 = 0 \Rightarrow$ 就像完全没有先验样本
- 早期后验几乎全由观测决定, 随着数据增加, 不确定性自然减小

如果你愿意，我可以帮你用 Python 模拟这个过程，生成和 Figure 4.18 一样的顺序更新动画，这样你能直观感受后验分布如何随 N 从“扁平”变成“尖锐”。这样学习会更直观。

翻译并解释以下内容，翻译不能有遗漏，解释请基础且详尽，因为我的数学基础不太好。

4.6.3 Posterior distribution of μ and Σ^*

We now discuss how to compute $p(\mu, \Sigma | D)$. These results are a bit complex, but will prove useful later on in this book. Feel free to skip this section on a first reading.

4.6.3.1 Likelihood

The likelihood is given by

$$p(D|\mu, \Sigma) = (2\pi)^{-ND/2} |\Sigma|^{-N/2} \exp \left(-\frac{1}{2} \sum_{i=1}^N (x_i - \mu)^T \Sigma^{-1} (x_i - \mu) \right) \quad (4.194)$$

Now one can show that

$$\sum_{i=1}^N (x_i - \mu)^T \Sigma^{-1} (x_i - \mu) = \text{tr}(\Sigma^{-1} S x) + N(x - \mu)^T \Sigma^{-1} (x - \mu) \quad (4.195)$$

Hence we can rewrite the likelihood as follows:

$$p(D|\mu, \Sigma) = (2\pi)^{-ND/2} |\Sigma|^{-N/2} \exp \left(-\frac{1}{2} (\mu - x)^T \Sigma^{-1} (\mu - x) \right) \quad (4.196)$$

$$= (2\pi)^{-ND/2} \exp \left(-\frac{1}{2} \text{tr}(\Sigma^{-1} S x) \right) \quad (4.197)$$

We will use this form below.

4.6.3.2 Prior

The obvious prior to use is the following

$$p(\mu, \Sigma) = N(\mu | m_0, V_0) IW(\Sigma | S_0, V_0) \quad (4.198)$$

Unfortunately, this is not conjugate to the likelihood. To see why, note that μ and Σ appear together in a non-factorized way in the likelihood; hence they will also be coupled together in the posterior. The above prior is sometimes called semi-conjugate or conditionally conjugate, since both conditionals, $p(\mu|\Sigma)$ and $p(\Sigma|\mu)$, are individually conjugate. To create a full conjugate prior, we need to use a prior where μ and Σ are dependent on each other. We will use a joint distribution of the form

$$p(\mu, \Sigma) = p(\Sigma)p(\mu|\Sigma) \quad (4.199)$$

Looking at the form of the likelihood equation, Equation 4.197, we see that a natural conjugate prior has the form of a Normal-inverse-wishart or NIW distribution, defined

as follows:

$$\text{NIW}(\mu, \Sigma | m_0, \kappa_0, v_0, S_0) = (4.200)$$

$$N(\mu | m_0, 1/\kappa_0 \Sigma) \times IW(\Sigma | S_0, v_0) \quad (4.201)$$

$$= 1/Z \text{NIW} |\Sigma|^{-1/2} \exp(-\kappa_0/2) (\mu - m_0)^T \Sigma^{-1} (\mu - m_0), \quad (4.202)$$

$$\times |\Sigma|^{-v_0/2 + D/2} \exp(-D/2) \text{tr}(\Sigma^{-1} S_0) \quad (4.203)$$

$$= 1/Z \text{NIW} |\Sigma|^{-v_0/2 + D/2} \quad (4.204)$$

$$\times \exp(-\kappa_0/2) (\mu - m_0)^T \Sigma^{-1} (\mu - m_0) - D/2 \text{tr}(\Sigma^{-1} S_0) \quad (4.205)$$

$$Z \text{NIW} = 2v_0 D / 2\Gamma(D/2)(2\pi/\kappa_0) D / 2|S_0|^{1/2} v_0^{D/2} \quad (4.206)$$

where $\Gamma(a)$ is the multivariate Gamma function. The parameters of the NIW can be interpreted as follows: m_0 is our prior mean for μ , and κ_0 is how strongly we believe this prior; and S_0 is (proportional to) our prior mean for Σ , and v_0 is how strongly we believe this prior.³ One can show (Minka 2000f) that the (improper) uninformative prior has the form

$$\lim_{k \rightarrow 0} N(\mu | m_0, \Sigma/k) IW(\Sigma | S_0, k) \propto |2\pi\Sigma|^{-1/2} |\Sigma|^{-(D+1)/2} \quad (4.207)$$

$$\propto |\Sigma|^{-(D/2 + 1)} \propto \text{NIW}(\mu, \Sigma | 0, 0, 0, 0) \quad (4.208)$$

In practice, it is often better to use a weakly informative data-dependent prior. A common choice (see e.g., (Chipman et al. 2001, p81), (Fraley and Raftery 2007, p6)) is to use $S_0 = \text{diag}(S_x)/N$, and $v_0 = D+2$, to ensure $E[\Sigma] = S_0$, and to set $\mu_0 = \bar{x}$ and κ_0 to some small number, such as 0.01.

好的，我会先逐句翻译原文，然后再用基础且详细的方式解释公式、符号、概念，以及它们之间的关系。

翻译（无遗漏）

4.6.3 μ 和 Σ 的后验分布

我们现在讨论如何计算 $p(\mu, \Sigma | D)$ 。这些结果有点复杂，但在本书后面会非常有用。第一次阅读时，可以选择跳过这一节。

4.6.3.1 似然 (Likelihood)

似然为

$$p(D | \mu, \Sigma) = (2\pi)^{-ND/2} |\Sigma|^{-N/2} \exp\left(-\frac{1}{2} \sum_{i=1}^N (x_i - \mu)^T \Sigma^{-1} (x_i - \mu)\right) \quad (4.194)$$

可以证明：

$$\sum_{i=1}^N (x_i - \mu)^T \Sigma^{-1} (x_i - \mu) = \text{tr}(\Sigma^{-1} S_x) + N(\bar{x} - \mu)^T \Sigma^{-1} (\bar{x} - \mu) \quad (4.195)$$

因此，我们可以将似然改写为：

$$p(D | \mu, \Sigma) = (2\pi)^{-ND/2} |\Sigma|^{-N/2} \exp\left(-\frac{N}{2}(\mu - \bar{x})^T \Sigma^{-1} (\mu - \bar{x})\right) \quad (4.196)$$

$$\times \exp\left(-\frac{N}{2} \text{tr}(\Sigma^{-1} S_x)\right) \quad (4.197)$$

我们将在下面使用这个形式。

4.6.3.2 先验 (Prior)

最显而易见的先验是：

$$p(\mu, \Sigma) = \mathcal{N}(\mu | m_0, V_0) \text{IW}(\Sigma | S_0, v_0) \quad (4.198)$$

不幸的是，这个先验与似然不是共轭的。原因是 μ 和 Σ 在似然中是耦合 (coupled) 的 (即没有分开)，所以在后验中它们也会耦合。

上面的先验有时被称为半共轭 (semi-conjugate) 或条件共轭 (conditionally conjugate)，因为它的两个条件分布 $p(\mu | \Sigma)$ 和 $p(\Sigma | \mu)$ 各自是共轭的。

为了得到一个完全共轭的先验，我们需要让 μ 和 Σ 在先验中也是**相依 (dependent)** 的。

我们使用如下形式的联合分布：

$$p(\mu, \Sigma) = p(\Sigma) p(\mu | \Sigma) \quad (4.199)$$

观察似然式 (4.197) 的形式，我们可以看到，自然的共轭先验是**正态-逆 Wishart 分布 (Normal-inverse-Wishart, NIW)**，定义如下：

$$\text{NIW}(\mu, \Sigma | m_0, \kappa_0, v_0, S_0) = \quad (4.200)$$

$$\mathcal{N}(\mu | m_0, \frac{1}{\kappa_0} \Sigma) \times \text{IW}(\Sigma | S_0, v_0) \quad (4.201)$$

即：

$$= \frac{1}{Z_{\text{NIW}}} |\Sigma|^{-1/2} \exp\left(-\frac{\kappa_0}{2}(\mu - m_0)^T \Sigma^{-1} (\mu - m_0)\right) \quad (4.202)$$

$$\times |\Sigma|^{-(v_0+D+1)/2} \exp\left(-\frac{1}{2}\text{tr}(\Sigma^{-1}S_0)\right) \quad (4.203)$$

$$= \frac{1}{Z_{\text{NIW}}} |\Sigma|^{-(v_0+D+2)/2} \quad (4.204)$$

$$\times \exp\left(-\frac{\kappa_0}{2}(\mu - m_0)^T \Sigma^{-1}(\mu - m_0) - \frac{1}{2}\text{tr}(\Sigma^{-1}S_0)\right) \quad (4.205)$$

其中：

$$Z_{\text{NIW}} = 2^{v_0 D/2} \Gamma_D(v_0/2) (2\pi/\kappa_0)^{D/2} |S_0|^{-v_0/2} \quad (4.206)$$

$\Gamma_D(a)$ 是多元 Gamma 函数。

NIW 参数含义：

- m_0 : 对 μ 的先验均值
- κ_0 : 我们对这个先验的“相信程度”（先验强度）
- S_0 : (成比例地) 表示对 Σ 的先验均值
- v_0 : 我们对 Σ 的先验强度

有人 (Minka, 2000f) 证明, 无信息先验 (improper uninformative prior) 的形式是：

$$\lim_{k \rightarrow 0} N(\mu \mid m_0, \Sigma/k) \text{IW}(\Sigma \mid S_0, k) \propto |2\pi\Sigma|^{-1/2} |\Sigma|^{-(D+1)/2} \quad (4.207)$$

$$\propto |\Sigma|^{-(D/2+1)} \propto \text{NIW}(\mu, \Sigma \mid 0, 0, 0, 0I) \quad (4.208)$$

在实践中, 更好的方法是使用一个**弱信息 (weakly informative) **的、依赖数据的先验。

常见选择是 (见 Chipman et al., 2001, p81; Fraley and Raftery, 2007, p6) :

- $S_0 = \frac{\text{diag}(S_x)}{N}$
- $v_0 = D + 2$ (确保 $E[\Sigma] = S_0$)
- $\mu_0 = \bar{x}$ (样本均值)
- κ_0 取一个较小值, 例如 0.01

详细解释 (适合数学基础不强的理解)

1. 目标是什么

- 我们想同时估计高斯分布的**均值** μ 和 **协方差矩阵** Σ 的后验分布。
- 之前我们是先求 $p(\mu \mid \Sigma, D)$ 或 $p(\Sigma \mid \mu, D)$ 分开算, 但现在要直接处理 $p(\mu, \Sigma \mid D)$
-

2. 为什么困难

- 在似然公式 (4.194) 中, μ 和 Σ 混在一起 (公式里有 Σ 的逆, 还和 μ 的偏差相乘)。
- 如果先验是两个独立的分布 (μ 和 Σ 各有一个), 后验就不会是相同形式 \Rightarrow 不共轭。

3. 半共轭 vs 完全共轭

- **半共轭:** μ 的条件分布和 Σ 的条件分布各自是共轭的, 但两者联合不是共轭的。
- **完全共轭:** 选择一种先验, 让 μ 和 Σ 在先验中也是有依赖关系的, 这样后验仍是同类分布, 方便推导。

4. NIW 分布的设计

- 思路: 先给 Σ 一个逆 Wishart 分布作为先验, 再给 μ 一个依赖 Σ 的正态分布 (方差比例为 Σ/κ_0)。
- 这样 μ 和 Σ 在先验中是耦合的 (相关联的), 数学形式能“对上”似然里的结构。

5. 四个超参数的意义

- m_0 : 先验中 μ 的中心 (均值)
- κ_0 : 控制 μ 的先验方差大小, 值越大 \Rightarrow 越相信 m_0
- S_0 : 先验中 Σ 的中心 (均值的比例)
- v_0 : 对 Σ 的先验强度, 越大表示越相信 S_0

6. 无信息先验

- 当 κ_0, v_0 都接近 0 \Rightarrow 表示先验几乎没有信息, 几乎完全依赖数据。
- 这种情况叫做 improper prior (不正规先验)。

7. 弱信息先验的好处

- 让先验稍微依赖数据, 可以避免数值问题 (比如小样本时协方差不可逆)。
- 常用方法: S_0 用样本方差的对角线除以 N , v_0 取 $D+2$, κ_0 取一个很小的数 (比如 0.01)。

如果你愿意, 我可以帮你画一张NIW的“参数作用示意图”, 让你直观看到 m_0 、 κ_0 、 S_0 、 v_0 分别控制哪部分形状, 这样会更容易记住它的含义。

你需要我画这张图吗? 这样比公式好理解。

翻译并解释以下内容，翻译不能有遗漏，解释请基础且详尽，因为我的数学基础不太好。

4.6.3.3 Posterior

The posterior can be shown (Exercise 4.11) to be NIW with updated parameters:

$$p(\mu, \Sigma | D) = NIW(\mu, \Sigma | mN, \kappa N, vN, SN) \quad (4.209)$$

$$mN = \kappa_0 m_0 + N x \quad \kappa N = \kappa_0 \kappa_0 + N m_0 + N \kappa_0 + N x \quad (4.210)$$

$$\kappa N = \kappa_0 + N \quad (4.211)$$

$$vN = v_0 + N \quad (4.212)$$

$$SN = S_0 + Sx + \kappa_0 N \kappa_0 + N (x - m_0)(x - m_0)^T \quad (4.213)$$

$$= S_0 + S + \kappa_0 m_0 m_0^T 0 - \kappa_0 N m_0 m_0^T N \quad (4.214)$$

where we have defined $S = N \sum_{i=1}^N (x_i - \bar{x})(x_i - \bar{x})^T$ as the uncentered sum-of-squares matrix (this is easier to update incrementally than the centered version). This result is actually quite intuitive: the posterior mean is a convex combination of the prior mean and the MLE, with "strength" $\kappa_0 + N$; and the posterior scatter matrix SN is the prior scatter matrix S_0 plus the empirical scatter matrix Sx plus an extra term due to the uncertainty in the mean (which creates its own virtual scatter matrix).

4.6.3.4 Posterior mode

The mode of the joint distribution has the following form:

$$\operatorname{argmax} p(\mu, \Sigma | D) = (mN, SN, vN + D + 2) \quad (4.215)$$

If we set $\kappa_0 = 0$, this reduces to argmax

$$p(\mu, \Sigma | D) = (x, S_0 + Sx, vN + N + D + 2) \quad (4.216)$$

The corresponding estimate $\hat{\Sigma}$ is almost the same as Equation 4.183, but differs by 1 in the denominator, because this is the mode of the joint, not the mode of the marginal.

4.6.3.5 Posterior marginals

The posterior marginal for Σ is simply

$$p(\Sigma | D) = p(\mu, \Sigma | D) d\mu = IW(\Sigma | SN, vN) \quad (4.217)$$

The mode and mean of this marginal are given by

$$\hat{\Sigma} = SN, vN + D + 1, E[\Sigma] = SN, vN - D - 1 \quad (4.218)$$

One can show that the posterior marginal for μ has a multivariate Student T distribution:

$$p(\mu | D) = p(\mu, \Sigma | D) d\Sigma = T(\mu | mN, 1, \kappa N(vN - D + 1), SN, vN - D + 1) \quad (4.219)$$

This follows from the fact that the Student distribution can be represented as a scaled mixture of Gaussians (see

Equation 11.61).

4.6.3.6 Posterior predictive

The posterior predictive is given by

$$p(x|D) = p(x, D) p(D) \quad (4.220)$$

so it can be easily evaluated in terms of a ratio of marginal likelihoods. It turns out that this ratio has the form of a multivariate Student-T distribution:

$$p(x|D) = N(x|\mu, \Sigma) NIW(\mu, \Sigma | m_N, \kappa_N, v_N, S_N) d\mu d\Sigma \quad (4.221)$$

$$= T(x|m_N, \kappa_N + 1, \kappa_N(v_N - D + 1), S_N, v_N - D + 1) \quad (4.222)$$

The Student-T has wider tails than a Gaussian, which takes into account the fact that Σ is unknown. However, this rapidly becomes Gaussian-like.

好的，我们按你的要求，先完整翻译，再用基础且详尽的方式解释，让公式和概念尽量清楚。

翻译（无遗漏）

4.6.3.3 后验 (Posterior)

可以证明（练习 4.11），后验仍然是一个带有更新参数的 NIW 分布：

$$p(\mu, \Sigma | D) = NIW(\mu, \Sigma | m_N, \kappa_N, v_N, S_N) \quad (4.209)$$

$$m_N = \frac{\kappa_0 m_0 + N \bar{x}}{\kappa_N} = \frac{\kappa_0 m_0 + N \bar{x}}{\kappa_0 + N} \quad (4.210)$$

$$\kappa_N = \kappa_0 + N \quad (4.211)$$

$$v_N = v_0 + N \quad (4.212)$$

$$S_N = S_0 + S_x + \frac{\kappa_0 N}{\kappa_0 + N} (\bar{x} - m_0)(\bar{x} - m_0)^T \quad (4.213)$$

$$= S_0 + S + \kappa_0 m_0 m_0^T - \kappa_N m_N m_N^T \quad (4.214)$$

这里我们定义：

$$S = \sum_{i=1}^N x_i x_i^T$$

它是未中心化的平方和矩阵 (uncentered sum-of-squares matrix, 比中心化版本更容易逐步更新)。

这个结果实际上非常直观：

- 后验均值 m_N 是先验均值 m_0 和最大似然估计 (MLE) 的**凸组合**, 权重 (强度) 为 $\kappa_0 + N$ 。
 - 后验散布矩阵 S_N 是先验散布矩阵 S_0 加上数据散布矩阵 S_x , 再加上一个额外项, 这个额外项来自**均值的不确定性** (这种不确定性也会产生一个“虚拟的散布矩阵”)。
-

4.6.3.4 后验众数 (Posterior mode)

联合分布的众数形式为:

$$\arg \max p(\mu, \Sigma | D) = \left(m_N, \frac{S_N}{v_N + D + 2} \right) \quad (4.215)$$

如果设置 $\kappa_0 = 0$, 这会化为:

$$\arg \max p(\mu, \Sigma | D) = \left(\bar{x}, \frac{S_0 + S_x}{v_0 + N + D + 2} \right) \quad (4.216)$$

对应的估计 $\hat{\Sigma}$ 与公式 (4.183) 几乎相同, 但分母差 1, 这是因为这里求的是联合分布的众数, 而不是边际分布的众数。

4.6.3.5 后验边际 (Posterior marginals)

Σ 的后验边际为:

$$p(\Sigma | D) = \int p(\mu, \Sigma | D) d\mu = \text{IW}(\Sigma | S_N, v_N) \quad (4.217)$$

其众数和均值为:

$$\hat{\Sigma}_{\text{map}} = \frac{S_N}{v_N + D + 1}, \quad E[\Sigma] = \frac{S_N}{v_N - D - 1} \quad (4.218)$$

μ 的后验边际是多元 Student T 分布:

$$p(\mu | D) = \int p(\mu, \Sigma | D) d\Sigma = T(\mu | m_N, \frac{1}{\kappa_N(v_N - D + 1)} S_N, v_N - D) \quad (4.219)$$

这个结果来自于 Student 分布可以表示为高斯分布的缩放混合 (见公式 11.61)。

4.6.3.6 后验预测 (Posterior predictive)

后验预测为:

$$p(x | D) = \frac{p(x, D)}{p(D)} \quad (4.220)$$

因此可以用边际似然的比值来简单计算。结果形式是一个多元 Student-T 分布：

$$p(x | D) = \int N(x | \mu, \Sigma) NIW(\mu, \Sigma | m_N, \kappa_N, v_N, S_N) d\mu d\Sigma \quad (4.221)$$

$$= T(x | m_N, \frac{\kappa_N + 1}{\kappa_N(v_N - D + 1)} S_N, v_N - D + 1) \quad (4.222)$$

Student-T 分布的尾部比高斯分布更厚，这反映了 Σ 是未知的这一事实。然而，随着数据量增大，这个分布会迅速趋近于高斯分布。

详细解释（适合数学基础不强的读者）

1. 这个部分的任务

我们要同时算出高斯分布均值 μ 和协方差 Σ 的**后验分布**，并且推导它的：

- 后验参数更新公式
 - 后验众数（最可能的 μ 和 Σ ）
 - 边际分布（只看 μ 或 Σ 的情况）
 - 后验预测（新样本的分布）
-

2. 后验的更新逻辑

- **先验是 NIW** (Normal-Inverse-Wishart)，有四个超参数：
 - m_0 : 先验均值
 - κ_0 : 对均值先验的信任度
 - S_0 : 对协方差的先验中心
 - v_0 : 对协方差先验的信任度
 - **似然来自数据** $\{x_i\}$
 - **后验仍然是 NIW**，但参数被更新成 m_N, κ_N, v_N, S_N
-

3. 更新公式的直观意义

- m_N (后验均值)：是先验均值和样本均值的加权平均，权重是 κ_0 (先验强度) 和 N (样本数)。

- κ_N : 等于 $\kappa_0 + N$, 表示更新后的总强度。
 - v_N : 等于 $v_0 + N$, 表示协方差先验强度加上样本数。
 - S_N : 不仅包含先验散布矩阵 S_0 和样本散布矩阵 S_x , 还多了一个项 $\frac{\kappa_0 N}{\kappa_0 + N}(\bar{x} - m_0)(\bar{x} - m_0)^T$, 这是因为 μ 不确定, 也会造成对 Σ 的额外不确定性 (虚拟散布)。
-

4. 后验众数 (Posterior mode)

- 就是后验分布概率最大的 μ 和 Σ 。
 - 如果先验 μ 没有强度 ($\kappa_0 = 0$) , 那么 μ 就是样本均值, Σ 则是先验散布加上样本散布再除以自由度。
-

5. 边际分布

- 如果只看 Σ , 后验是 Inverse-Wishart (IW) 分布。
 - 如果只看 μ , 后验是 Student-T 分布 (比高斯厚尾, 反映了协方差的不确定性)。
-

6. 后验预测 (Predictive)

- 我们用贝叶斯的方式预测新数据点的分布。
 - 因为 Σ 是未知的, 预测分布是 Student-T, 而不是高斯。
 - 随着 N 增大, Student-T 会越来越接近高斯。
-

我建议下一步我帮你画一张**“先验 → 似然 → 后验”参数更新的流程图**，直观展示 m_N, κ_N, v_N, S_N 是怎么从 $(m_0, \kappa_0, v_0, S_0)$ 变过来的，这样你一眼就能记住公式。你要我帮你画这张图吗？这样比看公式直观很多。



翻译并解释以下内容，翻译不能有遗漏，解释请基础且详尽，因为我的数学基础不太好。

Figure 4.19 The $N\text{I}\chi^2(m_0, \kappa_0, v_0, \sigma^2_0)$ distribution. m_0 is the prior mean and κ_0 is how strongly we believe this; σ^2_0 is the prior variance and v_0 is how strongly we believe this.
(a) $m_0 = 0, \kappa_0 = 1, v_0 = 1, \sigma^2_0 = 1$. Notice that the contour plot (underneath the surface) is shaped like a "squashed egg". (b) We increase the strength of our belief in the mean, so it gets narrower: $m_0 = 0, \kappa_0 = 5, v_0 = 1, \sigma^2_0 = 1$. (c) We increase the strength of our belief in the variance, so it gets narrower: $m_0 = 0, \kappa_0 = 1, v_0 = 5, \sigma^2_0 = 1$. Figure generated by NIXdemo2.

4.6.3.7 Posterior for scalar data

We now specialise the above results to the case where x_i is 1d. These results are widely used in the statistics literature. As in Section 4.6.2.2, it is conventional not to use the normal inverse Wishart, but to use the normal inverse chi-squared or NIX distribution, defined by

$$N\text{I}\chi^2(\mu, \sigma^2 | m_0, \kappa_0, v_0, \sigma^2_0) = N(\mu | m_0, \sigma^2 / \kappa_0) \chi^{-2}(\sigma^2 | v_0, \sigma^2_0) \quad (4.223)$$

$$\propto (1/\sigma^2)(v_0 + 3)/2 \exp - v_0 \sigma^2_0 + \kappa_0 (\mu - m_0)^2 / 2\sigma^2 \quad (4.224)$$

See Figure 4.19 for some plots. Along the μ axis, the distribution is shaped like a Gaussian, and along the σ^2 axis, the distribution is shaped like a χ^{-2} ; the contours of the joint density have a "squashed egg" appearance.

Interestingly, we see that the contours for μ are more peaked for small values of σ^2 , which makes sense, since if the data is low variance, we will be able to estimate its

mean more reliably. One can show that the posterior is given by

$$p(\mu, \sigma^2 | D) = N(\chi^2(\mu, \sigma^2 | mN, \kappaN, vN, \sigma^2 N)) \quad (4.225)$$

$$mN = \kappa_0 m_0 + N x \quad (4.226)$$

$$\kappaN = \kappa_0 + N \quad (4.227)$$

$$vN = v_0 + N \quad (4.228)$$

$$vN\sigma^2 N = v_0\sigma^2 0 + N \sum_{i=1}^N (x_i - \bar{x})^2 + N\kappa_0 \kappa_0 + N(m_0 - \bar{x})^2 \quad (4.229)$$

The posterior marginal for σ^2 is just

$$p(\sigma^2 | D) = p(\mu, \sigma^2 | D) d\mu = \chi^{-2}(\sigma^2 | vN, \sigma^2 N) \quad (4.230)$$

with the posterior mean given by $E[\sigma^2 | D] = vN - 2\sigma^2 vN/N$.

The posterior marginal for μ has a Student T distribution, which follows from the scale mixture representation of the student:

$$p(\mu | D) = p(\mu, \sigma^2 | D) d\sigma^2 = T(\mu | mN, \sigma^2 N / \kappaN, vN) \quad (4.231)$$

with the posterior mean given by $E[\mu | D] = mN$. Let us see how these results look if we use the following uninformative prior:

$$p(\mu, \sigma^2) \propto p(\mu)p(\sigma^2) \propto \sigma^{-2} \propto N(\chi^2(\mu, \sigma^2 | \mu_0 = 0, \kappa_0 = 0, v_0 = -1, \sigma^2 0 = 0)) \quad (4.232)$$

With this prior, the posterior has the form

$$p(\mu, \sigma^2 | D) = N(\chi^2(\mu, \sigma^2 | mN = x, \kappaN = N, vN = N - 1, \sigma^2 N = s^2)) \quad (4.233)$$

where

$$s^2 = \frac{1}{N-1} \sum_{i=1}^N (x_i - \bar{x})^2 = \frac{N-1}{N} \hat{\sigma}^2 \text{ mle} \quad (4.234)$$

is the sample standard deviation. (In Section 6.4.2, we show that this is an unbiased estimate of the variance.)

Hence the marginal posterior for the mean is given by

$$p(\mu | D) = T(\mu | x, s^2 N, N - 1) \quad (4.235)$$

and the posterior variance of μ is

$$\text{var}[\mu | D] = vN vN - 2\sigma^2 N = N - 1 N - 3 s^2 N \rightarrow s^2 N \quad (4.236)$$

The square root of this is called the standard error of the mean:

$$\text{var}[\mu | D] \approx s \sqrt{N} \quad (4.237)$$

Thus an approximate 95% posterior credible interval for the mean is

$$I.95(\mu | D) = x \pm 2 s \sqrt{N} \quad (4.238)$$

(Bayesian credible intervals are discussed in more detail in Section 5.2.2; they are contrasted with frequentist confidence intervals in Section 6.6.1.)

好！我先把原文逐句完整翻译，再用基础且详尽的方式解释每个结论在说什么、为什么成立。

翻译（无遗漏）

图 4.19 $\text{NI}\chi^2(m_0, \kappa_0, v_0, \sigma_0^2)$ 分布。 m_0 是对均值的先验均值， κ_0 表示我们对该先验的相信程度； σ_0^2 是对方差的先验取值， v_0 表示我们对该先验的相信程度。

- (a) $m_0 = 0, \kappa_0 = 1, v_0 = 1, \sigma_0^2 = 1$ 。注意下方等高线的形状像一个“被压扁的鸡蛋”。
 - (b) 我们增大对均值先验的强度，因此分布在 μ 方向变窄： $m_0 = 0, \kappa_0 = 5, v_0 = 1, \sigma_0^2 = 1$ 。
 - (c) 我们增大对方差先验的强度，因此分布在 σ^2 方向变窄： $m_0 = 0, \kappa_0 = 1, v_0 = 5, \sigma_0^2 = 1$ 。图由 NIXdemo2 生成。
-

4.6.3.7 标量数据的后验

现在把上面的结果专门化到 x_i 为一维的情形。这些结果在统计学文献中很常见。与 4.6.2.2 节一样，按惯例在一维情形不使用正态-逆 Wishart，而使用**正态-逆卡方分布** (Normal-Inverse-Chi-Squared, 缩写 NIX)，定义为

$$\text{NI}\chi^2(\mu, \sigma^2 \mid m_0, \kappa_0, v_0, \sigma_0^2) = \mathcal{N}(\mu \mid m_0, \sigma^2/\kappa_0) \chi^{-2}(\sigma^2 \mid v_0, \sigma_0^2) \quad (4.223)$$

$$\propto \left(\frac{1}{\sigma^2}\right)^{(v_0+3)/2} \exp\left(-\frac{v_0\sigma_0^2 + \kappa_0(\mu - m_0)^2}{2\sigma^2}\right) \quad (4.224)$$

一些作图见图 4.19。沿着 μ 轴，它的形状像高斯；沿着 σ^2 轴，它的形状像 χ^{-2} ；联合密度的等高线看起来像个“被压扁的鸡蛋”。有趣的是：当 σ^2 取较小值时， μ 方向的等高线更尖，这很合理，因为如果数据方差小，我们能更可靠地估计其均值。

可以证明，后验为

$$p(\mu, \sigma^2 \mid D) = \text{NI}\chi^2(\mu, \sigma^2 \mid m_N, \kappa_N, v_N, \sigma_N^2) \quad (4.225)$$

$$m_N = \frac{\kappa_0 m_0 + N\bar{x}}{\kappa_N} \quad (4.226)$$

$$\kappa_N = \kappa_0 + N \quad (4.227)$$

$$v_N = v_0 + N \quad (4.228)$$

$$v_N \sigma_N^2 = v_0 \sigma_0^2 + \sum_{i=1}^N (x_i - \bar{x})^2 + \frac{N\kappa_0}{\kappa_0 + N} (m_0 - \bar{x})^2 \quad (4.229)$$

σ^2 的后验边际为

$$p(\sigma^2 | D) = \int p(\mu, \sigma^2 | D) d\mu = \chi^{-2}(\sigma^2 | v_N, \sigma_N^2) \quad (4.230)$$

其后验均值为 $E[\sigma^2 | D] = \frac{v_N}{v_N - 2} \sigma_N^2$ 。

μ 的后验边际是一个 Student t 分布 (由 Student 分布的尺度混合表示推出) :

$$p(\mu | D) = \int p(\mu, \sigma^2 | D) d\sigma^2 = T(\mu | m_N, \sigma_N^2 / \kappa_N, v_N) \quad (4.231)$$

其后验均值为 $E[\mu | D] = m_N$ 。

看一看在如下无信息先验下这些结果是什么样:

$$p(\mu, \sigma^2) \propto p(\mu)p(\sigma^2) \propto \sigma^{-2} \propto \text{NI}\chi^2(\mu, \sigma^2 | \mu_0 = 0, \kappa_0 = 0, v_0 = -1, \sigma_0^2) \quad (4.232)$$

在这个先验下, 后验为

$$p(\mu, \sigma^2 | D) = \text{NI}\chi^2(\mu, \sigma^2 | m_N = \bar{x}, \kappa_N = N, v_N = N - 1, \sigma_N^2 = s^2) \quad (4.233)$$

其中

$$s^2 = \frac{1}{N-1} \sum_{i=1}^N (x_i - \bar{x})^2 = \frac{N}{N-1} \hat{\theta}_{\text{mle}}^2 \quad (4.234)$$

是**样本方差**。 (在 6.4.2 节将证明它是对真实方差的无偏估计。)

因此, 均值的边际后验为

$$p(\mu | D) = T(\mu | \bar{x}, s^2/N, N-1) \quad (4.235)$$

均值的后验方差为

$$\text{var}[\mu | D] = \frac{v_N}{v_N - 2} \cdot \frac{\sigma_N^2}{\kappa_N} = \frac{N-1}{N-3} \cdot \frac{s^2}{N} \rightarrow \frac{s^2}{N} \quad (4.236)$$

其平方根称为**均值的标准误** (standard error of the mean) :

$$\text{sd}(\mu | D) \approx \frac{s}{\sqrt{N}} \quad (4.237)$$

因此, 均值的一个近似的 95% 贝叶斯置信区间为

$$I^{.95}(\mu | D) = \bar{x} \pm 2 \frac{s}{\sqrt{N}} \quad (4.238)$$

(贝叶斯可信区间见 5.2.2 节; 与频率学派的置信区间对比见 6.6.1 节。)

解释 (基础且详尽)

1) NIX 是什么?

- 它把“**均值未知 + 方差未知**”的一维正态模型的先验写成:

$$\mu \mid \sigma^2 \sim N(m_0, \sigma^2/\kappa_0),$$

$$\sigma^2 \sim \chi^{-2}(v_0, \sigma_0^2).$$
- 四个超参数的直觉:
 - m_0 是你相信的均值; κ_0 越大, 越“信”这个均值 (μ 的先验方差越小)。
 - σ_0^2 是你相信的方差; v_0 越大, 越“信” (σ^2 的先验更集中)。

2) 图 4.19 怎么看?

- 三幅 3D 图显示 NIX 联合密度在 (μ, σ^2) 平面上的形状。
- 增大 κ_0 (中图) : μ 方向更尖 (先验更强)。
- 增大 v_0 (右图) : σ^2 方向更尖。
- 等高线像“压扁的鸡蛋”: σ^2 小时, μ 的等高线更尖——因为波动小意味着我们能更精确地定位均值。

3) 后验更新 (式 4.226–4.229)

- m_N : 先验均值与样本均值 \bar{x} 的**精度加权平均**。
- $\kappa_N = \kappa_0 + N$: 对均值的“总样本强度”。
- $v_N = v_0 + N$: 对方差的“总样本强度”。
- $v_N \sigma_N^2$: 等于**先验平方和** $v_0 \sigma_0^2$ + **数据离差平方和** $\sum(x_i - \bar{x})^2$ + **先验均值与样本均值不一致所带来的额外项** $\frac{N\kappa_0}{\kappa_0+N} (m_0 - \bar{x})^2$ 。
这个额外项体现了“均值不确定性也会增大对方差的不确定”。

4) 边际后验

- $\sigma^2 \mid D \sim \chi^{-2}(v_N, \sigma_N^2)$: 自由度是 v_N , 位置是 σ_N^2 。
后验均值存在需要 $v_N > 2$ 。
- $\mu \mid D$ 是 Student-t: 更厚尾, 反映了我们对 σ^2 的不确定; 当 N 大时趋近高斯。

5) 无信息先验的经典结果

- 取 $\kappa_0 = 0$, $v_0 = -1$, $\sigma_0^2 = 0$ (形式化地表示“没有先验信息”), 得到:
 - $\mu \mid D \sim t_{N-1}(\bar{x}, s^2/N)$ (式 4.235)

- $sd(\mu) \approx s/\sqrt{N}$,

近似 95% 区间 $\bar{x} \pm 2s/\sqrt{N}$: 这就是你在基础统计课里见到的“t 区间/标准误”的贝叶斯版本; 当 N 较大用“2”近似 $t_{0.975,N-1}$ 。

一眼记住:

- $NIX = \mu \mid \sigma^2$ 正态 + σ^2 逆卡方。
- 后验参数“先验强度 + 样本数”。
- μ 的后验是 t 分布; σ^2 的后验是逆卡方。
- 无信息先验下, 回到你熟悉的 $\bar{x} \pm 2s/\sqrt{N}$ 。

如果你想, 我可以用一组你自己的小数据, 给你画出 NIX 的“先验→后验”变化、以及 μ 的 t 边际和 σ^2 的逆卡方边际, 这样会更直观。

翻译并解释以下内容, 翻译不能有遗漏, 解释请基础且详尽, 因为我的数学基础不太好。

4.6.3.8 Bayesian t-test

Suppose we want to test the hypothesis that $\mu = \mu_0$ for some known value μ_0 (often 0), given values $x_i \sim N(\mu, \sigma^2)$. This is called a two-sided, one-sample t-test. A simple way to perform such a test is just to check if $\mu_0 \in I(0.95(\mu|D))$. If it is not, then we can be 95% sure that $\mu = \mu_0$. A more common scenario is when we want to test if two paired samples have the same mean. More precisely, suppose $y_i \sim N(\mu_1, \sigma^2)$ and $z_i \sim N(\mu_2, \sigma^2)$. We want to determine if $\mu = \mu_1 - \mu_2 > 0$, using $x_i = y_i - z_i$ as our data. We can evaluate this quantity as follows:

$$p(\mu > \mu_0 | D) = \int_{\mu_0}^{\infty} p(\mu | D) d\mu \quad (4.239)$$

This is called a one-sided, paired t-test. (For a similar approach to unpaired tests, comparing the difference in binomial proportions, see Section 5.2.3.) To calculate the posterior, we must specify a prior. Suppose we use an uninformative prior. As we showed above, we find that the posterior marginal on μ has the form

$$p(\mu | D) = T(\mu | x, s^2, N - 1) \quad (4.240)$$

Now let us define the following t statistic:

$$t = \frac{\bar{x} - \mu_0}{s/\sqrt{N}} \quad (4.241)$$

where the denominator is the standard error of the mean.

We see that

$$p(\mu|D) = 1 - F_{\nu}(t) \quad (4.242)$$

where $F_{\nu}(t)$ is the cdf of the standard Student t distribution $T(0, 1, \nu)$.

好，我们先完整逐句翻译原文，然后用**通俗+细致**的方式帮你彻底理解它。

翻译（无遗漏）

4.6.3.8 贝叶斯 t 检验

假设我们想要检验假设

$$\mu = \mu_0$$

其中 μ_0 是某个已知值（通常取 0），并且已知数据

$x_i \sim \mathcal{N}(\mu, \sigma^2)$ 。这被称为“双侧单样本 t 检验”（two-sided, one-sample t-test）。一种简单的检验方法是：只需检查 (μ_0) 是否落在贝叶斯后验的 95% 置信区间 $[l_{0.95} \mid D]$

中。

如果不在其中，那么我们可以以 95% 的置信度认为 $\mu \neq \mu_0$ 【脚注4：这里的“95% 确信”指贝叶斯可信区间的含义】。

一个更常见的情形是，我们想检验**两组配对样本**是否均值相同。

更具体地，假设

$$y_i \sim N(\mu_1, \sigma^2), \quad z_i \sim N(\mu_2, \sigma^2)$$

我们想确定

$$\mu = \mu_1 - \mu_2 > 0$$

是否成立。

做法是使用差值

$$x_i = y_i - z_i$$

作为新的数据。

我们可以通过计算下式来得到所需概率：

$$p(\mu > \mu_0 | D) = \int_{\mu_0}^{\infty} p(\mu | D) d\mu \quad (4.239)$$

这称为**单侧配对 t 检验** (one-sided, paired t-test) 。

(对于非配对检验, 比如比较两个二项分布比例差异的情况, 见 5.2.3 节。)

为了计算后验, 我们必须给定一个先验。假设使用**无信息先验**, 正如上文所示, 此时 μ 的后验边际分布为:

$$p(\mu | D) = T(\mu | \bar{x}, \frac{s^2}{N}, N - 1) \quad (4.240)$$

现在定义**t 统计量**:

$$t = \frac{\bar{x} - \mu_0}{s/\sqrt{N}} \quad (4.241)$$

其中分母是均值的标准误 (standard error of the mean) 。

于是我们得到:

$$p(\mu > \mu_0 | D) = 1 - F_{N-1}(t) \quad (4.242)$$

其中 $F_v(t)$ 是标准 Student-t 分布 $T(0, 1, v)$ 的累积分布函数 (cdf) 。

解释 (基础且详尽)

1 这节在讲什么?

它介绍了**贝叶斯版的 t 检验**, 并且指出:

- 如果你有正态数据且方差未知, 可以用贝叶斯推断来替代经典 t 检验。
 - 在无信息先验下, μ 的后验是一个 Student-t 分布。
 - 这样你就能直接用 t 分布的公式算概率 (p 值) 。
-

2 双侧单样本 t 检验 (one-sample, two-sided)

- 目标:** 检验样本的真实均值 μ 是否等于某个已知值 μ_0 (比如 0) 。
- 贝叶斯方法:**

- 先求出 μ 的后验分布。
- 看 μ_0 是否落在后验的 95% 可信区间 (credible interval) 里。
- 如果不在, 就说“95% 确信 $\mu \neq \mu_0$ ”。

⚠ 区别:

- 经典 t 检验的“95% 置信”是频率学意义 (重复采样下的覆盖概率)。
 - 贝叶斯可信区间直接表示“ μ 在区间里的概率是 95%”。
-

3 配对 t 检验 (paired t-test)

- 适用于成对数据 (比如同一个人实验前后的两次测量)。
- 思路:
 - 对每对数据计算差值 $x_i = y_i - z_i$ 。
 - 现在问题变成“一组数据的均值 μ 是否大于 μ_0 ? ” (通常 $\mu_0 = 0$)。
 - 用 μ 的后验分布计算:

$$p(\mu > \mu_0 | D) = \int_{\mu_0}^{\infty} p(\mu | D) d\mu$$

- 这就是单侧检验的贝叶斯版本。
-

4 无信息先验下的结果

- 已经在前文证明:
无信息先验 $\Rightarrow \mu | D \sim t_{N-1}(\bar{x}, s^2/N)$ 。
 - 这里 s 是样本标准差, \bar{x} 是样本均值。
-

5 与经典 t 检验的连接

- 定义统计量:

$$t = \frac{\bar{x} - \mu_0}{s/\sqrt{N}}$$

这就是经典 t 检验里的 t 统计量。

- 后验概率 $p(\mu > \mu_0 | D)$ 正好等于:

$$1 - F_{N-1}(t)$$

即 t 分布右尾面积。

- 所以贝叶斯单侧 t 检验在无信息先验下，数值结果和经典 t 检验的 p 值计算公式是一致的。

6 小结

- 贝叶斯 t 检验和经典 t 检验很像，只是解释方式不同：
 - 经典 t 检验：假设 $\mu = \mu_0$ 计算“在该假设下看到当前数据的概率”。
 - 贝叶斯 t 检验：直接计算“ $\mu > \mu_0$ 的概率”。
- 在无信息先验下，二者的公式结果会一致，但贝叶斯给出的概率有更直接的解释。

如果你愿意，我可以帮你画一张**贝叶斯 t 检验的后验分布图**，用颜色标出 $p(\mu > \mu_0)$ 的面积，让你直观看懂式 (4.239) 和 (4.242) 在做什么。这样会比单纯看公式更清楚。

你要我画吗？

翻译并解释以下内容，翻译不能有遗漏，解释请基础且详尽，因为我的数学基础不太好。

4.6.3.9 Connection with frequentist statistics *

If we use an uninformative prior, it turns out that the above Bayesian analysis gives the same result as derived using frequentist methods. (We discuss frequentist statistics in Chapter 6.) Specifically, from the above results, we see that

$$\mu - x s/N | D \sim tN-1 \quad (4.243)$$

This has the same form as the sampling distribution of the MLE:

$$\mu - X s/N |\mu \sim tN-1 \quad (4.244)$$

The reason is that the Student distribution is symmetric in its first two arguments, so $T(x|\mu, \sigma^2, v) = T(\mu|x, \sigma^2, v)$; hence statements about the posterior for μ have the same form as statements about the sampling distribution of x .

Consequently, the (one-sided) p-value (defined in Section 6.6.2) returned by a frequentist test is the same as $p(\mu > \mu_0 | D)$ returned by the Bayesian method. See bayesTtestDemo for an example. Despite the superficial similarity, these two results have a different interpretation:

in the Bayesian approach, μ is unknown and x is fixed, whereas in the frequentist approach, X is unknown and μ is fixed. More equivalences between frequentist and Bayesian inference in simple models using uninformative priors can be found in (Box and Tiao 1973). See also Section 7.6.3.3.

好的，我们先逐句翻译，然后再给你做**详细的通俗解释**。

逐句翻译（无遗漏）

4.6.3.9 与频率学统计的联系 (Connection with frequentist statistics)

如果我们使用**无信息先验** (uninformative prior) , 会发现上述贝叶斯分析得到的结果与用**频率学方法**推导出的结果是相同的。 (我们会在第 6 章讨论频率学统计。)

具体来说，根据上面的结果，我们有：

$$\frac{\mu - \bar{x}}{s/\sqrt{N}} \mid D \sim t_{N-1} \quad (4.243)$$

它与**最大似然估计 (MLE) **的抽样分布形式相同：

$$\frac{\mu - \bar{X}}{s/\sqrt{N}} \mid \mu \sim t_{N-1} \quad (4.244)$$

其原因是 Student-t 分布在它的前两个参数上是对称的，因此：

$$T(x \mid \mu, \sigma^2, v) = T(\mu \mid x, \sigma^2, v)$$

因此，关于 μ 的后验分布的陈述，形式上与关于样本均值 \bar{x} 的抽样分布的陈述是相同的。

结果是，频率学方法返回的**单侧 p 值** (在 6.6.2 节中定义) , 与贝叶斯方法返回的：

$$p(\mu > \mu_0 \mid D)$$

是相同的。 (参见 `bayesTtestDemo` 示例。)

尽管在表面上它们结果一致，但这两种方法的**解释不同**：

- 在**贝叶斯方法**中， μ 是未知的，而 \bar{x} 是固定的；
- 在**频率学方法**中， \bar{X} 是未知的，而 μ 是固定的。

在使用无信息先验的简单模型中，频率学推断和贝叶斯推断之间的更多等价性，可以参考 Box 和 Tiao (1973)。另见 7.6.3.3 节。

详细解释 (基础 + 形象)

1 背景

- **贝叶斯**: 我们先设定一个先验，结合数据得到后验分布。
- **频率学**: 我们假设参数是固定常数，然后研究统计量（例如样本均值）的抽样分布。

作者这里想说：

如果先验是无信息的，贝叶斯结果和频率学结果会算出同一个公式，哪怕它们思路不同。

2 关键公式对比

贝叶斯后验的结论：

$$\frac{\mu - \bar{x}}{s/\sqrt{N}} \mid D \sim t_{N-1}$$

频率学抽样分布：

$$\frac{\mu - \bar{X}}{s/\sqrt{N}} \mid \mu \sim t_{N-1}$$

- 贝叶斯这边：参数 μ 随机，数据固定。
- 频率学那边：数据随机，参数 μ 固定。

为什么公式一样？

因为 Student-t 分布是对称的：交换“位置参数”和“数据均值”的角色，分布形式不变。

3 p 值结果相同

- 频率学 t 检验的一侧 p 值：在假设 $\mu = \mu_0$ 下，统计量比观测值大的概率。
- 贝叶斯的单侧后验概率：在给定数据的情况下，参数 μ 大于 μ_0 的概率。

由于对称性，两者在数值上完全一样：

$$p\text{-value}_{\text{freq}} = p_{\text{Bayes}}(\mu > \mu_0 \mid D)$$

4 解释上的本质差异

- **贝叶斯**: 概率是关于参数 μ 的不确定性（数据已知）。
- **频率学**: 概率是关于可能重复实验时统计量的变动（参数 μ 已知）。

虽然结果看起来相同，但概念含义完全不同。

贝叶斯是“我相信 $\mu > \mu_0$ 的概率是 ...”，

频率学是“如果 $\mu = \mu_0$ ，多次实验会有 ... 的概率得到像现在这样极端的结果”。

5 额外提示

这种等价性只在：

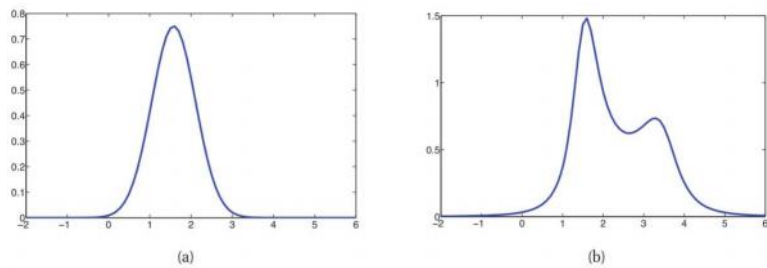
- 模型简单（比如正态均值检验）
- 先验是无信息先验

才会成立。

如果先验信息强，贝叶斯和频率学就会给出不同的结论。

我可以帮你画一个对比图，把贝叶斯后验分布和频率学抽样分布放在一起，并用颜色标出为什么 p 值和后验概率相等，这样你一眼就能看出它们的对称性。

你想让我画这个对比图吗？



翻译并解释以下内容，翻译不能有遗漏，解释请基础且详尽，因为我的数学基础不太好。

Figure 4.20 Posterior for μ . (a) Plug-in approximation. (b) Exact posterior. Figure generated by sensorFusionUnknownPrec.

4.6.4 Sensor fusion with unknown precisions *

In this section, we apply the results in Section 4.6.3 to the problem of sensor fusion in the case where the precision of each measurement device is unknown. This generalizes the results of Section 4.4.2.2, where the measurement model was assumed to be Gaussian with known precision.

The unknown precision case turns out to give qualitatively different results, yielding a potentially multi-modal posterior as we will see. Our presentation is based on (Minka 2001e). Suppose we want to pool data from multiple sources to estimate some quantity $\mu \in \mathbb{R}$, but the reliability of the sources is unknown. Specifically, suppose we have two different measurement devices, x and y , with different precisions: $x_i|\mu \sim N(\mu, \lambda_x^{-1})$ and $y_i|\mu \sim N(\mu, \lambda_y^{-1})$. We make two independent measurements with each device, which turn out to be

$$x_1 = 1.1, x_2 = 1.9, y_1 = 2.9, y_2 = 4.1 \quad (4.245)$$

We will use a non-informative prior for μ , $p(\mu) \propto 1$, which we can emulate using an infinitely broad Gaussian, $p(\mu) = N(\mu|m_0=0, \lambda_0=0 = \infty)$. If the λ_x and λ_y terms were known, then the posterior would be Gaussian:

$$p(\mu|D, \lambda_x, \lambda_y) = N(\mu|m_N, \lambda_N^{-1}) \quad (4.246)$$

$$\lambda_N = \lambda_0 + N_x \lambda_x + N_y \lambda_y \quad (4.247)$$

$$m_N = \lambda_x N_x + \lambda_y N_y \quad (4.248)$$

where $N_x = 2$ is the number of x measurements, $N_y = 2$ is the number of y measurements, $x = 1/N_x$, $N_x i=1 x_i = 1.5$ and $y = 1/N_y$, $N_y i=1 y_i = 3.5$. This result follows because the posterior precision is the sum of the measurement precisions, and the posterior mean is a weighted sum of the prior mean (which is 0) and the data means. However, the measurement precisions are not known. Initially we will estimate them by maximum likelihood. The log-likelihood is given by

$$(\mu, \lambda_x, \lambda_y) = \log \lambda_x - \lambda_x \sum_i (x_i - \mu)^2 + \log \lambda_y - \lambda_y \sum_i (y_i - \mu)^2 \quad (4.249)$$

The MLE is obtained by solving the following simultaneous equations:

$$\partial \partial \mu / \partial \mu = \lambda_x N_x (x - \mu) + \lambda_y N_y (y - \mu) = 0 \quad (4.250)$$

$$\partial \partial \lambda_x / \partial \lambda_x = 1/\lambda_x - 1/N_x \sum_i (x_i - \mu)^2 = 0 \quad (4.251)$$

$$\partial \partial \lambda_y / \partial \lambda_y = 1/\lambda_y - 1/N_y \sum_i (y_i - \mu)^2 = 0 \quad (4.252)$$

This gives

$$\hat{\mu} = N_x \lambda_x + N_y \lambda_y \quad (4.253)$$

$$1/\lambda_x = 1/N_x \sum_i (x_i - \hat{\mu})^2 \quad (4.254)$$

$$1/\lambda_y = 1/N_y \sum_i (y_i - \hat{\mu})^2 \quad (4.255)$$

We notice that the MLE for μ has the same form as the posterior mean, m_N .

We can solve these equations by fixed point iteration. Let us initialize by estimating $\lambda_x = 1/s_x^2$ and $\lambda_y = 1/s_y^2$, where $s_x^2 = 1/N_x \sum_i (x_i - \bar{x})^2 = 0.16$ and $s_y^2 = 1/N_y \sum_i (y_i - \bar{y})^2 = 0.25$.

$i=1(y_i - \bar{y})^2 = 0.36$. Using this, we get $\hat{\mu} = 2.1154$, so $p(\mu|D, \hat{\lambda}_x, \hat{\lambda}_y) = N(\mu|2.1154, 0.0554)$. If we now iterate, we converge to $\hat{\lambda}_x = 1/0.1662$, $\hat{\lambda}_y = 1/4.0509$, $p(\mu|D, \hat{\lambda}_x, \hat{\lambda}_y) = N(\mu|1.5788, 0.0798)$. The plug-in approximation to the posterior is plotted in Figure 4.20(a). This weights each sensor according to its estimated precision. Since sensor y was estimated to be much less reliable than sensor x , we have $E[\mu|D, \hat{\lambda}_x, \hat{\lambda}_y] \approx x$, so we effectively ignore the y sensor. Now we will adopt a Bayesian approach and integrate out the unknown precisions, rather than trying to estimate them. That is, we compute

$$p(\mu|D) \propto p(\mu) p(D_x|\mu, \lambda_x) p(\lambda_x|\mu) d\lambda_x p(D_y|\mu, \lambda_y) p(\lambda_y|\mu) d\lambda_y \quad (4.256)$$

We will use uninformative Jeffrey's priors, $p(\mu) \propto 1$, $p(\lambda_x|\mu) \propto 1/\lambda_x$ and $p(\lambda_y|\mu) \propto 1/\lambda_y$.

Since the x and y terms are symmetric, we will just focus on one of them. The key integral is

$$I = p(D_x|\mu, \lambda_x) p(\lambda_x|\mu) d\lambda_x \propto \lambda^{-1} x (Nx\lambda_x) Nx/2 \quad (4.257)$$

$$\exp(-Nx/2 \lambda_x(x - \mu)^2) - Nx/2 s^2 x \lambda_x d\lambda_x \quad (4.258)$$

Exploiting the fact that $Nx = 2$ this simplifies to

$$I = \lambda^{-1} x \exp(-\lambda x[(x - \mu)^2 + s^2 x]) d\lambda x \quad (4.259)$$

We recognize this as proportional to the integral of an unnormalized Gamma density

$$Ga(\lambda|a, b) \propto \lambda^{a-1} e^{-\lambda b} \quad (4.260)$$

where $a = 1$ and $b = (x - \mu)^2 + s^2 x$. Hence the integral is proportional to the normalizing constant of the Gamma distribution, $\Gamma(a)b^{-a}$, so we get

$$I \propto p(D_x|\mu, \lambda_x) p(\lambda_x|\mu) d\lambda_x \propto x - \mu)^2 + s^2 x - 1 \quad (4.261)$$

and the posterior becomes

$$p(\mu|D) \propto 1/(x - \mu)^2 + s^2 x \propto 1/(y - \mu)^2 + s^2 y \quad (4.262)$$

The exact posterior is plotted in Figure 4.20(b). We see that it has two modes, one near $x = 1.5$ and one near $y = 3.5$. These correspond to the beliefs that the x sensor is more reliable than the y one, and vice versa. The weight of the first mode is larger, since the data from the x sensor agree more with each other, so it seems slightly more likely that the x sensor is the reliable one. (They obviously cannot both be reliable, since they disagree on the values that they are reporting.) However, the Bayesian solution keeps open the possibility that the y sensor is the more reliable one; from two measurements, we cannot tell, and choosing just the x sensor, as the plug-in approximation

does, results in over confidence (a posterior that is too narrow).

好的！我先把原文逐句完整翻译，然后再用基础且详尽的方式解释，尤其是图 4.20 为什么一个是单峰、一个是双峰。

翻译（无遗漏）

图 4.20 μ 的后验分布。 (a) 插入式 (plug-in) 近似。 (b) 精确后验。图由 `sensorFusionUnknownPrec` 生成。

4.6.4 精度未知时的传感器融合 (*)

本节把 4.6.3 节的结果用到一个“各测量设备的精度未知”的传感器融合问题上。这是对 4.4.2.2 节结果的推广；在 4.4.2.2 中，测量模型被假设为精度已知的高斯。精度未知时会得到性质上不一样的结果：后验可能是多峰的，我们马上会看到。我们的讲解基于 (Minka, 2001e)。

假设要把多源数据合并来估计某个实数 μ ，但这些来源的可靠性未知。具体地，设有两台测量设备 x 与 y ，它们的精度不同：

$$x_i \mid \mu \sim N(\mu, \lambda_x^{-1}), \quad y_i \mid \mu \sim N(\mu, \lambda_y^{-1}).$$

我们各自独立地用每台设备测了两次，得到

$$x_1 = 1.1, x_2 = 1.9, \quad y_1 = 2.9, y_2 = 4.1. \quad (4.245)$$

对 μ 采用无信息先验 $p(\mu) \propto 1$ ，可用一个无限宽的高斯来模拟：

$$p(\mu) = N(\mu \mid m_0 = 0, \lambda_0^{-1} = \infty).$$

若 λ_x, λ_y 已知，则 μ 的后验是高斯：

$$p(\mu \mid D, \lambda_x, \lambda_y) = N(\mu \mid m_N, \lambda_N^{-1}), \quad (4.246)$$

$$\lambda_N = \lambda_0 + N_x \lambda_x + N_y \lambda_y, \quad (4.247)$$

$$m_N = \frac{\lambda_x N_x \bar{x} + \lambda_y N_y \bar{y}}{N_x \lambda_x + N_y \lambda_y}, \quad (4.248)$$

其中 $N_x = 2$ 为 x 传感器的测量次数， $N_y = 2$ 为 y 传感器的测量次数，

$$\bar{x} = \frac{1}{N_x} \sum_{i=1}^{N_x} x_i = 1.5,$$

$$\bar{y} = \frac{1}{N_y} \sum_{i=1}^{N_y} y_i = 3.5.$$

这个结果来自：后验精度等于各测量精度之和，而后验均值是先验均值（此处为 0）与各组样本均值的加权和。

但是各测量精度未知。先用极大似然来估计它们。对数似然为

$$\ell(\mu, \lambda_x, \lambda_y) = \log \lambda_x - \frac{\lambda_x}{2} \sum_i (x_i - \mu)^2 + \log \lambda_y - \frac{\lambda_y}{2} \sum_i (y_i - \mu)^2. \quad (4.249)$$

MLE 由下列联立方程给出：

$$\frac{\partial \ell}{\partial \mu} = \lambda_x N_x (\bar{x} - \mu) + \lambda_y N_y (\bar{y} - \mu) = 0, \quad (4.250)$$

$$\frac{\partial \ell}{\partial \lambda_x} = \frac{1}{\lambda_x} - \frac{1}{N_x} \sum_{i=1}^{N_x} (x_i - \mu)^2 = 0, \quad (4.251)$$

$$\frac{\partial \ell}{\partial \lambda_y} = \frac{1}{\lambda_y} - \frac{1}{N_y} \sum_{i=1}^{N_y} (y_i - \mu)^2 = 0. \quad (4.252)$$

由此得到

$$\hat{\mu} = \frac{N_x \hat{\lambda}_x \bar{x} + N_y \hat{\lambda}_y \bar{y}}{N_x \hat{\lambda}_x + N_y \hat{\lambda}_y}, \quad (4.253)$$

$$1/\hat{\lambda}_x = \frac{1}{N_x} \sum_i (x_i - \hat{\mu})^2, \quad (4.254)$$

$$1/\hat{\lambda}_y = \frac{1}{N_y} \sum_i (y_i - \hat{\mu})^2. \quad (4.255)$$

注意 $\hat{\mu}$ 与上式后验均值 m_N 形式相同。

我们可以用不动点迭代来求解。初始化为

$$\lambda_x = 1/s_x^2, \lambda_y = 1/s_y^2, \text{ 其中}$$

$$s_x^2 = \frac{1}{N_x} \sum (x_i - \bar{x})^2 = 0.16,$$

$$s_y^2 = \frac{1}{N_y} \sum (y_i - \bar{y})^2 = 0.36.$$

用这个初始化，得到 $\hat{\mu} = 2.1154$ ，于是

$$p(\mu | D, \hat{\lambda}_x, \hat{\lambda}_y) = N(\mu | 2.1154, 0.0554).$$

迭代后收敛到

$$\hat{\lambda}_x = 1/0.1662, \hat{\lambda}_y = 1/4.0509,$$

$$p(\mu | D, \hat{\lambda}_x, \hat{\lambda}_y) = N(\mu | 1.5788, 0.0798).$$

这种**插入式 (plug-in)** 近似的后验如图 4.20(a)。它按估计的精度给各传感器加权。由于估

计表明 y 传感器远不如 x 可靠，故

$E[\mu | D, \hat{\lambda}_x, \hat{\lambda}_y] \approx \bar{x}$, 等于基本忽略 y 传感器。

现在改用**贝叶斯方法**，把未知精度积分掉而非去估计它们。即计算

$$p(\mu | D) \propto p(\mu) \left[\int p(D_x | \mu, \lambda_x) p(\lambda_x | \mu) d\lambda_x \right] \left[\int p(D_y | \mu, \lambda_y) p(\lambda_y | \mu) d\lambda_y \right] \quad (4.256)$$

采用 Jeffreys 无信息先验：

$$p(\mu) \propto 1, p(\lambda_x | \mu) \propto 1/\lambda_x,$$

$$p(\lambda_y | \mu) \propto 1/\lambda_y.$$

由于 x 与 y 对称，仅看其中一个。关键积分为

$$I = \int p(D_x | \mu, \lambda_x) p(\lambda_x | \mu) d\lambda_x \propto \int \lambda_x^{-1} (N_x \lambda_x)^{N_x/2} \exp(-\frac{N_x}{2} \lambda_x (\bar{x} - \mu)^2 / (4.257 s_x^2 / 1.258)) d\lambda_x.$$

利用 $N_x = 2$ 可化简为

$$I = \int \lambda_x^{-1} \lambda_x^1 \exp(-\lambda_x[(\bar{x} - \mu)^2 + s_x^2]) d\lambda_x. \quad (4.259)$$

识别到这是一个**非规范化 Gamma** 密度的积分

$$\text{Ga}(\lambda | a, b) \propto \lambda^{a-1} e^{-\lambda b}, \quad (4.260)$$

其中 $a = 1$, $b = (\bar{x} - \mu)^2 + s_x^2$ 。因此积分正比于 Gamma 的归一化常数 $\Gamma(a) b^{-a}$, 得到

$$I \propto [(\bar{x} - \mu)^2 + s_x^2]^{-1}. \quad (4.261)$$

于是总的后验为

$$p(\mu | D) \propto \frac{1}{(\bar{x} - \mu)^2 + s_x^2} \frac{1}{(\bar{y} - \mu)^2 + s_y^2}. \quad (4.262)$$

精确后验如图 4.20(b)。可见它有**两个峰**：一个在 $\bar{x} = 1.5$ 附近，一个在 $\bar{y} = 3.5$ 附近。它们分别对应两种信念：“ x 更可靠”与“ y 更可靠”。第一个峰更重，因为 x 传感器的两次读数更一致，看起来它更可能可靠。（显然两者不可能同时都很可靠，因为它们报告的值互相矛盾。）然而贝叶斯解会**保留 y 也可能可靠**的可能性；仅有两次观测时我们无法断定。像 plug-in 近似那样只选 x 等于过度自信（后验过窄）。

解释（基础且详尽）

关键概念：

- 精度 $\lambda = 1/\sigma^2$: 方差的倒数。精度越大，噪声越小，传感器越可靠。
- Plug-in 近似: 先用 MLE (或 MAP) 把未知的 λ_x, λ_y 变成单个数，再把它们“插入”到 $p(\mu | \lambda)$ 里当成已知量，于是得到一个**单峰的高斯** (图 a)。它等价于“挑一方更可信，基本忽略另一方”。
- 真正的贝叶斯: 对 λ_x, λ_y 积分 (边缘化)，得到式 (4.262)——两个“反二次”的乘积。由于两组读数差很远，而每组内部又很一致，模型会出现两种解释：谁可靠？→ **两个模式** (图 b)。

为什么多峰？

- 少量数据下，可靠性未知 ⇒ “x 可靠”与“y 可靠”都说得通 ⇒ 后验必须反映这两种可能性 ⇒ 双峰。
- plug-in 强行选定一组精度数值，等于**忽略模型不确定性**，所以只剩一个峰而且更窄 (自信过头)。

式 (4.261) 的本质：

- 这是把高斯似然与 Jeffreys 先验 $1/\lambda$ 对 λ 积分的结果。积分后，一个数据块 D_x 贡献的是 $[(\bar{x} - \mu)^2 + s_x^2]^{-1}$ ：
 - 与**均值差** $|\bar{x} - \mu|$ 越近越大；
 - 组内方差 s_x^2 越小 (更一致) 也越大 ⇒ 这组越“有说服力”。

要点小结：

- 精度未知 ⇒ 后验可能**多峰**；
- plug-in 可能**低估不确定性**；
- 完整贝叶斯把**模型不确定性** (对 λ 的不确定) 也纳入，给出更谨慎、更真实的后验形状。

如果你想，我可以用这四个数值复现计算，把图 (a)(b) 画给你看，并让你交互式地改变观测或先验，观察后验形状如何从单峰变成双峰。